

Dewargefaß B und bringt durch zugabe von Kohlensaureschnee die Badtemperatur auf den gewünschten Wert, der unter dauernder Kontrolle am Thermometer T während der Untersuchung mit Kohlensäureschnee konstant gehalten wird.

Durch Offnen von Hi läßt man dann abgemessene Volumenteile Benzin in G eintropfen und liest nach dem Konstantwerden des Druckes den Zuecksilberliest nach dem Konstantwerden des Druckes den Wuecksilberstand am Kanometer M ah. Aus Anfangs- und abgelesenem End-Druck erhalt man so den Druckanstieg für die jeweils eingetropfte Benzinmenge, der dem Dampfdruck dieser kenge entsaricht.

sprient.
Der dauminhalt von G, A und M
zusammen bis zum Hahn H, wird
durch Einströmen einer gemesse
nen Luftmenge ausgeeicht. Durch bugabe abgemensener quecksil-bermengen in G kann er beliebig geandert werden. Der sich einstellende Dampfdruck einer be-stimmten Benzinmenge ist natur-

stimmten benzinmenge ist naturgemäß vom nauminhalt des Vacuumgeflasses (G + 1 + 1) abhangig. Die relative Druckzunahme in mm llg für 1 cm 3 kraftstoff je 1 cm 3 kauminhalt des von der Größe der Apparatur. Eine mit 3 verschiedenen naumgrößen Schaubild, S.26) bestatigen dies.

### C. Die Dampfspannungskurven.

meine Teststoffe von eindeutig definierter chemischer Lusar-mensetzung zeigen einen grundsätzlich anderen Verlauf der Dampf-druckkurve als Lisenbenzine.

mensetzung zeigen einen grundsatzlich anderen verlauf der Dampfdruckburve als Lisehbenzine.

Die Dampfdruckbestimtung mit dieser Apparatur gestattet geradezu die Überprüfung der chemischen Reinheit von Teststoffen wie Benzol C6H6 Tetrachlorkohlenstoff C Cl4, Essigester C4H8O2

Der Dampfdruck reiner Teststoffe nimmt, wie die Ochaubilder S. 27 und 28 zeigen, mit der eingetropften Lenge zunachst linear zu, um konstanten, von der minder scharf ausgeprägten Knick in einen konstanten, von der weiter eingetropften Lenge unabhängigen Wert betreffende Temperatur, die auch nach der Gasgleichung mit guter Übereinstimmung errechnet werden kann (s.b. 16)

Die Dampfdruckkurven der Hischbenzine zeigen im Gegensatz hierzu druckes mit der eingebrachten Kraftstoffmenge.

Gemisch Tel (Schaubild S.29)

Rumänisches Grundbenzin (Schaubild S.20)

Rumanisches Grundbenzin (Schaubila S.30) Startbenzin (Schaubild S.31)

underscheiden sich so wesentlich, daß ihre unterschiedliche Kalt-

Institut für Kraftfahrwesen der Techn. Hochschule Dresden Arb. Nr. 176

Archiv Nr. B-176-I Seite 21

starteignung unschwer vorauszusehen ist, beträgt doch beispielsweise bei -300 C der Dampfdruck für 4 cm² Kraftstoff pro l/Volumen bei Gemisch Tel 13,5 mm Hg

Rumänischem Grundbenzin 16,0 mm Hg

Startbenzin 28,0 mm Hg

In den Schaubildern S. und 34 werden noch die Dampfdruckkurven von zwei Mischkraftstoffen mit Butanzusatz gezeigt, welche beweisen dass der vom gelösten Butan herrührende Partialdruck erheblich hinter dem Dampfdruck der gleichen Menge reinen Butans zurückbleibt.

001262

Institut für Kraftfahrwesen der Techn. Hochschule Dresden Art. Nr. 176

### IV. Anwendung der Dampfspannungscharakteristik.

### A. Das Kaltstartverhalten butanhaltiger Benzine als Funktion des Dampfdruckes.

Das Kaltstartverhalten des Motors ist davon abhängig, ob bei der jeweiligen Temperatur ein zündfähiges Gemisch mit einem bestimmten Luftüberschuß Zustande kommen kann. Macht man die ungünstigste in den Motor gelangen, verstäubte dagegen in der Ansaugleitung zurückbleiben oder unverbrannt die Zylinder verlassen, dann ist dies Temperatur so groß ist, dass diese Luftüberschußzahl Zerreicht wird selbst bei gleichem Dampfdruck zweier Benzine ist Z noch etwas abbelle I zeigt jedoch, dass, abgesehen von dem im Benzin normalerweiflüchtigen Kohlenwasserstoffe Butan bis Heptan die Unterschiede des Luftbedarfs für  $\lambda = 1$  nur 2 % betragen.

#### Tabelle I

Kohlenwasserstoff	Lufthedarf in nm <sup>3</sup> /kg	Luftbedarf in
Methan	34 45	kgLuft/kgBenzin
Athan Propan	14,45 13,48	18,70
n-Butan	13,11	17,42
n-Pentan	12,92	16,98 16,73
n-Hexan	12,82	16,60
n-Heptan	12,75 12,70	16,50
n-Oktan n-Nonan	12,65	16.41
n-Dekan	12,62	16,38
	12,58	16,33 16.28

Da es sich im vorliegenden Falle um die Untersuchung von Benzinen mit Butanzusatz handeln soll, kann man also ohne merklichen Fehler rechnen, dass der gasförmige Anteil nur aus Butan besteht. Das notwendigen Partialdrucke des Butans und zwar für verschiedene Luftüberschußzahlen A. Bei den bisherigen Kaltstartversuchen wurde in Hg festgestellt. Aus dem Schaubild entnimmt man dann z.B., dass Um die Eignung eines butanhaltigen Benzins für den Kaltstart dieses Benzins notwendig. Der Dampfdruck von 19 mm notwendig ist. bestimmen zu können, ist also die Kenntnis des Dampfdruckverhaltens Menge Benzin, die pro Raumeinheit eingebracht wird. Diese Abhängig von der keit des Dampfdrucks von den cm<sup>3</sup> Benzin/1 Vakuum zeigt Schaubild S. 32 (Das Butan wurde aus Flüssiggas durch Kondensation bei -100 C gewongangenen Beschreibung im Abschnitt III hervor.

Institut für Kraftfahrwesen der Techn. Hochschule Dresden | Arb. Nr. 176

Aus Schaubild S. kann man nun für einen beliebigen Gemischdruck in diesem Beispiel PM = 725 mm Hg - die zugehörigen Butanpartialdurch eingetropftes Benzin erreichen. Diesen gleichen Druck muß man betreffenden Luftzahl Aerhalten will. Für 725 mm Gemischdruck und den für verschiedene Temperaturen ermittelten Dampfdruckkurven kann man jetzt ablesen, dass dafür beispielsweise bei +200 0,1 cm² des Hoo dagegen 0,11 cm², bei 00 0,15 cm² usw. Im Schaubild S. Ssind die für verschiedene A und 725 mm Gemischdruck und So ermittelten cm³ Benzin/1 Luft in Abhängigkeit von der Temperatur die Mischungsverhältnisse, die im Vergaser theoretisch gebildet werden müssen, um ein rein gasförmiges zündfähiges Gemisch entsprechender Luftzahl in den Zylindern zu erhalten. Zum Vergleich ist dage Verdampfungswärme des Butans, das im Grundbenzin Tel gelöst ist, auf klärt ist.

die Gemischtemperatur wurde nicht beruckstentigt, well klärt ist.

Um für die Motorversuche mit den Modellmischungen noch einen weiteren Anhaltspunkt zu bekommen, ist im Schaubild Honoch ein dritter Maßstab eingezeichnet. Er gibt die Luftzahl An der Mischung einschließlich der flüssig gebliebenen Kraftstoffmenge im. Am wie misches durch den Startvergaser. Zu unterscheiden ist hierigt die Gedie Luftzahl Ain der gasförmigen Phase der Startmischung und die Luftzahl Am, welche sich auf die gesamte eingebrachte Kraftstoffmenge bezieht. Letztere ist, wie die Kurven zeigen, bei tiefen Anlasstemperaturen viel kleiner als A.

Die Kaltstartversuche werden erweisen, inwieweit die aus der Dampfspannungscharakteristik abzuleitenden Forderungen an den Gemischbildner im Motor erfüllt werden, sodass allgemein die Kaltseignung von Kraftstoffen nach ihrer Dampfspannung vorausgesaut den könnte.

Dresden, den 1.12.1943.

Spean

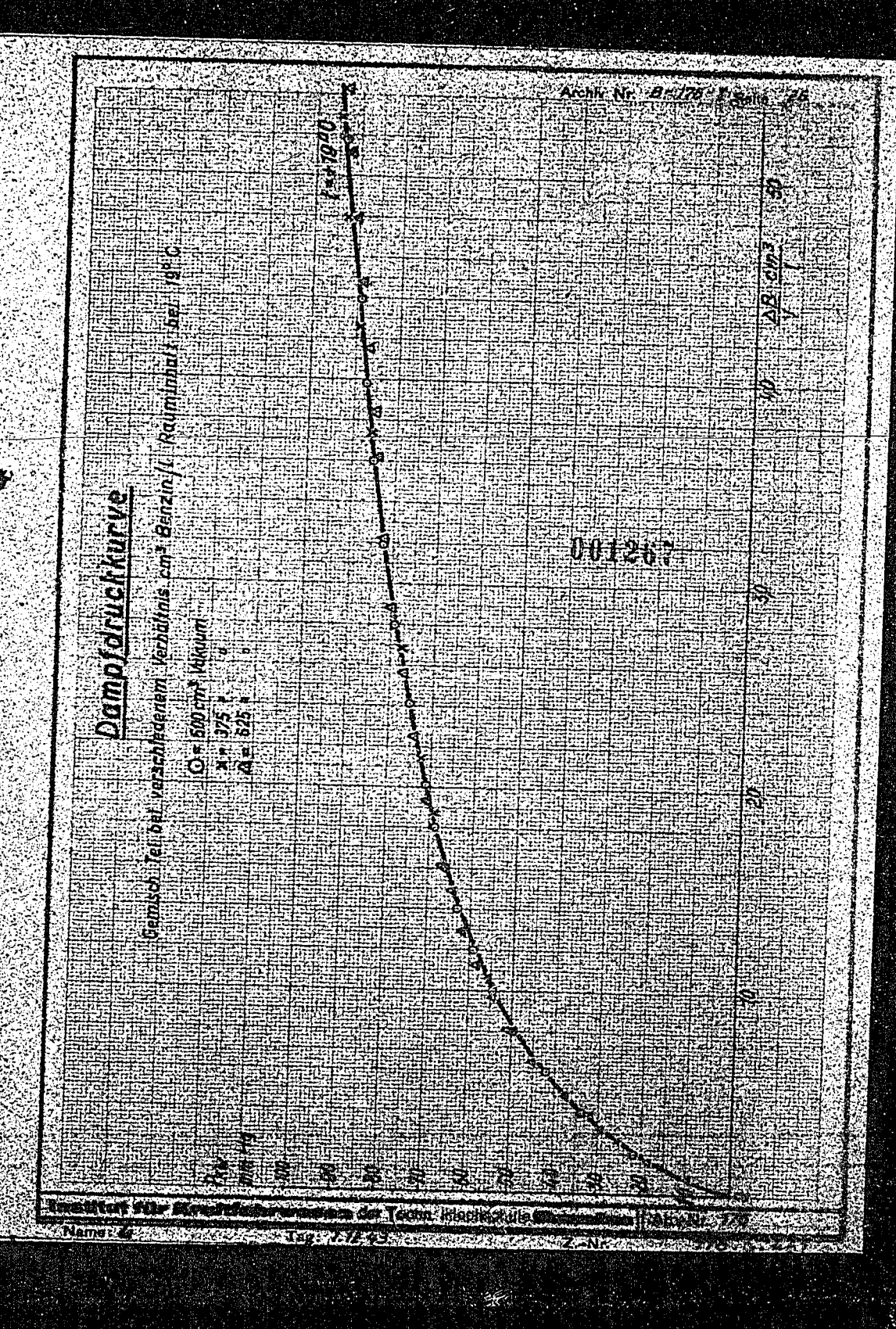
Institut für Kraftfahrwesen

001264

Institut für Kraftfahrwesen der Techn. Hochschule Dresden Arb. Nr. 176

			ing Mr. B. 128 . Z	Andreas (2)
	Propan Bytan,	Rentan Hexan		1266
	u digital			
		9 B	3	
			/ /	
Institut für Kraftfal	rwesen der Techn. Hi	ochschule, <b>Dresde</b>	n / X16 N; 176- G	R:2501

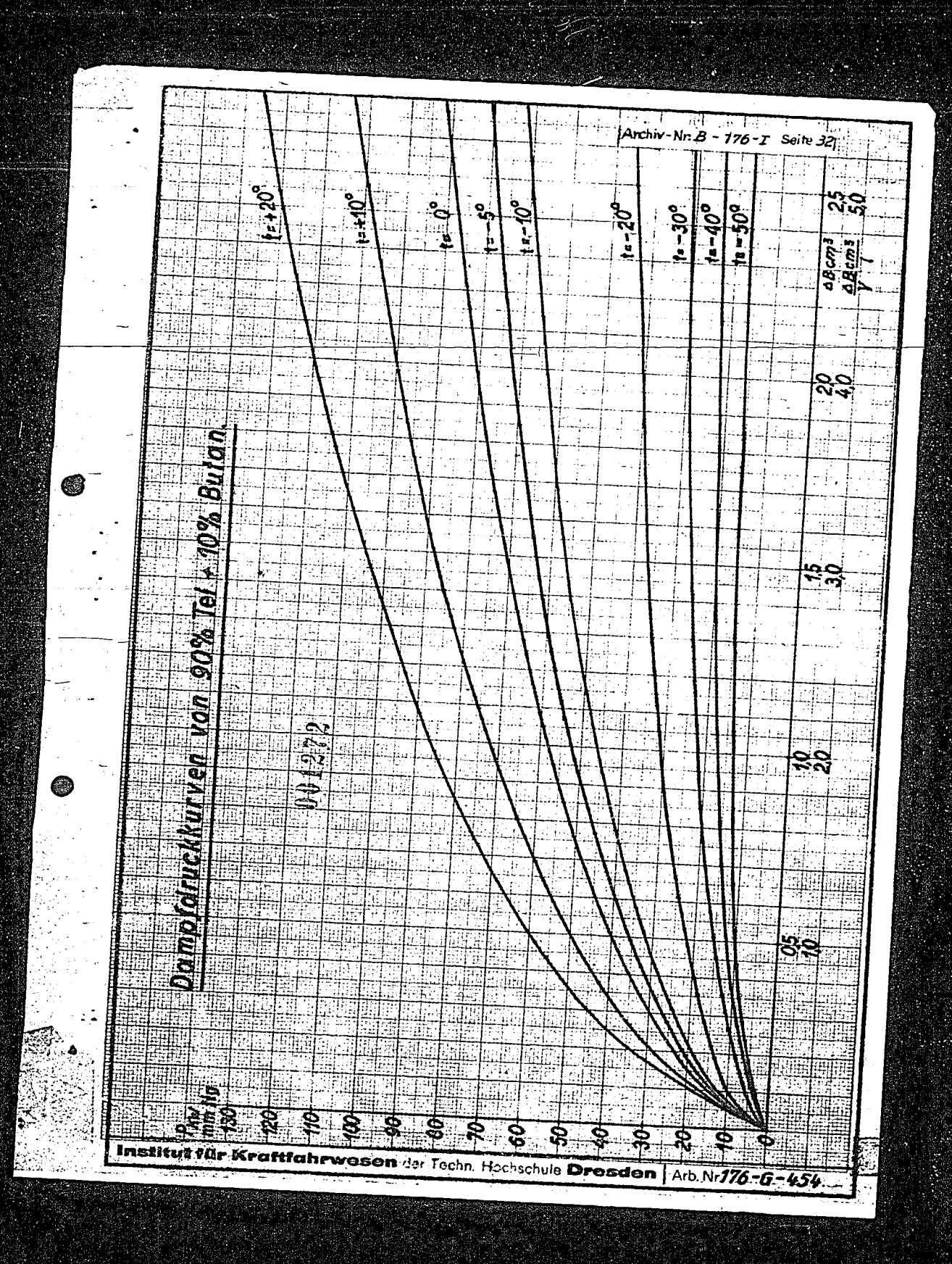
. IVI

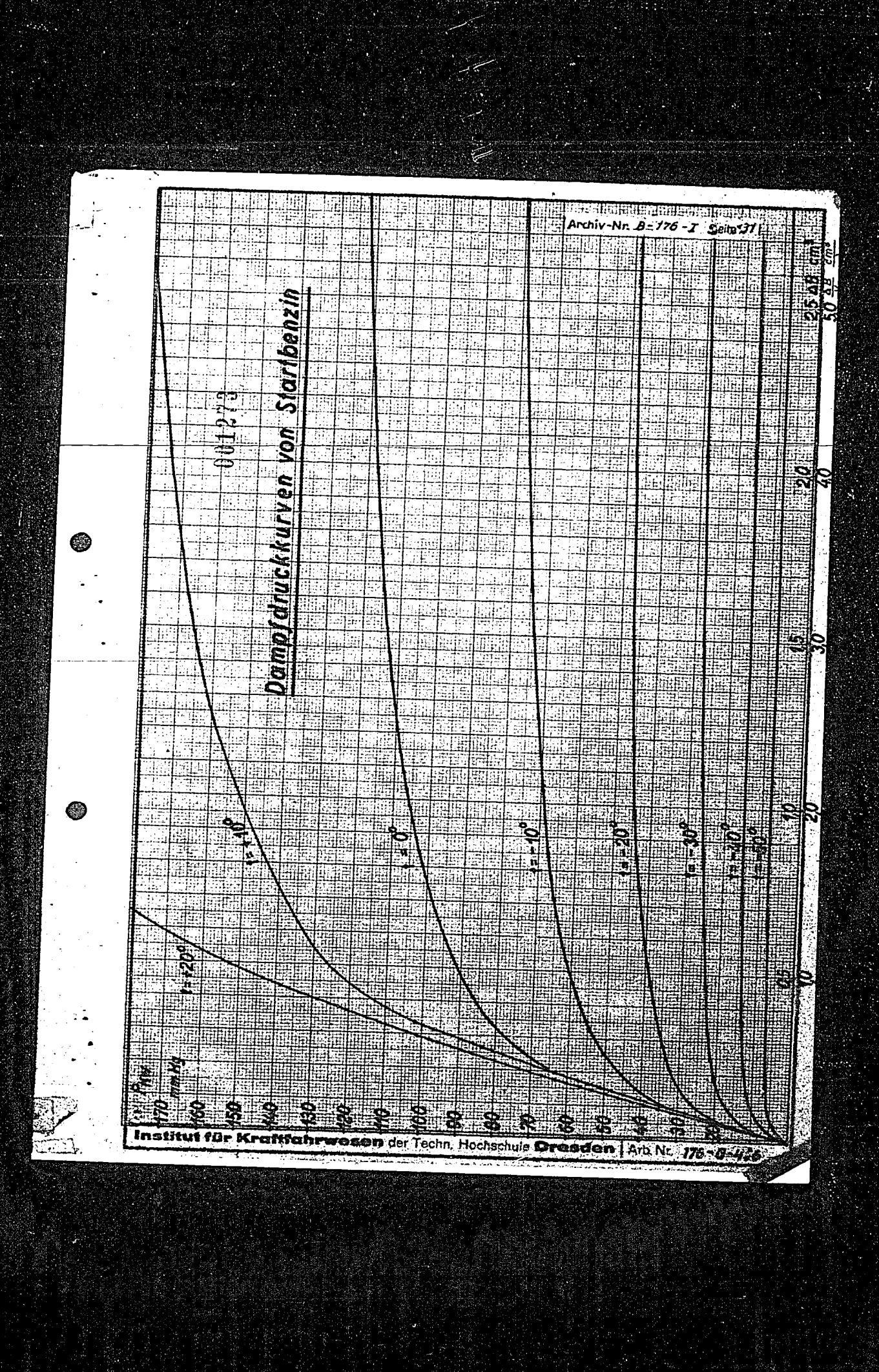


	Adjv.Nr.B-776-I seite 27	
	Dompforacionicve v. Bithytather 1. 1949 - 500 cm² betässlahelt	
inniig		
	001268	
300 300		
200		
	Warrwesen der Techn. Hachte La Brestan W. 178	

									ļ.,								- T	Arch	iv N	r. B	- 7	76 -	r s	eite	29	
		-														T				1	15		11	Í		
_					-		s dil							4	-	1					i I	,,		$\parallel$	2	5.0
		1			-		[-	-			₩.						:			#	<u>.</u>			#		
			-!	2.1	-	:k	<b>3</b>			0000			-	t= +100		-	90	1	- 100	:   -	-200	ô	â	:500		T
		1				Ġ	9		. ļ.					4			100		- I		*	£300	·4.		4 Bams	u,
						10.01	<b>&gt;</b>					-			1		-   -			t		11.5		+	48	48
		1		1		==			T			+	<u> </u>				<del> </del>					114			200	n'h
							- ; = -		-	4		-  -					-			-			+	$\mathbb{H}$		
					- ;	-															$\dashv$		$\dashv$	H		1
A						-		- }-:-	-				<del></del> 			<u> </u>		1			-		#	H		1
			1	7					<del> </del>			\ 			-	- <del></del>		#	75.	-	-					1
•		₹	-			-	1	<del>-</del>			.,	$\forall$				=		+			#			-	8 6 6 5	
		1		SCI			 	 				+									$\parallel$	_		1		
		TT.	+	Ü,			+			1		+	-+		+			+			#		$\parallel$	1		
			1	Š	·	<u> </u>	1			-		1	-		+			1			#	-	#			
		+		HAJOH WENTRUFFON VON GEMISCH TEI	-l 		4			 	: 							1		1			1	L		
		*								-			+	-		-						_#	1	2	8	F
		<del></del>	-			<u> </u>	-			-			-\-						+				廿			
		 	7			<u>.</u> :1::	$\frac{1}{1}$	+		-			1			-			#			14				- 1
		اجنا		5		- 	- 	-					-			1	-		1							
			Š	2 2					T	-			1	1	!.  -	1										#
			Orm					+			+		-	_	<i>\_</i>	1					1		$\mathbb{H}$	5		
			9	10.7							+	# ## 			7	-	1	7/-	1	1				30	7	
,								1=				#				$\setminus$	-\		$\downarrow$		-	2				西岸
				温出出			Hili Hili			1				#	<u></u>		1						H			庫
					13.													X		X	1	11	H			
		-												_						*	V		ij.			
. [	Institu		12	<u>ۇ</u>			3	3	#	7	00			8	; ;;	់ និងព័	60		44	S.		1	4	ndi		

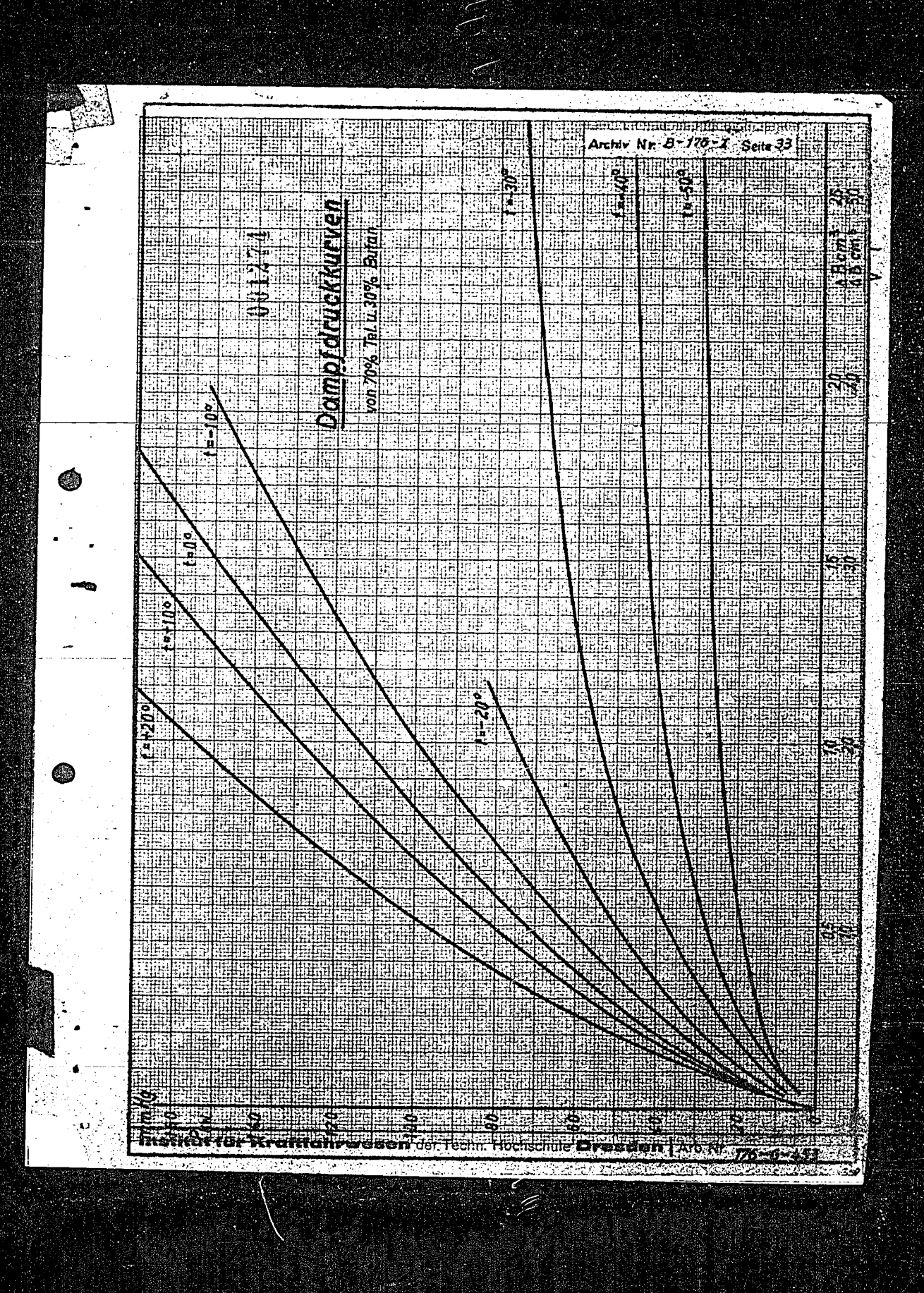
				Archiv Nr.	B-176-I S	eite <i>30</i>
enzin"	(= +800	7-100	.0 -7	.022	t = -200 t = -300 t = -400	4B cm3 2,5
ordryckkurven von rumänischem Grundbenzin"						2,0
inischen						
ron, rum						52
Kurven	001221					20
	00	\				
Dam						<b>3</b> 2
	000	980	93			



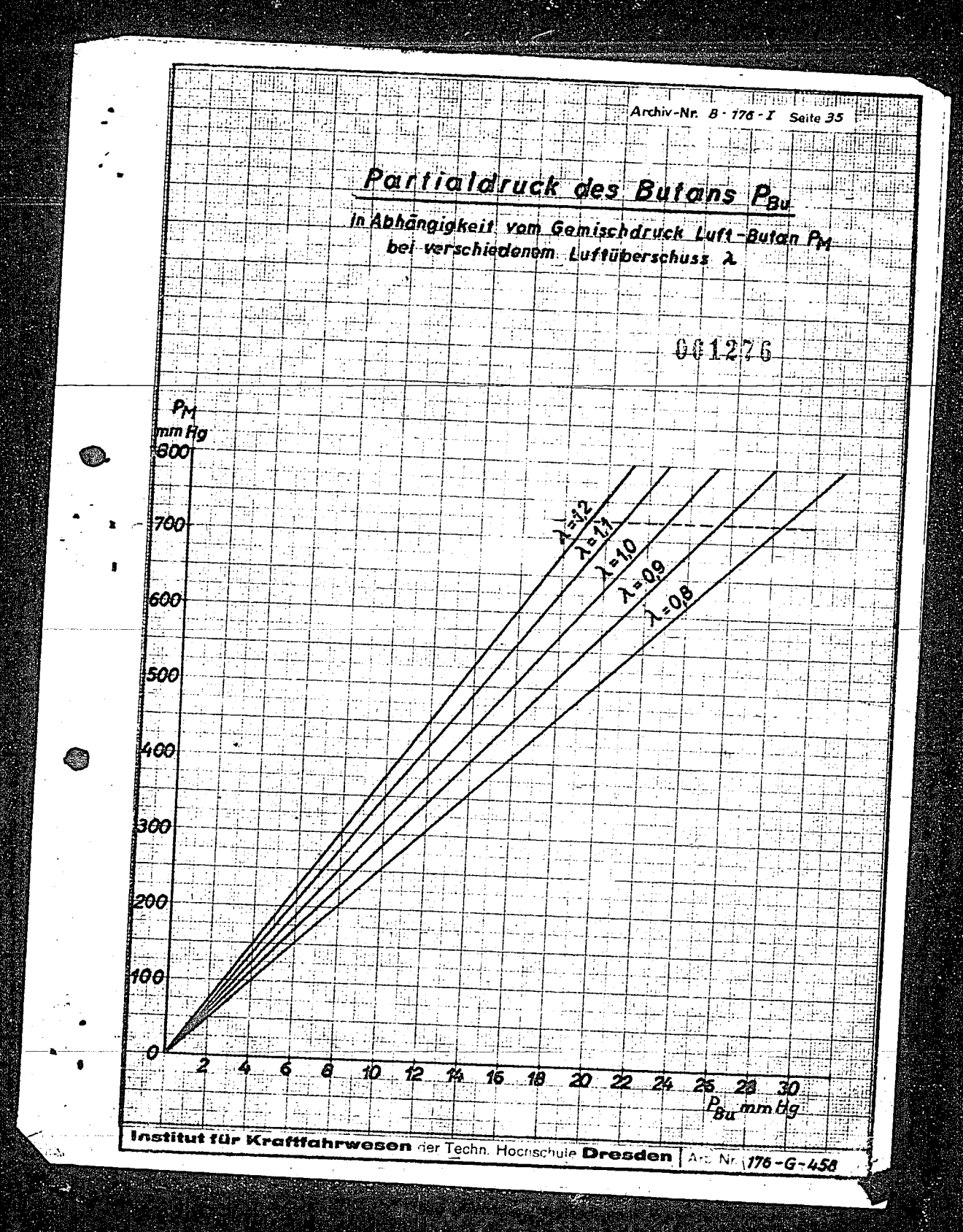


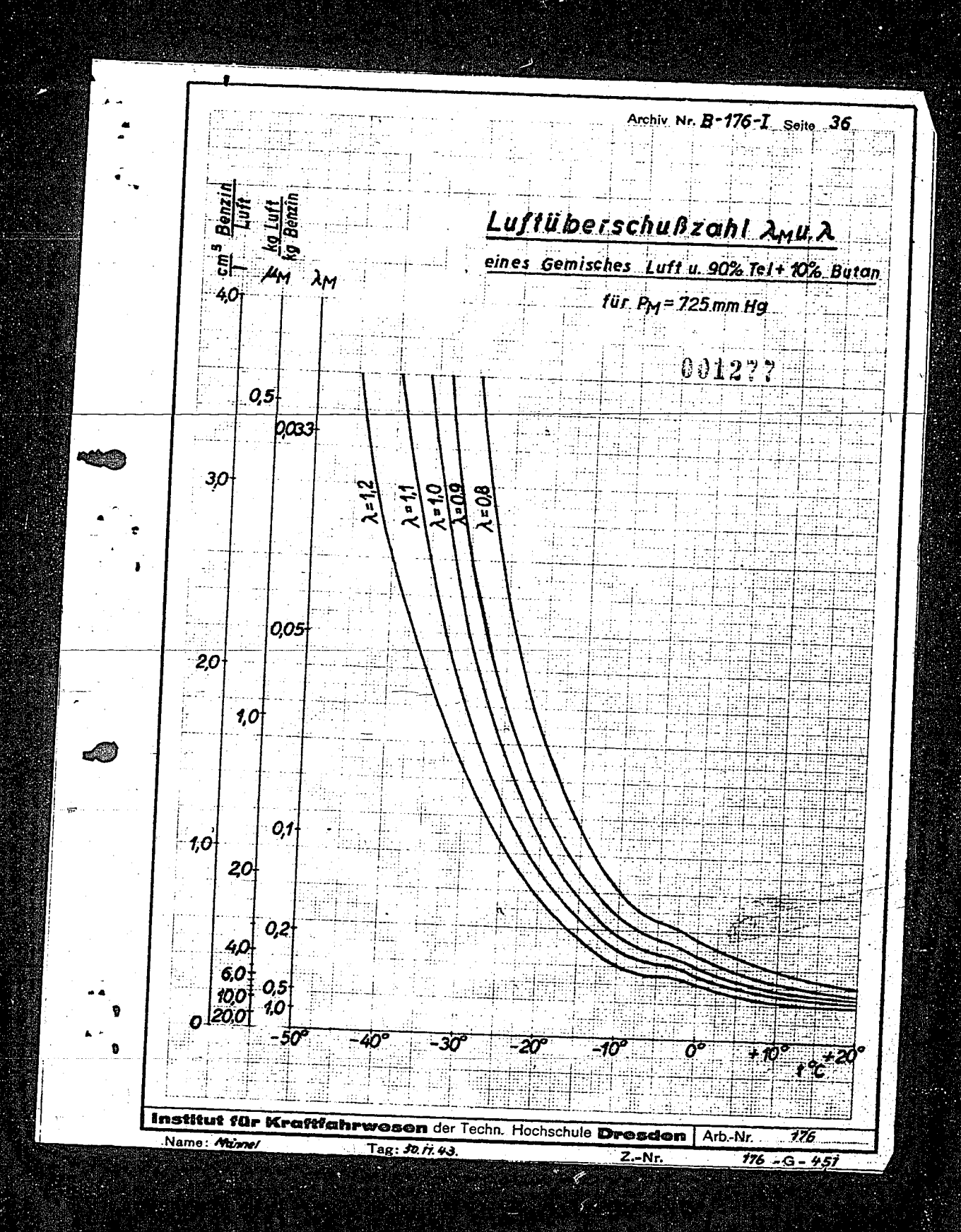
マート と、T ン

(0)



(4+100 1-300 f=-,0° laDe ----23 1 35 Damp Faruckkurven yon 90 so tuman Gundbenzin "H. 12% Butan 22 0.01275 Institut für Kraftfah der Techn. Hochschule **Drosdon** | Arb. Nr. 176-6-452





Versuche zur Bestimmung der Druckbeständigkeit

von Schmierölen.≵)

<sup>\*)</sup> Vorliegende Arbeit ist ein Auszug aus der gleichnamigen Doktor-Arbeit von Dipl.Ing. Brigitte de Jong, angefertigt im Techn.chem.Institut der T.H. Berlin, Berichter: Dozent Dr.Helberger, Mitberichter: Prof.Dr.Heinze.

### Einleitung.

Die vorliegende Arbeit befasst sich mitUntersuchungen über die Druckbeständigkeit von Schmierölfilmen. Die Ölfilme waren dabei so dünn, dass sie den bei der Grenzschmierung auftretenden geringen Filmdicken entsprachen, also sich im Nichtflüssigkeitszustand befanden und so ausserhalb der hydrodynamischen Gesetzmässigkeiten lagen. Ziel der Arbeit sollte einmal das Studium derartiger Ölfilme gegen Druckbeanspruchung sein , und zum anderen wurde erhofft, neue Kennzahlen für die Mineralöle zu schaffen, die diese für ihre Eignung zu Schmierzwecken im Gebiete der Grenzreibung charakterisieren können.

Froblem der Grenzreibung würden für die Ölveredelungs-und Erzeugungsindustrie sowie für den Maschinenbau von Bedeutung sein. Es wäre denkbar, durch geeign te Ölverbesserungen den gefürchteten Abrieb (Laufspiegelbildung, weiterhin Fressen), der sich selbst bei Maschinen mit bester schmiertechnischer Konstruktion nicht vermeiden lässt, so zu verringern, dass sich Leistung und Lebensdauer der Maschine erhöhen.

Die bei der Bewegng zweier technischer Flächen auftretende Spitzenberührung ist keine metallische, sondern in jedem Falle befindet sich ein-wenn auch sehr dünner Ölfilm zwischen den reibenden Flächenelementen. Diese dünnen Ölfilme haften an festen Grenzflächen stark, infolge der Benetzungsfähigkeit der Öle, die durch die freien Oberflächenkräfte des festen Körpers – diese stellen ein elektrisches Feld dar – ganz wesentlich unterstützt werden. Dadurch wird die Adsorption der im Öl enthaltenen polaren Stoffe und der durch Feldwirkung induzierten polaren Stoffe an den

Grenzflächen bewirkt, die polaren Moleküle also an der Grenzfläche angereichert. Nach Ansicht vieler Forscher sind diese adsorbierten Ölfilme die bei der Spitzenberührung massgebenden Schichten, durch derenWiderstandsfähigkeit gegen mechanische Beanspruchung die Grösse des Abriebs in der Maschine bedingt

Zustand und Aufbau von an festen Grenzflächen unmittelbar haftenden Flüssigkeitsfilmen 1) sind viel untersucht und theoretische Vorstellungen experimentell bestätigt worden. Hierbei wurde eindeutig festgestellt:

- 1.) Polare Moleküle werden bevorzugt an
- 2.) Die Stellung der adsorbierten Moleküle zu ihrer Unterlage ist senkrecht<sup>2</sup>).

3.) Die adsorbierten Schichten können mehrere Moleküllagen dick sein und liegen derart übereinander, dass jeweils die unpolaren bzw. polaren Molekülenden zweier Lagen zusammenstossen, die sogenannten Aufbaufilme bilden<sup>3</sup>,4 u.1).

4.) Der Zustand der adsorbierten Flüssigkeitsfilme ist nicht flüssig, sondern halbfest (wurde in
vorliegender Arbeit bestätigt). Nach Karplus 5)
gleiten
beim Schmiervorgang die orientierten Schichten aufeinander,
wobei die Berührungsflächen der inaktiven Enden der Moleküle
als Gleischichten wirken.

Bei der wissenschaftlichen Erfassung der Nichtflüssigkeitsreibung muss nachdem Stand der heutigen Erkenntnisse
die Wirkungsweise und die Gesetzmässigkeiten der adsorbierten
und orientierten Schichten in Rechnung gesetzt werden. Die
bisher beschrittenen verschiedensten Wege zur Untersuchung
dieser Fragen führtenwohl zu wertvollen Einzelergebnissen,
liessen aber keine abschliessenden und umfassenden Erkenntnisse

Bevor auf die hier angewandte neuartige Untersuchungsmethode eingegangen wird, sei kurz auf die bekanntesten in der Literatur angegebenen Messmethoden eingegangen, wodurch der Sinn und die Vorteile der neuen Methoden deutlich werden.

----

nteunt Linen Grenss

ತ ೧೩೭೩

ಎರ್ಡ

Arbeit Dracit

Kennus Suma

idizet

೧೩ರಲ್ಲ

onice Enveri

೧೮೭೩೮೪

der si

ಚಿತ್ರಕಾಣವನ್ನ

ಸರಿಪ≛ಂ∐

aohdez attono

zonun E

aunnen

fillohe

aerica

frin

der 🖎

### Theoretischer Teil.

## I. Bekannte Messmetholen zur Bestimmung der Schmiereigenschaften von Ölen.

Die Schmierfähigkeit oder Schlüpfrigkeit der Öle (englisch "Oiliness", französisch "onctuosité") ist weder ein streng definierter noch eindeutiger Begriff (H e r s c h e 16, S o u t h c o m b e 7). Die bekanntesten Methoden zur Bestimmung der Vorgänge bei der halbtrockenen Reibung und der Oiliness-Eigenschaften der Öle sind:

1.) Die Messungen des dynamischen Reibungskoeffizienten in den Ölprüfmaschinen verschiedenster Bauart. Die besten und auch reproduzierbaren Ergebnisse wurden mit der Ölprüfmaschine von Thoma 9) erzielt. Vogelpohl fand nach eingehender Analyse des hydrodynamischen Schmiervorganges eine Parallele zwischen den mit der Thoma-Maschine gemessenen Werten und den physikalischen Grössen wie spezifische Wärme, Polhöhe und Raumgewicht, die früher nochnicht in Bezug auf die Schmiereigenschaften in Betracht gezogen worden waren. Diese Ergebnisse legen nahe, dass ein großer Teil der Schmierfähigkeitseigenschaften hydrodynamisch gedöst werden kamn. Die von K a d m e r 11) mit der Thoma-Maschine erhaltenen Messergebnisse an fetten Ölen, Mineralölen und synthetischen Produkten lassen sich sinngemäss neben diese physikalischen Grössen stellen, doch konnten befridigende, für den Schmiervorgang charakteristische Kennzahlen mit der Thoma-Maschine nicht aufgefunden werden.

2.) Unabhängig von den oft komplizierten Verhältnissen der Praxis stellte erstmalig H a r d y 12)
Messungen des s t a t i s c h e n Reibungskoeffizienten<sup>x</sup>)
zur Untersuchung der Grentflächenvorgänge an. Sie führten zu den bekannten Vorstellungen der orientierten Struktur adsorbierter Flüssigkeitsfilme und zu der Annahme, dass Ausbildung und Dicke

Grena elsen

ros As elmol

ಚ**ಬಕ**ಿಗ್ದ

•40±

a Tudan a Tudan

tabrion tabrion

Grong

trit me

Vafe flots

jeweil zuchwa

emIi?

verlie

. C misé

ledom

els Gl

lleanin

IN sif

les Erm

bisher reacti

. llesse:

្នុងរង

suchung in der

der Sin

x) Hardy benutzte eine einfache Versuchsanordnung von einer ebenen Fläche(Stahl, Glasusw.) und eine daraufliegende Kalotte(Uhrglas oder Metallhalbkugel) mit optischer Politur. Forts.s.S.4.

solcher Schichten von den Oberflächenkräften des festen Körpers (der Messflächen) und den Molekularkräften der Flüssigkeiten abhängig sind. Diese Kräfte sollen massgebend für die reibungsvermindernde Wirkung sein, da sie die zwischen zwei sich berührenden Flächen bestehenden Kohäsionskräfte und damitauch die Reibungswerte verkleinern. Hardy fand weiter den günstigsten Einfluss polarer Gruppen in Schmiermitteln und gibt den statischen Reibungswert des Systems Stahl-Bronze ohne Schmiermittel mit o,9 an, mit Octylalkohol o,39 und mit Ölsäure mit nur noch o,1. Genauere Einblicke in die Grenzschmierungsvorgänge fand Hardy nicht, auch waren seine Ergebnisse wegen Verschmutzung der Messflächen nicht streng reproduzierbar.

3.) Das System der Messflächen auf einer schiefen Ebene von Wilson und Barnard 13) führte ebenfalls zu keinen einheitlichen tieferen Einblicken in die Grenz-flächenvorgänge.

4.) Mit den bekannten Maschinen von De ele yl4. und Wells 15) wurde der kinetische und statische Reibungs-koeffizient gemessen. J.H. Hyde 16) fand mit der De ele y-Maschine, dass der statische Reibungskoeffizient für Mineralöle um ca. 4/5 seines Wertes fällt, wenn die Öle Zusätze polarer Gruppen unter 1 % erhalten und weitere Steigerungen polarer Bestandteile im Öl die Werte der Reibung nur noch unbeträchtlich senken (Brit.Patent der Germ-Öle 130 377 u.a.). Die Reproduzierbarkeit der Messwerte war aber infolge Verkratzens der Mess-flächen nicht hinreichend.

5.) Wilson und Barnard 13) versuchter durch Messung des elektrischen Widerstandes die Dicke adsorbierter Ölfilme unter Druck zu messen. Die erhaltenen Werte müssen aber angezweifelt werden, da ihnen die Leitfähigkeit des Öles im flüssigen Zustand zugrunde liegt, diese aber im orientierten halbfesten Ölfilm zweifellos eine andere ist.

Forts.d.Fussnote von S.3: Es bleibt dabeidahingestellt, ob diese "optische Politur"nach heutigem Maßstab beurtilt werden darf, denn Hardy fand bei Messungen mit Platten aus gewöhnlichem Fensterglas ähnliche Reibungswerte wie für die mit "optischer Politur".

ucagnicos Exan Ast A a o e exago use ero ase

Konnach Fornach For

aterten Messunge sur Vater Dekanat VINGOLA

x) Hardy Flacing colobia
(der so
abstact
versied
reces
Referen
Rin/Las
reces
conon
der see
der see

V quedo Milariana Mantenia

wed W d Reedfeld My seleta Granner Granner

bushecs Mounes Flobund

rig ast Taorer

លខ្មុខក្រុង

ater all includes

Forta.d. " optis denn He Henoten Tolitur 6.) Zur näheren Charakterisierung der die "oilineas " bewirkenden Stoffe dienten die bekannten Versuche von Trillat und Vaille <sup>17</sup>), die öle mit Eisenspänen zu behandeln, wonach sich zwar die Reibungswerte tatsächlich verschlechtert hatten, aber die an den Spänen adsorbierten aktiven ölbestandteile nicht isoliert werden konnten.

7.) Auf die Versuche von Bachmann und Brieger 18) sei noch verwiesen, die die Bindungsfähigkeit von Schmiermittelmolekülen aus den Adsorptionswärmen von Ölen an verschiedenen Metallen zur Ölbewertung heranzogen. Diese Messergebnisse reichen trotz der Befunde von Büche 19) zu einer Gütebestimmung der Öle für die Praxis ebenfalls nicht aus.

# II. Die neue Methode zur Bestimmung der Druckbeständigkeit adsorbierer Flüssigkeitsfilme mit dem Interferenz komparator.

Im Gegensatz zu den oben angeführten Methoden, bei denen sich stets die Messflächen gegeneinander bewegen<sup>x</sup>), arbeitet das hier angewandte Messverfahren im ruhenden System und gestattet so unter Ausschaltung aller störenden äusseren Einflüsse das Verhalten an Flüssigkeitsfilmen unter Druck für sich allein zu beobachten.

Der neuartige Gedanke von L. U b b e looh de, die Grenzflächenvorgänge aus dem Druckverhalten adsorbierter Flüssigkeitsfilme im absolut statischen System zu erforschen, fand praktisch erst seine Verwirklichung, als der Interferenzkomparatofonach Kösters für die hier erforderlichen Zwecke von der Fa. Carl Zeiss, Jena, umgestaltet wurde. Die ersten Arbeiten mit diesem Interferenzkomparator - kurz Inko genannt - führte H. Neumann 20) im Technisch-chemischen Institut der T.H.Berlin aus, der auch das optische Messprinzip, die Zusatzgeräte und die gesamte Anlage der Apparatur beschrieben hat. Den Messungenlag folgendes einfache Prinzip zugrunde; auf das hier zum weiteren Verständnis kurz eingeganger sei:

x) Auch bei den Messungen der statischen Reibung tritt nach Überschreitung des Schwellenwertes eine Bewegung ein, die ebenfalls ein Verkratzen der Messflächen zur Folge hat 6 -

ofilation of the confidence of

doja Podra Podra Podra

il ise

die Grand in Grand in

besc: sei:

rener

EEL TO

ಮಾಹ (ಜ ಚರ ಚರ

Zur Untersuchung der Druckbeständigkeit der Öle wurde ein Ölfilm zwischen zwei planparallele Platten Abb. 1 und 2) gebracht und mit verschiedenen Drucken stufenweise belastet, wodurch der Flüssigkeitsfilm langsam seitlich herausgedrückt wird. Die Schichtdicke des Flüssigkeitsfilmes wird mit dem Inko- also auf optischem Wege - dann gemessen, wenn sich das Gleichgewicht zwischen Schichtdicke und Druck eingestellt hat, was in der Regel nach 12 bis 20 Stunden Belastungszeit der Fall ist. Die gemessenen Schichtdicken der einzelnen Druckstufen werden über dem Druck graphisch aufgetragen, und aus dem Verlauf dieser Schichtdicken-Druck-Kurven ergibt sich die Druckbeständigkeit des Öles. Durch die Druckwirkung müssen sich die Platten einander soweit nähern lassenx), dass sich die an den Messflächen haftenden orientiertan Schichten berühren Je nach der Art der Flüssigkeite ist eine worschiedene Druckbeständigkeit dieser Schichten zu erwarten, d.h. ein flacher oder ein abfallender Verlauf der Kurven. Die Schichtdicken sollen grössenordnungsmässig denen der Grenzschmierung entsprechen, und daher war ein exakt arbeitendes Messgerät mit einem Messbereich von mindestens 0,02 p erforderlich. Mit dem Inko lassen sich Änderungen von o,ol u genau bis 0,005 u durch Schätzung erfassen. Wegen der Temperaturabhängigkeit der Messung befand sich der Inko in einem Thermostaten, und er wurde durch Umwelzen warmer Luft auf 25°C to,1°C geheizt.

Die angewandten Messplatten (Glas und Stahl) waren so fein optisch poliert (in einem Falle feingeläppt), dass sie sich nach ausreichender Säuberung ansprengen liessen und so die Bestimmung des Nullpunktes (Dicke der aufeinander haftenden Platten, ohne öl) prinzipiell möglich war. Um Ablesefehler bei den Messungen einzuschränken, wurden für eine Messung stets lo Ablesungen ausgeführt. Die Schwankungen betrugen rund o,ol p, und der zulässige Fehler wurde auf 0,03 p - der genormten Genauigkeit für Endmaße - festgesetzt.

x) Die bei dieser Annäherung ausgeführte Bewegung der Plattan zueinander ist relativ so gering, dass sie vernachlässist und das System als statisch betrachtet werden kann.

der Ur

E . GGA

belast

65 dir.

olola, d

11555

. Talak

Lacking

v V mab

zŒ e≛A

i sofe

២១ ១15

50 1867 <u>30∼9</u>00

s mate

ಕಾರ್ಚ್ ಕ ಕಾರ್ಡ್ ಕ

mende

Inko I dunci Megana

obur a

(Idade

(Course

Licege

និងទស្**រ**ិ

IdA and

= onis

ಜ್ಞಾಗ್ ಎರ

oid (z

gue. und

<u> ₹ 50.0</u> \_

blitaen 📜

Nach Bestimmung des Nullpunktes wurde das Öl durch eine der beiden Bohrungen in der kleinen Oberplatte eingebracht, in den ausgesparten Kalotten gesammelt, und nach Entweichen der Luftbläschen wurde der Ölfilm zwischen den Platten dadurch erzugt, dass durch Auflegen eines heissen Hilfsplättchens unter Öl abgesprengt wurde und das Öl nun zwischen die Platten strömte; dann wurde das System mit Gewichten belastet und der Ölwert nach der Entlastung des Plattensystems bestimmt, was zunächst als ein Mangel der Methode erscheint. Da aber die für eine Druckstufe eingestellte Schichtdicke noch viele Stunden nach der Entlastung die gleiche blieb, ist anzunehmen, dass sie sich in den Minuten zwischen Entlastung und der ersten Messung ebenfalls nicht geändert hat und die Schichten alsoso dick gemessen werden, wie sie in Wahrheit unter Druck sind.

Die Öle wurden vor der Benutzung weitestgehad durch Filtration mit einem Bakterienfilter (G5 auf G3) von evtl. Schmutzteilchen gereinigt.

Die angewandte Messmethode hat sich nach Uberwindung einiger Schwierigkeiten bewährt, wie die Arbeit von N e u m a n n und die vorliegende Arbeit zeigen.

./.

### Experimenteller Teil.

Frühere Untersuchungen<sup>20</sup>) zeigten, dass Substanzen mit polaren Molekülen, z.B. Oleinalkohol und einige Schmicrmittel relativ dicke und druckbeständige Schichten bilden, dagegen Substanzen, die praktisch frei von polaren Stoffen sein sollten, wie ausraffinierte Weissöle, reine Kohlenwasserstoffe usw., sehr dünne und druckempfindliche Schichten lieferten. Um diese Beobachtungen für die öle verwerten zu können, wurden die Versuche nun mit Schmierölen erweitert und die Untersuchungen nicht nur wie bisher zwischen Glasplatten, sondern auch zwischen Stahlplatten vorgenommen.

Die Untersuchungen wurden mit den Systemen Glas-Glas, Glas-Stahl (feingeläppt), Glas-Stahl (optisch poliert) und Quarz-Stahl ausgeführt.

Das Ansprengen.

Wie bereits gesagt, wird der Nullwert des Messplattensystemes im angesprengten Zustand der Platten bestimmt, was bei den Glassystemen stets in reproduzierbarer Weise möglich war. Bei der Überbagung des Messverfahrens auf Stuhlplatten treten aber Schwankungen der Nullwerte weit über die zulässige Fehlerbreite hinaus auf. Diese Tatsache führte zu eingehenden Untersuchungen der bisher nicht berücksichtigten Ansprengverhältnisse überhaupt, wobei folgendes festgestellt wurde:

Zum Ansprengen zweier Platten ist in jedem Falle eine Zwischenschicht - die Ansprengschicht - erforderlich, die Überträgerin der Adhäsionskräfte der Oberflächenmoleküle der Platten ist. Bei Abwesenheit dieser Schicht, die nach P i e t z sch aus Fett, Öl, Talg, Lösungsmittel, Wasser u.dgl. bestehen kann, sprengen die Platten nicht an. Je nach der Dicke der Ansprengschicht, nach der Ebenheit, Weichheit und Elastizität der jeweiligen Politur (je nach Metall verschieden, vgl.Schoon<sup>22)</sup>haften die Platten sehr fest oder weniger fest aneinander, ist die Ansprengung schlecht oder gut. Wegen der Weichheit und grossen Ebenheit der bisher ausschliesslich verwandten Glesplatten konnte die Ansprengschicht eine sehr dünne sein (schätzungsweise optimal lo mu) und war bei der Reinigung der Platten (Benzin und Watte) unbewusst aufgebracht worden, sodass ihre Gegenwart nicht in Erscheinung trag. Die übrigen Systeme benötigten zunehmend mit ihrer Rauhigkeit dickere Schichten, und zwar vom System Quarz-Stahl, Glas-Stahl (optisch poliert) und feingeläppt) zum System Stahl-Stahl (Feinläppschliff) ansteigend. Kaube 23) gibt für die Ansprengschicht von Stahl-Quarz eine optimale Dicke mit 24 mu und für Stahl-Stahl 30 mu bei maximalenHaftkräften an. Die theoretischen Vorstellungen über Orientierung und Struktur adsorbierter Flüssigkeitsfilme werden durch die Anwesenheit der Ansprengschicht noch komplizierter, doch zeigten die praktischen Messungen - abgesehen von den Schwankungen der Nullwerte - keine Beeinflussung auf die Schichtdicke und die / Druckbeständigkeit

dor B in der abenf

ಕ್ಷರ್ಥಾಣ ಶ

<del>iurob</del> evti.

Transit H down

Substantial Social Soci

nacavern 1939 (Les 1949 (Les

toneyayom Sei ion G Sei ion U Sauc Iohu

ತ್ತಿಗಳಿಸುವ ಭಾಗಿದ್ದ ಪ್ರದರ್ಶಿಸಿಗಳು ಪ್ರದರ್ಶಿಕ್ಷ

ರ್ಷಾದ ಬಡುಕಿಂ ಾನಿಕೆಯಿಯುವರೆ and Rett, Figure was : ಕಿಸ್ಕಾಗಿಯ PROLITER) ##### @ £5 tios gain ಾಗುತ್ತದೆ ಇದನ ಗೆರವನ್ನಿನಿಂಗುತ್ತವ C THE DEE ີ່ ເລື່ອຄະນຸກ nun; traf Roundation ಗವರ8−೮೧%ನ Stabl (Po ್ಟ್ ಗಣ ಇಲ್ಲೇ ಪ್ರಾ und für i

theoretic

೯ ಇಣಕ್ಕಾರ

Anapatanga

neranter

Becinflas

der Ölfilme, was sich wohl aus dem grossen Überschuss des Öles im Verhältnis zur Menge der Ansprengsubstanz erklärt.

#### Die Öluntersuchungen.

#### 1. Mit Stahlplatten .

Bei den Versuchen, die Nullwerte des Systems Stahl-Stahl zu bestimmen, traten - wie bereits erwähnt - unzulässige Schwankungen auf; diese sind darauf zurückzuführen, dass die Ansprengung der feingeläppt polierten Platten durchaus nicht immer gleich gut war, d.h. die Platten nicht in allen Fällen gleich fest aneinander haften. Der Grund hierfür ist die relativ dicke Ansprengschicht, die für diese Stahlplatten erforderlich war, und die nur schwer stets gleich dick und in gleicher Verteilung auf die Platten aufzubringen war. Es wurde versucht, den Eullwert der Stahlplatten indirekt durch Zusammensprengen einer Stahl- mit einer Glas- oder Quarzplatte zu bestimmen. Da für diese Systeme dünnere Ansprengschichten genügen, ergaben sich für das jeweilig gemessene System hinreichend konstante und reproduzierbare Nullwerte.

Die darauffolgenden Ölmessungen zeigten aber trotzdem deutlich, dass die gemessenen Nullwerte nicht den wirklichen entsprechen konnten. Es wurden nämlich für die Ölfilme negative Dicken erhalten, und zwar schon von der geringen Belastung von 1 bzw. 1,6 kg/cm² an. Danach haben sich die Platten der genannten Systeme unter dem Einfluss des Öles weiter genähert als mit der Ansprengschicht (Fig. 1, Kurve 1,3 und 4); der Ölfilm wurde selbst zur Ansprengschicht.

Es wurde nun auf verschiedenste Weise versucht, diesen Mißstand zu beheben; u.a. wurden auch Stahlplatten mit optischer Politur (Politur entsprach also der Güte der Glasplatten) benutzt, ohne jedoch befriedigende Erfolge zu erzielen. Fehlmessungen mit dem Inko lagen hierbei nicht vor. dern die Manneten eine der Stahl gemen die Manneten mit dem Inko lagen hierbei nicht vor. dern die Manneten mit dem Inko lagen hierbei nicht vor. dern die Manneten mit dem Inko lagen hierbei nicht vor.

tur (Politur entsprach also der Güte der Glasplatten) benutzt, ohne jedoch befriedigende Erfolge zu erzielen. Fehlmessungen mit dem Inko lagen hierbei nicht vor, denn die Messungen wurden in der Physikalisch-Technischen Reichsanstalt mit Erlaubnis Herrn Direktor Kösters unter der Leitung von Ober-Reg.Rat Dr. Lampe freundlicherweise nachgeprüft und bestätigt,

wobei ein anderes interferometrisches Messprinzip als es bim Inko vorliegt, zur Anwendung kam.

Da somit die wirklichen Nullwerte der Stahlplatten, sowohl der optisch-polierten wie der feingeläppten weder direkt noch indirekt bestimmt werden konnten, musste auf die Ermittlung der Dicke von Ölfilmen zwischen Stahlplatten leider verzichtet werden und die Öluntersuchungen auf Glasplatten beschränkt bleiben. Auf weitere Einzelheiten der Versuche mit den Stahlplatten muss an dieser Stlle verzichtet werden. Es sei noch darauf hingewiesen, dass die relative Dicke der Ölfilme, also her Abnahme von Druckstufe zu Druckstufe, selbstverständlichzwischen Stahlplatten einwandfrei bestimmt werden kann und daher der Verlauf der Kurven - ie Kurvencharakteristik - voll bewertet werden kann.

### 2. Mit Glasplatten.

 $\mathcal{I} \in -\mathcal{I}_{\mathcal{C}}(s,p)$ 

Ter Village Secure

ter is app

್ ಕತ ಆಗ್ಟ

Sections:

• L. L. 2013

Carried Addition

rod door Geoldings Pedd roo

ಾಗಿ ಉತ್ಪಟ್ಟ

ಚಿತ್ರಚಿತ್ರದ ಪ್ರಕ

కుండు) ఇద్దా

ស៊ីសារ៉ូ សុរស់ភ

: ಜಾರಿ ರಸ್ತಿ

II vol ne

iba amengi

Es wurden Reihenversuche mit ölen verschiedenster Provinienz ausgeführt, die entscheiden sollen, ob die Bestimmung der Druckbeständigkeit von Ölfilmen mit dem neuen Messverfahren möglich ist.

Durch zahlreiche Vorversuche war festgestellt worden, dass die Ölmessungen mit den Glasplattensätzen innerhalb der zulässigen Fehlerbreite reproduzierbar, unabhängig vim jeweils benutzten Plattensatz ( 3 Meßsätze standen zur Verfügung) und frei von subjektiven Einflüssen sind. Somit waren alle Vorbedingungen zur vergleichenden Bewertung erfüllt.

Fig. 2 zeigt 7 Messreihen, an verschiedenen Glas plattensätzen mitdem Straight-Run-Öl H3. Die Kurven 3 bis 6 laufen in ihren horizontalen Teilen von der Druckstufe 2kg/cm² ab fast zusammen, während Kurve 7 erst ab 2,7 kg/cm² Druck mit den anderen gemeinsam asymptotisch ausläuft. Bei 50 kg/cm² betragen die Schichtdicken dieser 5 Kurven übereinstimmend 0,13 p, was für das gleiche Öl bereits von Neumann gefunden wurde. Die Kurven-1 und 2 fallen heraus. Die Ursache hierfür

war eine ungünstige Konstruktion der Pressen , unter denen die Ölfilme belastet wurden. Diese Pressen wurden daher ausgeschaltet. Die steil abfallenden Anfangsteile der Kurven 1 bs 7 haben alle voneinander abweichende Richtungen, und die flacher verlaufenden erreichen die Endschichtdicke bei höheren Druckstufen als die steiler verlaufenen. Diese Unterschiede entstehen durch die verschieden grossen Ölmengen, die eim Absprengen der Platten unter Öl mit dem heissen Hilfsglasplättchen eingebracht und schwer reguliert werden können. Die Schichtdicken-Druck-Kurven können folglich nicht eher miteinander verglichen werden, als bis sich die Endschichtdicke annähernd aingestellt hat. (Näheres siehe Original). Vermutlich sind dieÖlfilme bei den höheren Druckstufen schon so dünn, dass sich die Öle nicht mehr wie Flüsigkeiten verhalten, sondern nur noch die an den Glasflächen hafenden, halbfesten Schichten entsprechend der Eigenart der Ölmoleküle dem Belastungsdrudk Widerstand leisten. Die Versuche zeigen, dass vergleichende Hessungen mit Glasplatten durchaus möglich sind, weshalb die folgenden Untersuchungen an Glasplatten durchge-

## 3. Untersuchungen an 30 handelsüblichen Schmierölen verschiedener Herkunft.

Bei den nun folgenden Reihenversuchen wurden die Druckstufen von Beginn an so hoch gewählt, dass die nach Effnstellung des Gleichgewichtes zwischen Druck und Schichtdicke erhaltenen Werte in den zweiten wagerechten Teil der Kurven fielen. Das Messverfahren konnte dadurch erheblich verkürzt werden, denn die bisher übliche Messung in lo Druckstufen konnte auf 3 Druckstufen verringert werden, ohne dass dadurch Änderungen der Endschichtwerte eintraten. (Siehe dazu Fig.4 im Original). Die 3 Druckstufen wurden so gewählt, dass mit der ersten gerade der Übergang vom ersten zum zweiten Kurventeil (Umkehrpunkt)erfasst wird, während die zweite und dritte Druckstufe Messpunkte des wichtigen flachen zweiten Kurventeiles lieferten. Die Belastungen waren

Medevel worden innerbi gig vin nur Ver

ಸಲ್ಲಾರಿ

to La

robsw

8 2an

tsflaf

ಶಕ್ರಕ್ರ

Versuc

nerden

exicic

.೧೯೬೫೮

ಚಿತ್ರಕಾರ

Eurven

111 · S -

ಟ್ ಭರ್ಮ

30 a **t**1 m

Inko

platten
laufen
ab fast
mit den
betrege
o,13 p

#IIUSTre

- 12 -

Slft. •ಪ್ಲಾರೆ redun

sircv ອໄນປຣ

onof: ಬಣಸಾಧವ

aron.o Sobio

Tobus difficul

eind :

Sond Benze

ಜ್ ಮಾಕ್ಟರ್ vorgl

Estrabay TUIT

±C—s-±6 Bigneta

dioke nove.J

zűzev noluna

oanbah

4. 12 ಟ್ ಕಣಪಾಸಿ

eficera

mieite er iswa

5 kg, 25 kg und 35 kg entsprechend den Drucken von 1,07 kg/cm<sup>2</sup>, 5,36 kg/cm<sup>2</sup> und 7,49 kg/cm<sup>2</sup>.

Die untersuchten 30 Öle, darunter 20 Markenöle , wurden so ausgewählt, dass sie eine Skala vom "paraffinischen" zum " aromatischen " Charakter hin bilden, mit den Dichten von d<sub>20</sub>=0,874 bis 0,927 und den dezugehörigen Brechungsexponenten von  $n_D^{20} = 1,4862$  bis 1,5132 ansteigend.

Zur Vermeidung von Zufälligkeiten wurde jedes Öl in zwei Meßsätzen untersucht. Da die Ergebnisse der Parallelmessungen nur innerhalb der zulässigen Fehlerbreite schwankten, wurden jeweils die Mittelwere beider Messfolgen als Kurvenpunkte in Fig. 3 und 4 eingetragen.

Die Kurven dieser 29 öle haben eine ähnliche Form , jedoch lassen sich zwei Gruppen unterscheiden, weshalb sie getrennt in Fig. 3 und 4 , Tabelle 1 und  $2_*^{x}$  aufgeführt wurden. Von der ersten zus zweiten Druckstufe fallen die Kurven schräg ab, um dann in Fig. 3 von der zweiten zur dritten Stufe nur noch um geringe Beträge von der Abszisse nach oben oder unten abzuweichen. Dagegen fallen in Fig. 48 die Kurven von der zweiten zur dritten Druckstufe weiterhin schräg ab. Die Kurvenzüge der Öle 27 und 28 in Fig. 4 liegen so, dass sie eigentlich sowohl der einen wie der anderen Gruppe zugerechnet werden können. Der Verlauf der Kurven "flach" oder "schräg" ist nicht durch die Dicke der Endschicht bedingt. Die Mittelwerte der Schichtdicken für die flachen Kurven betragen in der dritten Druckstufe o,185 u und desgleichen für die schrägen Kurven o.180 p. Die Endwerte beider Kurvengruppen liegen somit im selben Bereich und sagendaher über den Kurvenverlauf selbst nichts aus.

Die dünnsten Endschichten wurden bei den Ölen mit flachen Kurven, dem Straight-Run-Öl H 1 mit c,12 u (Fig. 3, Kurve 16) und bei den schrägen Kurven beim Öl $_{43}$ ebenfalls mit o,11 u (Fig. 4, Kurve 20) gemessen. Auffallend ist jedoch, dass bei den Ölenmit flachem Kurvenzug zwei pennsylvanische Öle , das Pennoil medium (loo % pennsylv.)

x) Die Numerierung der Öle 1 bis 29 in den Tabellen stimmt mit der Bezifferung der Kurven in Fig. 5 und 6 überein.

1,07 🗷 . sIJ edor to ಕರ್ಷಕ್ರಿ <u>ರ್ವಜಾಭರ</u> hà Iù somioi neur be SIR WA e aron es ele *វាទាស់*ចេល novenil ಕ್ಷಮಕ್ಕೆ un old facalo ទោប់វាចស 1 x 3 = 1 ້ວຢູ່ແລະ ารกาน ್ತ್ ಇದ್ದಿ<u>ಹ</u> Sepol: Latron mit fil -: EX) obenfa bei dai ได้ตานออ

x) Dic

mit 0,27 µ und das penns. Autoöl heavy medium XXXV mit 0,29 µ (Fig. 3, Kurven 8 und 1) die grösste Schichtdicke aufweisen. Die dickste Endschicht bei den ölen mit schrägen Kurven erreicht das Audac-Motorenöl schwergold mit 0,25 µ.

über die Dicken der Endschichten der Öle 18 - 29 (Fig. 4) lassen sich keine genauen Aussagen machen, da unbewiesen ist, ob nach der dritten Druckstufe ein weiterer Abfall eintritt oder nicht. Da aber die Werte der dritten Stufe zwischen o,ll und o,25 u liegen, also in den Bereich der übrigen flachen Kurven fallen, ist nach den gemachten Erfahrungen anzunehmen, dass die EndStchtdicken nicht wesentlich darunter liegen können, und ein Vergleich mit den Endschichtwerten der Öle 1 bis 15 (Fig. 3) ist wohl zulässig.

Zur Erklärung des schrägen Verlaufes der Kurven wurden die Belastungszeiten der dritten Druckstufe wesentlich verlängert, ohne dass eine weitere Abnahme der Schichtdicken eintrat. Das Gleichgewicht war also bereits nach der normalen Belastungszeit (15 - 20 Stunden)erreicht gewesen. Von den Dichten und den Brechungsexponenten liessen sich ebenfalls keine Abhängigkeiten ermitteln.

Eine unmittelbare Beziehung zwischen der Viskosität und dem Kurvenverlauf besteht ebenfalls nicht, obwohl bei flüchtiger Betrachtung der Tabellen dieser Anschein erweckt wird. Die Öle der flachen Kurven haben im Durchschnitt niedrigere Viskositäten als die der schrägen Kurven, jedoch streuen die Werte. Es ist einleuchtend, dass der Übergang wom flüssigen Zustand der dicken ölfilme zu dem halbfesten Zustand der dünnen Filme an hochviskosen Ölen mehr Zeit oder höhere Belastungenbeansprucht als dies für niedrigviskose öle erforderlichist. Die Bedingungen, mit hochviskosen Ölen so dünne Ölfilme zu erreichen, dass die Gesetze der Hydrodynamik vollkommen ausgeschaltet sind, müssensehr hoch sein und würden trotz extrem langer Belastungszeiten bei den Ölen mit schräger Kurve anscheinend noch nicht erreicht. Streng genommen dürften die Schichtdicken-Druckkurven der Öle nur dann mieinander verglichen werden, wenn die Viskosität vollkommen ausgeschaltet ist. Die Kurven zeigen aber eine weitgehende Annäherung an

- 14

mil o, (Vi., Die di

ogodka Pogodka

ດຸນກ ຣຽ 3 – ອັ

Abfall svison

ubri ge

ಭರ್ಕಾ⊈ಲ್ಟ್ ಇಂದಿಲ್ಲಾಡ

aetreu

usarti

Sohica

ep dosu poden

eion et

i oMfle

till loc

D.SERTO

nenskas Pįdoju

voic :£lik

ZastenZ

höhere

erfordo dunna Ö

vollitow

ಾ ಜಕಂತಕ

earn'y

die Geh

verglic

ist. Dis

diesen Idealzustand, so dass der Vergleich der Kurven als zulässig erschien, wie oben schon gesagt.

Um über den Einfluss der Viskosität Genaueres aussagen zu können, müsste das Versuchsmaterial bedeutend erweitert werden.

Ein vollkommen ungewohntes Bild zeigten die Kurven des Shell-Voltol-Öles (Fig.5), dessen Worte in weederholten Messreihen nicht reproduzierbar waren. Entsprechend der Eigenart des mit Hochfrequenz behanielten Dies und seiner Viskosität nach (12,5 E°/50°C, Tabelle 2, Öl Nr. 30) wurde erwartet, dass sich die Endschicht schon in der zweiten Druckstufe einstellt. Alle Kurven fallen jedoch schräg ab. Eine befriedigende Erklärung für das eigenartige Verhalten wurde nicht gefunden.

## 4. Untersuchungen an 2 synthetischen Ölen der Ruhrchemie, an 1 Öl aus Spaltparaffin und an 1 Öl aus Chlor-Gatsch.

Es wurden weiterhin Messungen an 2 synthetischen Ölen der Ruhrchemie, Öl A und Öl B, von heller goldgelber Farbe durchgeführt, sowie ein Öl aus Spaltparaffin, Öl V 17 und ein Öl aus Chlor-Gatsch, Öl V 18, durchgemessen. An diesen Ölen sollte der eventuelle Einfluss der chemischen Struktur der Öle auf ihr Druckverhalten untersucht werden. Die Baten der synthetischen Öle sind:

-	<sup>d</sup> 2o		cSt bei	50 <sup>0</sup>	E°/50°	V.P.	<u> </u>
Öl.,	4 0,856	1,4760	79		10.5	3.00	
01.1	0,861	1,4776	225		25	1,95 1,90	. ,
						-950	

Die beiden öle weisen niedrigere Dichten und Brechungsexponenten auf als die anderen 30 öle und sind also von ausgeprägt paraffinischem Charakter. Beide öle haben eine gleiche und gute Polhöhe, doch steht ihre Viskosität im Vorhältnis 1: 2,5. Trotz dieses Viskositätsunterschiedes ist der Verlauf der Kurven 1, 2 und 3 in Fig. 6 einander sehr ähnlich.

dlesen
rulkss
erweiv
erweiv
Narven
holten
ersert
ersert
strice
niote

Parto ( ein Ol sellte suf in synthe

ಚರಗರಣ

Öl 4 0

Prechus von aus gleicht nig l verlaut

Die Kurve 1 (öl A) und Kurve 3(öl B) laufen zufällig einander parallel, während sich bei der Kurve 2 (01 B) ein deutlicher Einfluss der eingebrachten Ölmenge bemerkbar macht. Doch weisen die beiden Kurven 2 und 3 des Öles B nahezu die gleichen Schichtdicken bei 7,49 kg/cm<sup>2</sup> auf und liegen mit ihrem Mittelwert von 0,17 u Endschichtdicke durchaus imBereich der anderen 30 untersuchten Öle. Dagegen liegt beim Öl A der niedrige Endwert von 0,09 p unter dem niedrigsten der 30 öle, die für das - Öl H l und das Öl "3" mit o,ll u gefunden wurden. Auch kann man für das Öl B annehmen, dass sich bei weiterer Belastung die Schicht noch vermindern lässt, denn es besitzt mit 25 E/50° eine sehr hohe Viskosität, die nach den oben angeführten wahrscheinlichen Ursachen für die " schrägen " Kurven eine Einstellung der wirklichen Endschicht in der dritten Druckstufe innerhalb der normalen Belastungszeit nicht gestattet. Da die beiden Öle paraffinischen Charakter haben, sind ihre schrägen Kurven und niedrigen Endwerte besonders auffallend und stehen in einem deutlichen Gegensatz zu denbeiden ebenfalls paraffinischen pennsylvanischen Ölen Nr. 1 und 8, deren Kurven 4 und 5 zum Vergleich in die Figur 6 gestrichelt eingezeichnet sind. Aus diesen unterschiedlichen Kurvenbildern der pennsylvanischen und der synthetischen öle der Ruhrchemie muss man schliessen, dass für das Druckverhalten der Öle ihr chemischer Charakter nicht ausschlaggebend ist und dass die pennsylvanischr Öle noch Inhaltsstoffe besitzen, die die Druckbeständigkeit begünstigen und den synthetischen Ölen fehlen.

Durch das eigenartige Ergebnis der Ruhrchemieöle angeregt, wurden nun Versuche an zwei weiterenölen mit
einem gegensätzlichen paraffinischen und aromatischen Charakter
ausgeführt. Das öl V 17 ist aus Spaltparaffin und das öl V 18
aus Chlor-Gatsch (38,5 % Cl) 1937 im Technisch-chemischen
Institut der Technischen Hochschule Berlin hergestellt. Vor
der Verwendung für die Messungen wurden beide öle mit TerranaBleicherde bei Zimmertemperatur mehrmals raffiniert, wobei die
ursprünglich dunkelbraunen bis schwarzen öle in klare gelbe
Raffinate übergingen. Die Daten der öle nach der Raffination
waren:

d <sub>2</sub>	20		E <sup>0</sup> /50°C	V.P.	
1 V 17 0,8	68 1,4762	250,0	33,5	1,41	
1 V 18 0,923	23 1,5096		6,3	2,05	=

en und aromatischen Charakter der beiden Öle kann man aus den beiden UV-Absorptionskurven (Fig.7) erkennen, die mit dem Zeiss'schen Quarzspektrographen aufgenommen wurden. Die gestrichelten Kurven stellen die UV-Absorption der Öle vor der Raffination und die ausgezogenen Kurven n a c h der Raffination dar. Aus dem Absorptionsmaximum des Öles V 18 ist deutlich sein aromatischer Charakter erkennbar, während das öl V 17 in dem für die Aromaten in Betacht kommenden Absorptionsgebiet überhaupt kein Maximum besitzt, da es paraffinisch ist und als solches keine Aromaten enthalt.

Ein gewisser Einfluss der Raffination auf den Aromatengehalt des Öles V 18 ist durch das Absinken des Absorptionsmaximums erkennbar, doch sind die beiden Öle wesentlich voneinander verschieden.

Die Messergebnisse dieser Öle sind in Fig. 8 wiedergegeben, aus dem ein Unterschied im Druckverhalten der Öle nicht herausgelesen werden kann. Während in Fig. 6 Öle mit ähnlicher Struktur verschiedene Kurven ergaben (synthetische Ruhrchemie-Öle schräger Verlauf und dünne Schichten, pennsylv. Öle flacher Verlauf und dicke Schichten), zeigen hier die Öle mit verschiedener Struktur ein sehr ähnliches Drudkverhalen. Dieses Ergebnis zeigt ebenfalls, dass die chemische Struktur für die Ausbildung und das Verhalben der adsorbierten Ölfilme gegen eine statische Druckbeanspruchung nicht allein massgebend sein kann, sondern noch andere unbekannte Faktoren dabei eine Rolle spielen müssen.

Die Endschichtdicken der Öle 1 bis 29 liegen im Bereich von o,1 bis o,25 u, stehen also im Verhältnis 1 : 2,5 und zeigen somit deutliche Unterschiede der Druckbeständigkeit

Die Zu Tiorse erner die oc School স্কুত্ৰ ರೆಯ ಅನ

V ತಿಂಡಲಣ

ol e l

UL arem

die Sc

eine s

Detribu

odenis

innerh

-----

Karvon

naded e

I LETEQ

Ensi N

aind.

relacv

schlie

Cheren

or elö

OKE SO

ms old

menie

exsgef

aus Oit

Institu dor To dsiela

Wigeru

Raffin

vercu:

5. Diskussion der Messergebnisse.

- 17 -

Ol v 17Ol v-18
Ol v-18
der bold
(Fig.7)
estgened
estgened
des Clos
winter
Absorpti

den Arom Absorpti 11oh vor

caleders of the cale and cale of the cale

1 : 2.5 2 : 2.5

von Schmierblen. Jedoch liessen sich die Endschichtdicken dieser Öle sowie die der Ruhrchemie-Öle und der beiden anderen Ölen aus Spaltparaffin und Chlor-Gatsch in keinen eindeutigen Zusammenhang mit ihren physikalischen Daten und ihrer chemischen Beschaffenheit bringen. Die Druckbeständigkeit der Öle muss somit andere Ursachen haben und allem Anschein nach sind die druckbeständigen Schichten der verschiedenen Öle mehr oder weniger verschiedener Natur. Dieses wird besonders deutlich, wenn man die dicken Endschichten der pennsylvanischen Öle mi: den dünnen Endschichten der Ruhrchemie-Öle vergleicht, denn letztere hätten ihrem stark paraffinischen Charakter nach die dicksten Schichen aller gemessenen Öle überhaupt ergeben müssen. Polare Modeküle können nicht allein ausschlaggebend für die Ausbildung adsorbierter Schichten sein, denn schlecht schmierende Öle werden wohl durch ihren Zusatz verbessert7), doch erreichen sie den Gütegrad eines pennsylvanischen Öles dadurch nicht.

Aus diesen Gründen ist es heute nochnic t möglich, die gemessenen Werte der Endschichtdicken unmittelbar als Grundlege für die gesuchten Kennziffern der Öle anzusehen. Erst dann kann mit ihrer Hilfe eine neuartige Bewertung der Öle geschaffen werden, wenn durch geeignete Versuche in der Maschine bestätigt wird, dass z.B. die Öle mit dicken Endschichten auch gute Schmierwerte geben. Wenn dies der Fall ist, kann die Druckbeständigkeit als ein gutes Charakteristikum der Öle gaten. Aus solchen Versuchen wirde sich dann ergeben, ob man das hier zwischen zwei ebenen Platten im Zustand der Ruhe untersuchte Druckverhalenn der Öle in Beziehung zu dem Schmierfilm zwischen zwei unter Grenzreibung laufenden Flächen der Maschine setzen darf oder nicht. Die Beantwortung dieser Frage und die Möglichkeit der Klassifizierung der Öle für das Gebiet der Grenzschmierung mit Hilfe der angeführten Messmethode muss vorläufig offen gelassen werden.

Ausserhalb dieser Frage stellt die vorliegende Arbeit aber einen Beitrag zu der wissenschaftlichen Erfassung über das Verhalten dünner Ölfilme unter Druck dar und fördert darüber hinaus die Kenntnisse zur genauen interferometrischen Messung dünnster Schichten.

ron Bein tros alt ્રાપ્ત. ઉત્તર គ្នានានាវា មក្សា និស្សា**ខ**េស e these eculticame T place. our inces ase in t = R(eB)Koft oft •ಗ೯ನ೯೮೫ 215 452 ್ಕಾರಿಯ ೧೮ ims ≾**ು**∂

Follows

ordered

ordered

finitede

following

concard

for each

for each

for orde

s fisera Sh rest restras Laussa Es sei noch darauf hingewiesen, dass nach Beendigung der vorliegenden Arbeit im Mai 1940 eine Veröffentlichung von N e e d s 27) erschienen ist, die Versuche behandelt, das Verhalten von Schmierölfilmen zwischen zwei planparallenen Metallplatten (Stahl) unter Druck zu bestimmen. Diese Versuche stellen Ergänzungen der in der vorliegenden Arbeit aufgeführten Ergebnisse dar. Die Genauigkeit der Nullwertbestimmung der Stahlplatten von N e e d s muss allerdings bezweifelt werden. Am Schluss des Textes der Originalarbeit wird die Veröffentlichung eingehender behandelt.

## Literatur-Verzeichnie.

- 1.) R.Brill, Ober monomolekulare Schichten. Z.f.Elektrochemie u.angew.physik.Chemie 44, 459 £ (1938)
- 2.) G.Briegleb, Zwischenmolekulare Kräfte und Molekulstruktur
- 3.) Trillat, Röntgenologische Untersuchungen von orientierten Filmen. Metallwirtschaft 7 (1928), S. 101
- 4.) G. Schmalz, Technische Oberflächenkunde (1936)
- 5.) Karplus, Der Aufbau der Schmierschicht und die Kolloidgraphitschmierung, Petrol.25 (1929), 375
- 6.) <u>Herschel</u>, J.Soc. Automotive Eng. vol. lo pp 31, 369 (1922)
- 7.) J.E. Southcombe, The Fundamental Principles of Lubrication. The Gas-World-The Coking Section April (1938), S. 11 f.
- 8.) Gümbel-Everling, Reibung und Schmierung im Maschinenbau
- 9.) R. Voitländer, Mitt. Hydr. Inst.d. T. H. München, Heft 3, S. 145 München und Berlin 1929
- lo.) G.Vogelpohl, fit und Kohle, 12, 943 (1936) Prüfen u. Messen, S. 177, VDI-Forschungsheft 386, S. 24
- 11.) E. Kadmer, S. 95 (6)

ಿಸ್ಟ್ ಚಿಕ್ಕಿಯಾ ಅಟ್

licanng'v das Verne

ພຊິດມີ ເອກ່ອໄລີ

⊠ Selleje

ឧត្ឋាណ: 🐺

ស្**ខ**្មីមួយជាមាន

ស្រាជិវិតសិ

- 12.) W.B. und J.K.Hardy. Philos.Mag.6 Series B. 38,1919,5. 32

  Note on static friction and on lubricating properties of certain chemical substances
- 13.) R.E. Wilson u.R. Barnard (S. 95 (7)
- 14.) Deeley. The Engineer Bd. 147 (1929) S. 454
- 15.) Wells, The kinetic boundary friction. The Engineer Bd. 147 (1929) S. 454
- 16.) J.H.Hyde, Engineering Bd. 111 (1921) S. 708
- 17.) Trillat und Vaille, J.chim.physique Rev.gen.kolloids 33
- 18.) Bachmann u.Brieger, S. 95 (8)
- 19.) W. Büche, Diss.T.H. Karlsruhe 1930, Petr.Bd.27 (1931)\$.587
- 20.) H. Neumann, Diss. T. H. Berlin (1938)
- 21.) <u>H. Pietzsch.</u> Über die Länge eines Erallel-Endmaßes bei Messung in Lichtwellenlängen (Diss. 1929)
- 22.) Th. Schoon, Erkundung des Feinbaues von Grenzflächen Z.f.Elektrochemie u.angew.physik.Chem. 44, Nr.8 Aug. (1938) 8.498
- 25.) E. Kaube, Der Einfluss der Ansprengschicht auf die Länge von
- 24.) Berndt, Grundlagen und Geräte technischer Längenmessungen
- 25.) T.Londsdale, The Structure of polished Metal Mech. World Nr. 2686 Juni 24 (1938) S. 603 f.
- 26.) H. Mouquin u.E. Rideal, The Rigidity of Solid Unimolecular Film Proc. Roy. Soc. of London(A) 114 (1927) S. 690
  27.) J.S. Needs, Boundary Film Investigations, Trans. Am. Soc. Mech.

## Literatur-Verzeichnis.

- 1.) R.Brill, Uber monomolekulare Schichten. Z.f.Elektrochemie u.angew.physik.Chemie 44, 459 f (1938)
- 2.) G.Briegleb, Zwischenmolekulare Kräfte und Molekulatruktur
- 3.) Trillat, Röntgenologische Untersuchungen von orientierten Filmen. Metallwirtschaft 7 (1928), S. 101
- 4.) G. Schmalz, Technische Oberflüchenkunde (1936)
- 5.) Karplus, Der Aufbau der Schmierschicht und die Kolloidgraphitschmierung, Petrol.25 (1929), 375
- 6.) Herschel, J.Soc. Automotive Eng. vol. lo pp 31, 369 (1922)
- 7.) J.E. Southcombe, The Fundamental Principles of Lubrication. The Gas-World-The Coking Section April (1938), S. 11 f.
- 8.) Gumbel-Everling, Reibung und Schmierung im Maschinenbau
- 9.) R. Voitländer, Mitt. Hydr. Inst.d. T. H. München, Heft 3, S. 145, Munchen und Berlin 1929
- 10.) G. Vogelpohl, fit und Kohle, 12, 943 (1936) Prüfen u. Messen, S. 177, VDI-Forschungsheft 386, S. 24
- 11.) E. Kadmer, S. 95 (6)

ిస్తు ప్రాజాంత్ర

المنسيدة الأط

CoAroV alb

. Detailare

mE reliets

eas had on wh

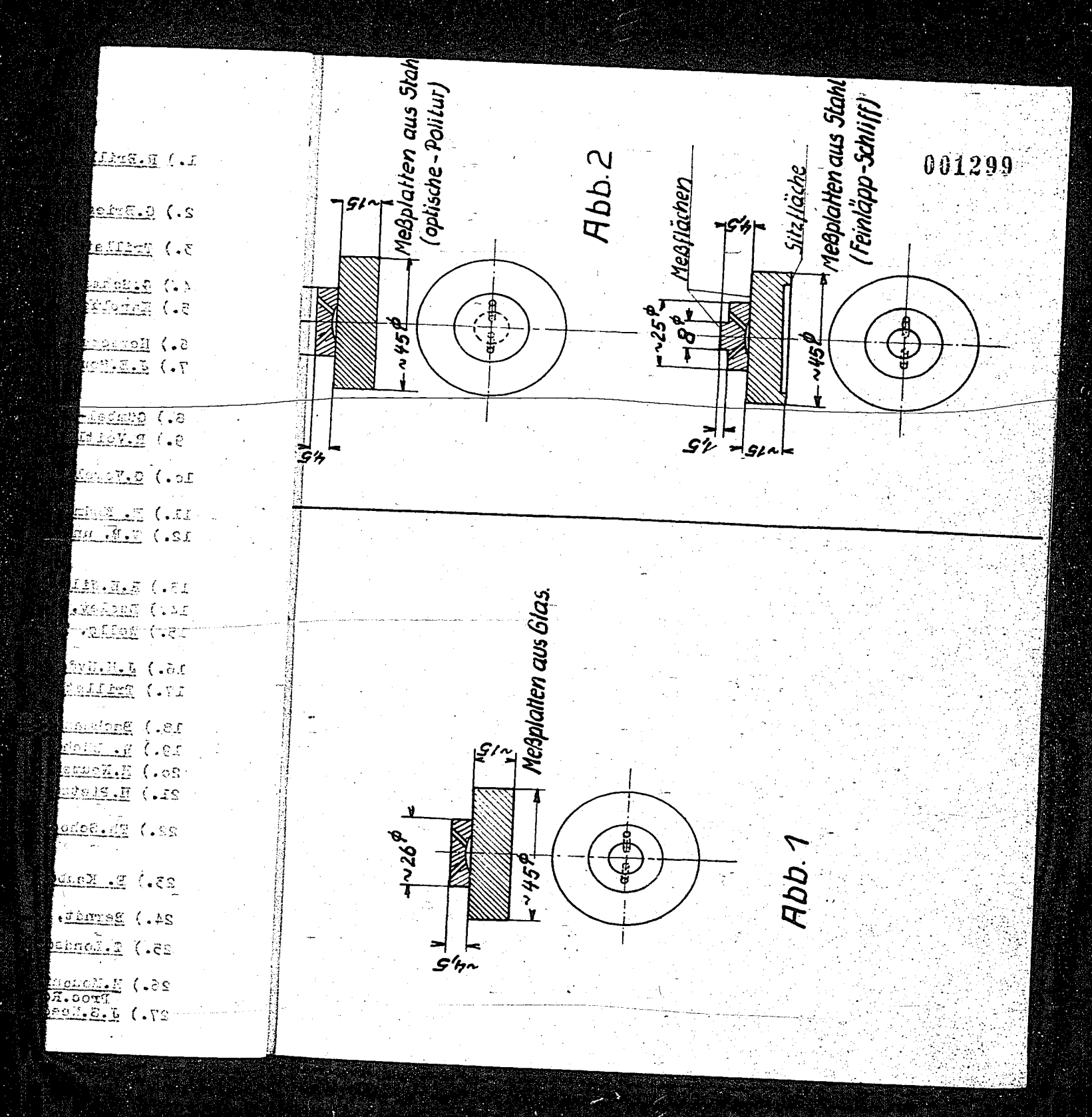
trasia. 93-

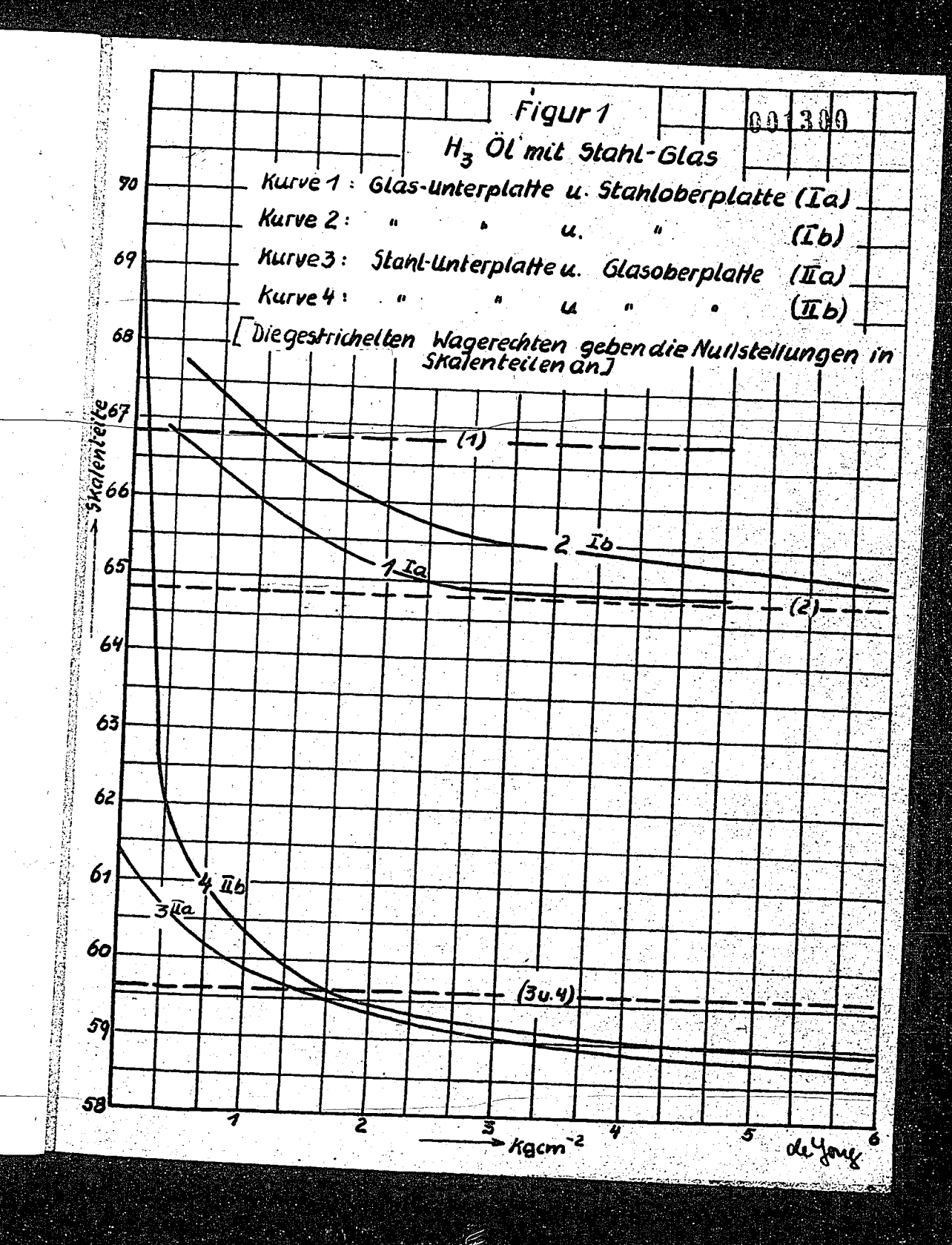
- A.L. 2.11

ជាមណ្ឌនៅស្រី 📝

- 12.) W.B. und J.K. Hardy, Philos. Mag. 6 Series B. 38,1919, S. 32

  Note on Static friction and on lubricating properties of certain chemical substances
- 13.) R.E. Wilson u.R. Barnard (S. 95 (7)
- 14.) Deeley. The Engineer Bd. 147 (1929) 3. 454
- 15.) Wells, The kinetic boundary friction. The Engineer Bd. 147 (1929) S. 454
- 16.) J.H.Hyde, Engineering Bd. 111 (1921) S. 708
- 17.) Trillat und Vaille, J.chim.physique Rev.gen.kolloids 33 (1936) S.742
- 18.) Bachmann u.Brieger, S. 95 (8)
- 19.) W. Büche, Diss.T.H. Kerlsruhe 1930, Petr.Bd.27 (1931)\$.587
- 20.) H.Neumann, Diss.T.H.Berlin (1938)
- 21.) H. Pletzsch. Über die Länge eines Erallel-Endmaßes bei Messung in Lichtwellenlängen (Diss.1929)
- 22.) Th. Schoon, Erkundung des Feinbaues von Grenzflächen Z.f.Elektrochemie u.angew.physik.Chem. 44, Nr.8 Aug. (1938)8.498
- 23.) E. Kaube, Der Einfluss der Ansprengschicht auf die Länge von
- 24.) Berndt, Grundlagen und Geräte technischer Längenmessungen
- 25.) T.Londsdale, The Structure of polished Metal Mech. World Nr. 2686 Juni 24 (1938) S. 603 f.
- 26.) H.Mouquin u.E.Rideal, The Rigidity of Solid Unimolecular Film Proc.Roy.Soc.of London(A) 114 (1927) S.690
  27.) J.S.Needs, Boundary Film Investigations, Trans. Am. Soc. Mech. Engrs. 62 (1940)S.331





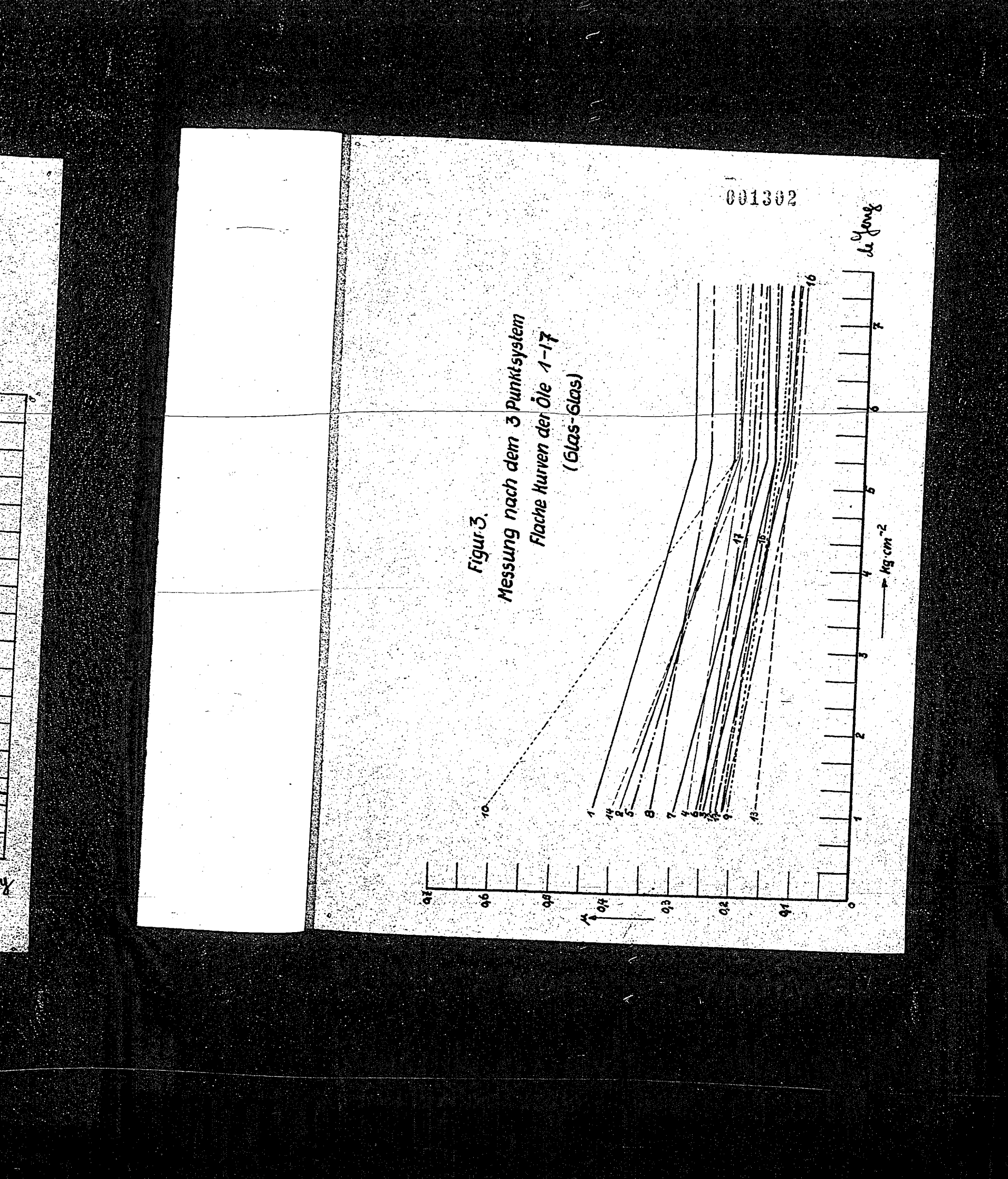
001301 Figur 2

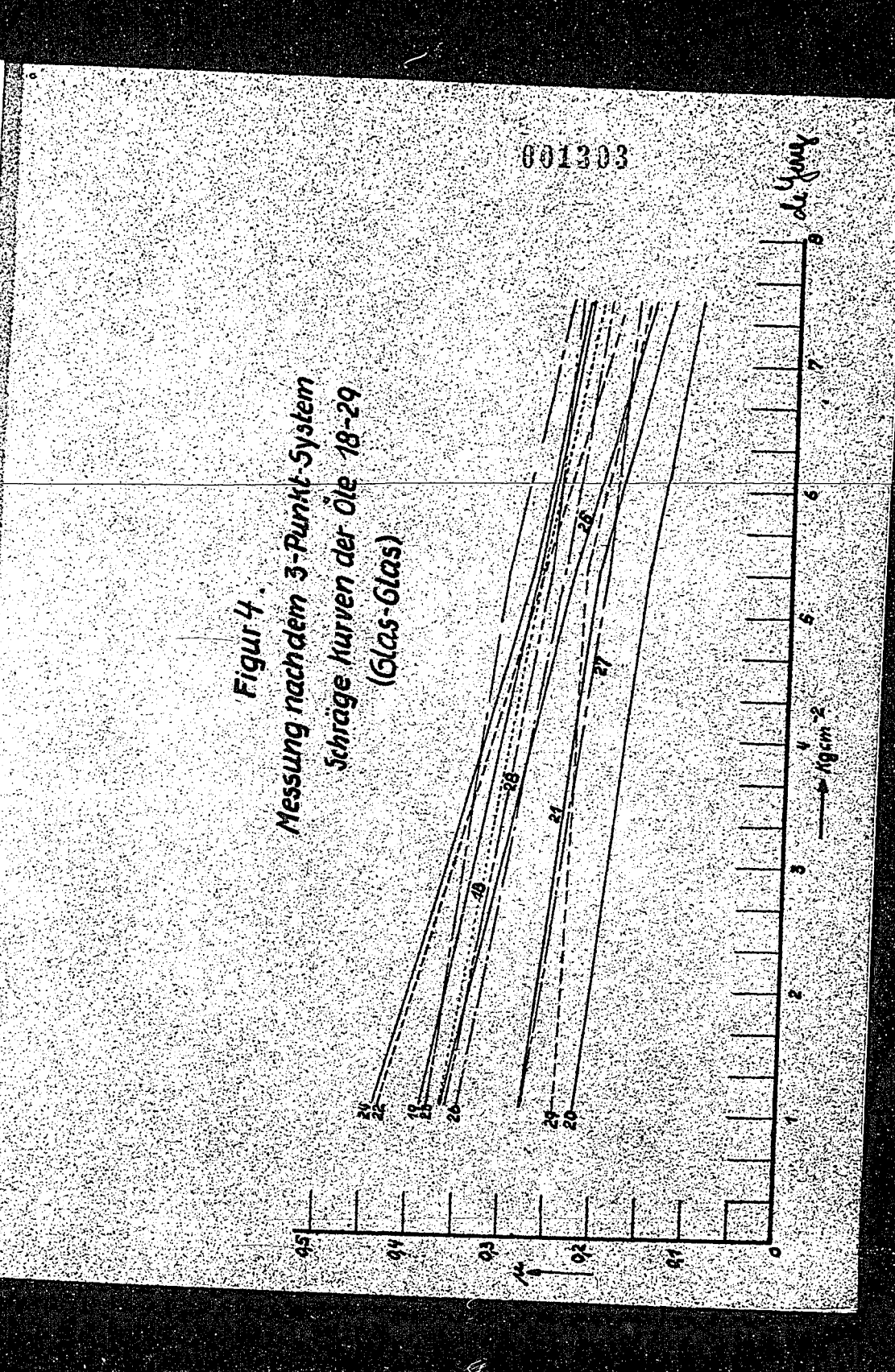
H3 - OL (Glas-Glas)

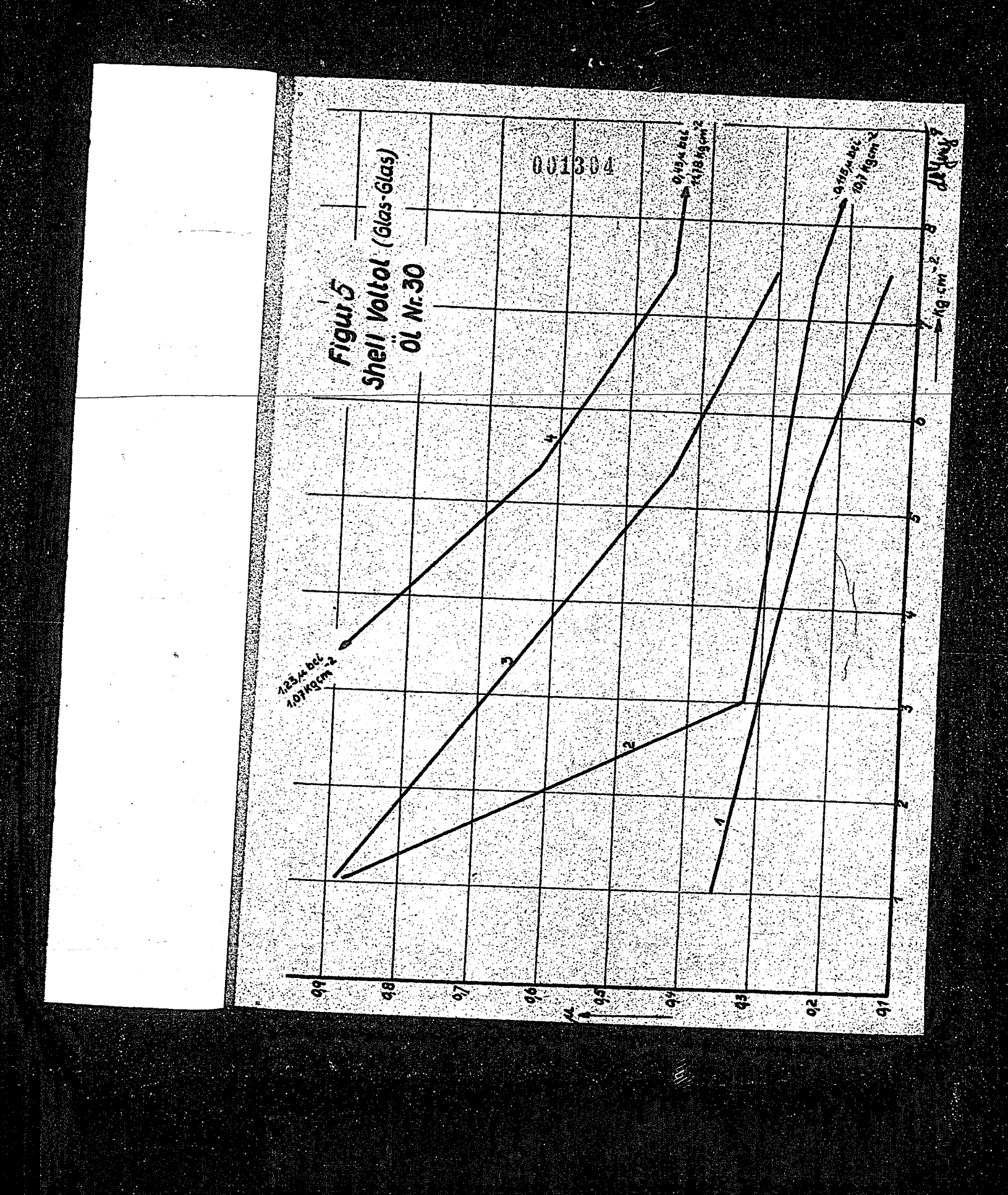
Kurve 1: Satz II) Einfluß der

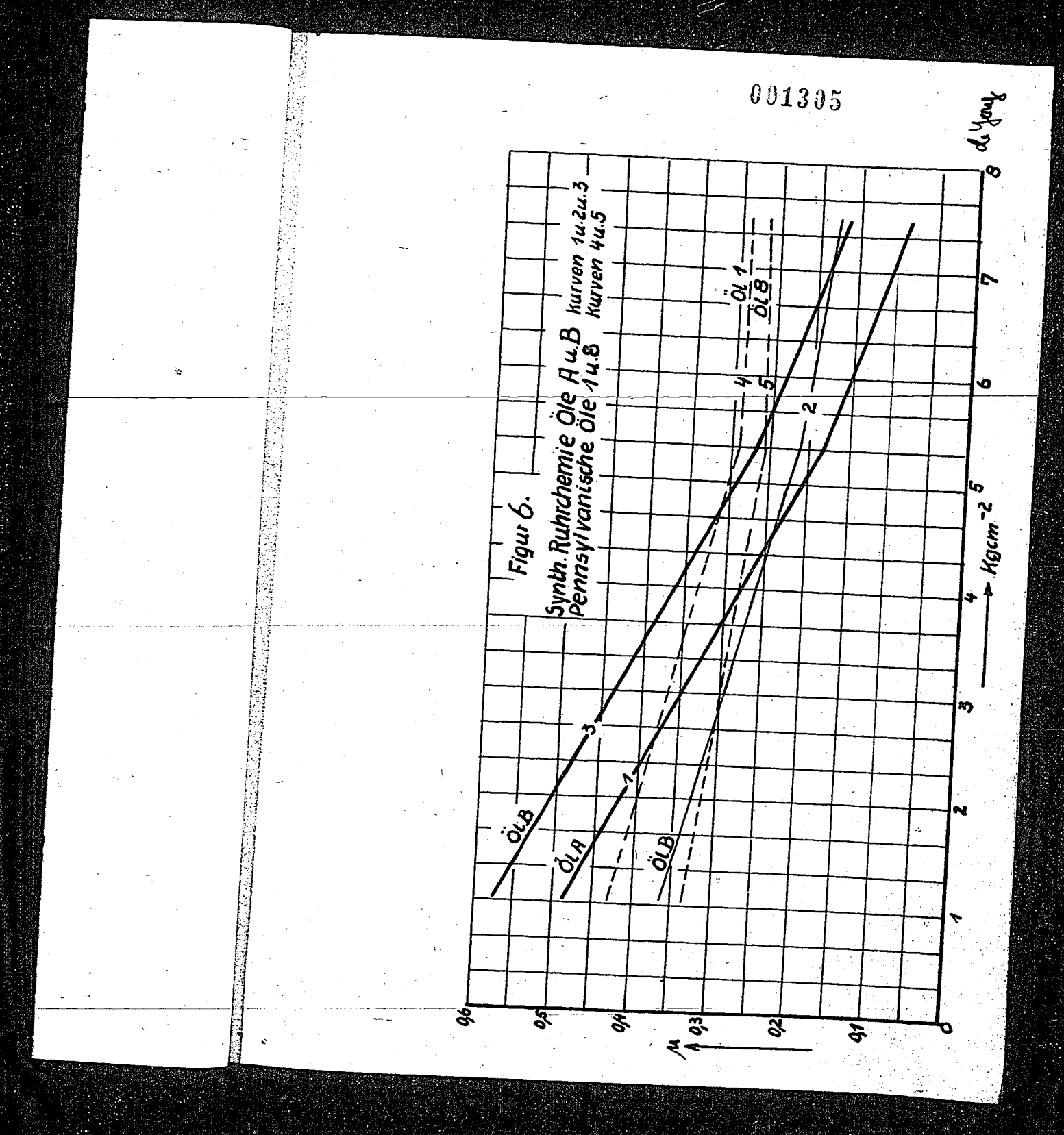
III. Hebelpressen

III. 荒江江 0,5 M 94 93 01 Kg.cm-2 deyong









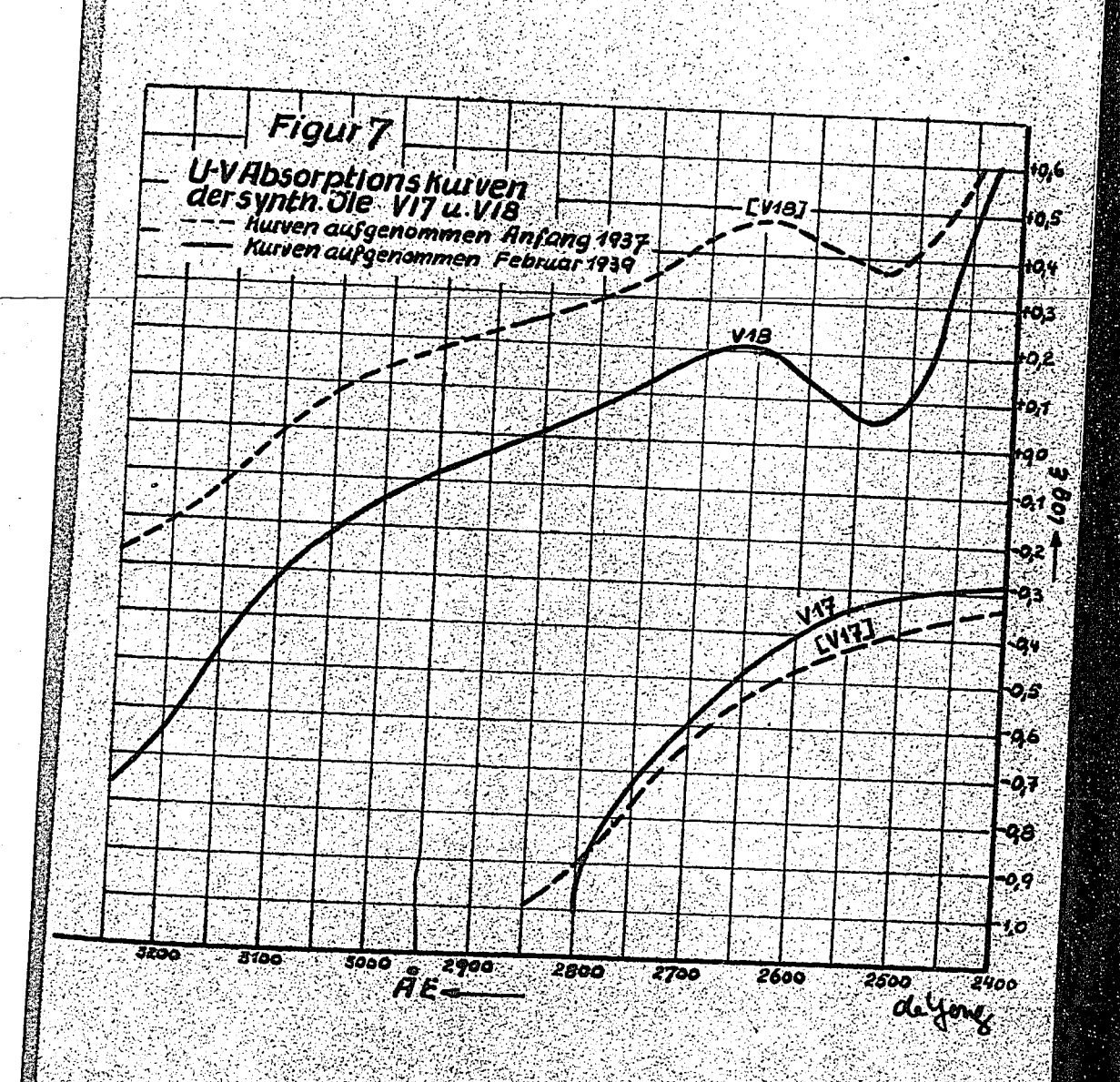


Tabelle 1

Daten der Öle Mr. 1 - 17. Flacke Kurven.

Solicy of the second se	Nr. Rame d. 01.							
Reavy medium 0,882 1,4909 10 1,73 0,430 0,287 0,29 2,35 1,44051 2, X		20 720	50/50	0g V.1	bei de lo7 kg	Schichtdicken d.Öle in bei den Belastungen 107 kg. 5.36 kg.7 an		
TINY 2. Shell Aut51 2. Shell Aut51 2. Shell Aut51 3. Andae Motoren- 0.916 1.5074 3. Andae Motoren- 0.916 1.5074 4. Di " 1 " 0.9917 1.5090 14.8 2.3 0.247 5. Ol " 1 " 0.887 1.4942 20 1.90 0.365 6. Gargoyl 8. Arctic 7. Penns Aut0- 0.897 1.4978 4.8 2.2 0.259 0.149 0.150 6. Light 0.897 1.4978 4.8 2.2 0.291 0.161 0.171 8. Penns Aut0- 0.886 1.4982 12 1.98 0.333 0.254 0.268 8. Penns I 0.888 1.4982 12 1.98 0.333 0.254 0.268 8. Penns I 0.9911 1.5051 3.88 2.98 0.205 0.140 0.150 8. Streight-Run 0.911 1.5071 6.7 2.8 0.503 0.210 0.200 9. Streight-Run 0.917 1.5077 12 2.95 0.229 0.135 0.131 8. Penns I 0.917 1.5077 12 2.95 0.229 0.135 0.131 8. Streight-Run 0.917 1.5077 12 2.95 0.229 0.135 0.131 8. Streight-Run 0.917 1.5077 12 2.95 0.229 0.135 0.131 8. Streight-Run 0.917 1.5077 12 2.95 0.225 0.175 0.176 14. Streight-Run 0.980 1.5047 7.0 515 0.395 0.191 0.195 15. Lubitz-Ol 0.889 1.4868 14.6 2.01 0.211 0.150 0.153 8. Streight-Run 0.894 1.4868 14.6 2.01 0.211 0.150 0.153 8. Streight-Run 0.894 1.4868 14.6 2.01 0.211 0.150 0.153 8. Streight-Run 0.894 1.4868 14.6 2.01 0.211 0.150 0.153	4. Penns Autob				PEO CE	pro c	m pro o	
2 X 0,904 1,4997 9;9 2,33 0,382 0,206 0,19 3.Andac Motoren- 0,916 1,5074 15;0 2,75 0,247 0,128 0,119 4. 01 % 1 0,917 1,5090 14,8 2,3 0,277 0,209 0,229 5.01 PAV	XXXV			1,73	0,430			
Cl. Schwersliber  4. 01 1 2 0.917 1.5090 14.8 2.3 0.277 0.209 0.225 sehr disk 0.887 1.4942 20 1.90 D.565 0.216 0.225 Mobil51 0.887 1.4948 4.8 2.2 0.259 0.149 0.150 6. Gargoyl Mobil51 0.897 1.4978 4.8 2.2 0.259 0.149 0.150 61.11cht 0.874 1.4862 5 1.82 0.291 0.161 0.171 medium XX 0.886 1.4922 12 1.98 0.333 0.254 0.268 9. Straight-Run 0.911 1.5051 5.88 2.98 0.205 D.140 0.150 HA 0.916 1.5071 6.7 2.8 0.503 0.210 0.200 61 medium 0.917 1.5077 12 2.95 0.229 0.155 0.131 H2 0.922 1.5092 - 3.75 0.225 0.175 0.176 14. Straight-Run 0.917 1.5132 11.5 2.44 0.151 0.129 0.166 7.7/11 0.889 1.4868 14.6 2.01 0.211 0.150 0.153 15. Straight-Run 0.889 1.4868 14.6 2.01 0.217 0.150 0.153 17. Straight-Run 0.889 1.4868 14.6 2.01 0.217 0.150 0.153 17. Straight-Run 0.889 1.4868 14.6 2.01 0.217 0.150 0.153 17. Straight-Run 0.889 1.4868 14.6 2.01 0.217 0.150 0.153 17. Straight-Run 0.889 1.4868 14.6 2.01 0.217 0.150 0.153 17. Straight-Run 0.889 1.4868 14.6 2.01 0.217 0.150 0.153 17. Straight-Run 0.889 1.4868 14.6 2.01 0.217 0.150 0.153 17. Straight-Run 0.889 1.4868 14.6 2.01 0.217 0.150 0.153 17. Straight-Run 0.889 1.4868 14.6 2.01 0.217 0.150 0.150 0.153 17. Straight-Run 0.889 1.4868 14.6 2.01 0.217 0.150 0.150 0.153 17. Straight-Run 0.889 1.4868 14.6 2.01 0.217 0.150 0.150 0.153	2 X	The second of th		2,33	0,382			
01 1 0,917 1,5090 14,8 2,3 0,277 0,209 0,225 8ehr disk 0,887 1,4942 20 1,90 0,565 0,216 0,225 Nobil 51 0,887 1,4978 4,8 2,2 0,259 0,149 0,150 7. Fenns,Auto- Ol, light 0,874 1,4862 5 1,82 0,291 0,161 0,171 medium XX 0,886 1,4922 12 1,98 0,333 0,254 0,268 Pennöl medium 0,886 1,4922 12 1,98 0,333 0,254 0,268 1.00 Fennsylv 9. Streicht-Run 1 0,911 1,5051 3,88 2,98 0,205 0,140 0,150 1 1. Bedford Auto- Ol medium 0,916 1,5071 6,7 2,8 0,603 0,210 0,200 01 medium 0,917 1,5077 12 2,95 0,229 0,135 0,131 12 8traight-Run 0,922 1,5092 - 3,75 0,225 0,175 0,176 13. Viscobil 13 0,917 1,5132 11,5 2,4 0,51 0,129 0,116 15. Lubits Ol 0,980 1,5047 7,0 315 0,395 0,191 0,195 37/II 0,889 1,4868 14,6 2,01 0,211 0,150 0,153 15. Eubits Ol 0,889 1,4868 14,6 2,01 0,211 0,150 0,153 17. Straight-Run 0,894 1,4956 2,31 2,3 0,217 0,120 0,109 17. Spidolin B 0,916 1,5081	O1,Schwersil	n- 0,916 1,5074	15,0	2,75	the state of the state of			
### Behr disk		The state of the s		2,3-	SALES SANT			
Arctic 0,897 1,4978 4,8 2,2 0,259 0,149 0,150 7. Fenns.Auto-	sehr diek 6. Gargoyl	0,887 1,4942	20	经数据的证据				
7. Penns.Auto- 01,1ight 0,874 1,4862 5 1,82 0,291 0,161 0,171 medium 0,886 1,4922 12 1,98 0,333 0,254 0,268 9. Straight-Run 10. Straight-Run 11. Bedford Auto- 01. May 0,912 1,5077 12 2,95 0,229 0,135 0,131  Hay 0,912 1,5092 - 3,75 0,225 0,175 0,170  13. Viscobil 13 0,917 1,5132 11,5 2,4 0,151 0,129 0,116  Hay 0,989 1,4868 14,6 2,01 0,211 0,150 0,153  Hay 0,889 1,4868 14,6 2,01 0,217 0,150 0,153  Hay 0,884 1,4956 2,31 2,3 0,217 0,120 0,109	Mobilel	0-807 7 1020	Marie Carlo				~,,,,,,	
### Rennol	7. Penns Auto-		4,8	2,2	0,259	0,149	0,150	
medium 0,886 1,4922 12 1,98 0,333 0,254 0,268 9. Straight-Run 0,911 1,5051 3,88 2,98 0,205 0,140 0,130 10. Straight-Run 0,916 1,5071 6,7 2,8 0,503 0,210 0,200 61. Hedford Auto- 0,917 1,5077 12 2,95 0,229 0,135 0,131 He 0,922 1,5092 - 3,75 0,225 0,175 0,170 13. Viscobil 13 0,917 1,5132 11,5 2,4 0,151 0,129 0,166 He 0,980 1,5047 7,0 315 0,395 0,191 0,195 15. Lubitz-Ol 37/II 0,889 1,4868 14,6 2,01 0,211 0,150 0,153 He 0,894 1,4956 2,31 2,3 0,217 0,120 0,109	medium xx		5	1,82	0,291	0,161	0,171	
H <sub>3</sub> 0,911 1,5051 3,88 2,98 0,205 0,140 0,130  10. Straight-Run 0,916 1,5071 6.7 2,8 0,603 0,210 0,200  11. Bedford Auto- 0,917 1,5077 12 2,95 0,229 0,135 0,131  12. Straight-Run 0,922 1,5092 - 3,75 0,225 0,175 0,170  13. Viscobil 13 0,917 1,5132 11,5 2,4 0,151 0,129 0,166  15. Lubitz-01 0,989 1,4868 14,6 2,01 0,211 0,150 0,153  16. Straight-Run 0,894 1,4956 2,31 2,3 0,217 0,120 0,109	medium loo «Pennsyl	0,886 1,4922 V.	12	1,98	0,333	0,254		
H <sub>4</sub> 0,916 1,5071 6.7 2.8 0,503 0,210 0,200 01. Bedford Auto- 0.917 1,5077 12 2,95 0.229 0,135 0,131 H <sub>2</sub> 0.922 1,5092 - 3.75 0.225 0,175 0,170 13. Viscobil 13 0,917 1,5132 11.5 2.4 0,151 0,129 0,116 H <sub>5</sub> 0,980 1,5047 7.0 \$15 0.395 0,191 0,195 37/II 0,889 1,4868 14.6 2,01 0,211 0,150 0,153 H <sub>1</sub> 0.894 1,4956 2,31 2,3 0,217 0,120 0,109	H <sub>3</sub>	0,911 1,5051	3,88	2,98	0,205			
11. Bedford Auto- 61 medium 0.917 1.5077 12 2.95 6.229 0.135 0.131  12. Straight-Run 0.922 1.5092 3.75 0.225 0.175 0.170  13. Viscobil 13 0.917 1.5132 11.5 2.4 0.151 0.129 0.116  14. Straight-Run 0.980 1.5047 7.0 315 0.395 0.191 0.195  15. Lubitz-Ol 0.889 1.4868 14.6 2.01 0.211 0.150 0.153  16. Straight-Run 0.694 1.4956 2.31 2.3 0.217 0.120 0.109	4	0,916 1,5071	6,7	2,8				
H2 0,922 1,5092 - 3.75 0,225 0,175 0,170  H3. Viscobil 13 0,917 1,5132 11.5 2.4 0,151 0,129 0,116  H5. 0,980 1,5047 7.9 315 0,395 0,191 0,195  37/II 0,889 1,4868 14.6 2,01 0,211 0,150 0,153  H1 0,894 1,4956 2,31 2,3 0,217 0,120 0,109	OL medium	しょうが 知知 ピタイト おものとり ニュック・カラギャル	12		viji iše Pieciji			
13. Viscobil 13. 0,917 1,5132 11,5 2.4 0,151 0,129 0,116 14. Straight-Run 0,980 1,5047 7,0 315 0,395 0,191 0,195 15. Lubitz-Cl 37/II 0,889 1,4868 14.6 2,01 0,211 0,150 0,153 16. Straight-Run 0,894 1,4956 2,31 2,3 0,217 0,120 0,109	12. Straight-Run						光爱 电电极电流	
7,0 715 0,116 7,15 0,980 1,5047 7,0 715 0,295 0,191 0,195 15. Lubitz-Cl		and 10 (1) (1) (1) (1) (1) (1) (1) (1) (1) (1)	11,5	14.45 (14.7-4)				
17. Spidolin B 0.918 1 5083	75						ي المواد المنظمة	
16. Straight-Run 6.894 1,4956 2,31 2,3 6,217 6,120 0,109 17. Spidolin B 0.918 1 5087 32	37/11	TO PERSONAL PROPERTY OF THE PROPERTY OF THE			<b>以野女孙 经</b> 对金			
17. Spidolin B 0.918 1 5081 32	16. Straight-Run						0,153	
9dhwerflussig 2,65 0,259 0,165 0,163	17. Spidolin B sohwerflüssig	0,918 1,5081	13,5					

## Tabelle 2

	关键 经存货 经基本债券 医二甲基		- 0 - 5			장하 보기를 받았다
Pr. Name d. 6	en der Öle Nr. les d <sub>20</sub> n <sub>20</sub>	18 - 30 E°/50°0	. Schr V.P		tdicken de Belastungs	<b>I</b> I
18. Uspeco, Aut				pro cm		7.49 kg
19. Penns Auto	0,920 1,5081		3,7		pro cm	om <sup>2</sup>
öl,heavy 20. Öl "3"	0,887 1,4923 0,891 1,4944	- 1 - 1 - 1 - 1 - 1 - 1 - 1 - 1 - 1 - 1	1,98		0,273	0,223
21. 01 "2"	0.917 7 5077	and the second second	1,78		0,151	0,109
22. Essolubsta. dard voll-	nd-		2,27	o <b>,</b> 278	0,206	0,135
sohutz Koto renöl SAE4	MI	10,5	2,2	0,453	0,277 -	0.189
24. Auto-Parago	olg 1007 l 4896	15,5	1,9	.0,587	0,305	0,249
extra heavy 25. Öl "4"	0,899 1,4995	15	2,09	0,434	0,278	0,227
26. Bayonne	0,901 1,4997	14,8	2,23	-0,361	0,231	0,154
Auto medium 27. Spezialdie-	0,903 1,5021	12.	2,38	0,346	0,244	0,202
selmotoren- ol-9.R.Q. sehr dum	0,897 1,4933	8,5	2,4	0,277	0,198	0,172
28. Shell Auto- 81 3 X 29: 81 "5"	0,906 1,5009	12,5	2,36	0,364	a <b>,</b> 257	0,234
36. Shell Vol	0,908 1,5018	15,0	1,8	0,238	200	0,170
tól	0,927 1,513 <sub>0</sub>	12,5	2,5	0,352 0,879 0,890 1,230	0,233 0,281 0,449	0.138 0.244 0.305 0.453

Dozent Dr. Ing. habil. Erich Kadmer sm Inst. f. Chemische Technologie, Technische Hochschule, München

München, Mai 1944

Bezug: Kriegeauftrag Er. 4010-0015-9501/45, Sonderatufe 4010/44 des OICH, Wa Pruf. 0(Ive) v.10.2.1944 Betrifft: Untersuchung der Behmierfühigkeit von Oelen

Meue Beobachtungen über Reibung, Verschleiss und Schmierfähigkeit mit der Almen-Wieland Gelprüfmeschine. 

Bau, Einrichtung und Wirkungsweise der SAK-Celprüfmeschine nech Almen, Bauert Wielend, werden als bekennt vorausgesetzt.-Schrifttum: Kedmer, Schwierstoffe u. Merchinenschwierung, 2. Aufl. (1941) S.317-320 - Paul, Oel u. Kohle 1940, 475-477.

In den folgenden Tabellen bedeutet P die Belestung in Anzohl Platten je 1 kg. Die Belastune wird auf hydraulischem Wege auf des euewecheelbere Früflager übertragen Beim Modell 1936 beträgt die Uebersetzung 1:02,5, d.h. 1 kg der sufgelegten Platte wirkt sich mit einem Druck von 02,5 kg auf des Prüfleger aus Beim Modell 1941 heträgt die Uebersetzung 1:00. In beiden füllen zeigen die Prifflager Zapfendurchmenser 0,0 mm, tragende Zapfenlänge 12,8 mm und Lagerschalenbohrung 0,5 am, also Lagerspiel 0,2 mm.
Die eigenen Versuche wurden mit kodell 1956 durchgeführt;

Ergebnisse mit Modell 1941 not herr Luers, Fremen, in dankenswerter Weise zur Verfügung gestellt.

1. Versuchseruppe In dieser Versuchsgruppe kamen verschiedene Mineralöhreffinate der Erdölverarbeitung zu Vergleich, und zwer: Modell 1936 Oel Mr. Bezeichnung

```
Farhe 6/20 nI/20 E/20 E/50
      witrobenzol-Raff.
                                                                        Wp
                                      3,5 .862 1.477
                                                           13
                                                                 3,3 1.85 3.73
                                            .ea6
                                                           ပ်႐
                                                                 9,0_2.38_
                                      5,0
7,5
                                            .879 1.485
     Schwefels.-Raff.
                                                           45
                                                                 8,1 1.97 3.56
     Nitrotenzol-Reff. (AP 99)
Duo-Sol-Reff. (AP 11700)
                                            .904 1.501
                                                                 e,6 2.50 3.83
                                            .807 1.481
.875 1.485
                                                           10,5
                                                                3,0 1.61 3.61
            10
                      (AP 10900)
                                                           45
                                                                9.0 1.83 3.44 16,4 2.07 3.50
                                            .250 1.484 118
                                      6,0
                                           .870 1.486
                                                           4₩
                                                                 9,2 1.85 3.42
                                            .870 1.486
                                      ٥,٥
     Schwefele.Raff. (Regenerat)
                                                                 9,2 1.83 3.42
                                                           49
17
     Flugmot. ol (Granring)
                                            .905
                                                          84
                                                               12,8 2.05 3.52
                                            .878 1.487 178
               " (Rotring)
                                                               20,4 2.04 3.41
                                           $878 1.489 124
.908 1.507 425
13,
     Brightstock(V2 o, 5) Flugmot. 61(St. 100).
                                                               17,6 2.04 3.45
                                     Ç, Ç
                                                               42,4 2.25 3.45
               " (St.126)AP 1250) 1
15
                                           .885
                                                 1.488
                                                               17,2 1.86 3.35
25,0 1.85 3.25
                                           .eei
                                                         180
Modell 1941
                                           .888
                                                         225
                                                               50,0 1.88 5.24
   Schwefels.Reff.(d)
ġ.
                                           . J10
                                                                3,5 2.30 3.89
3,6 1.44 3.40
                      (a)
                                           .845
                                           . y20
                                                                4,5 2.89 4.10
```

```
1. Versuchsgruppe: Tabelle, verte der Reibungskraft R(kg)
   Oel
            ..... Belastung, Anzahl der Flattengewichte
   Nr.
         1 . 2 . j
[ode]1 1956
                      4 . 5 . 6
                                  . 7 . 8 . 9 . 10. 12. 14. 16. 18. 20
        Modell
             16
                  29
             18
                  36
             16
                  31
             12
                  26
          75
             13
                  20
             19
                 28
                      41
        10
             21
                  36
             12
                 20
                      28
                          38
            11
                 15
                      26
   10
            12
                 18
                     26
   11
            12
                 22
                     28
   12
            23
                 32
   13
            13
                 28
                         63
                     48
   14
                16
                     25
   15
            11
                19
                     27
                         32
                              41
            18
                29
       odell 1941
            20
                     48
                         60
                              72
                                  82 100
   18
                32
                    43
                         53
87
                             ó4
                                  73 107
  19
           25
                40
                    56
 Anm. Die Steigerung der Belastung erfolgte stufenweise nach je
 Erkenntnisse aus Versuchsgruppe 1: Die Filmfestigkeit (Haftfestig-
  keit)der Mineralöl-Raffinate ist eine beschränkte.- Unterschie-
  de im Raffinationsverfahren (Schwefelsäurebehandlung, Lösemittel-
  verfahren) sind mit Bezug auf die Höhe der R-Werte oder den tg des Steigungewinkels oder \mu=R/P nicht zu erkennen. - Es scheint
  dass die Streuung der R-Werte unabhängig von den Eineralschmier-
 ölen erheblich ist. - Zwischen den R-Werten bei Modell 1930 und
 1941 und der Schwierung mit Mineralöl-Raffinaten besteht keine
 winschenswerte Uebereinstimmung. - Der Streubereich-der erhalte-
 nen Resultate ist, wie folgt, anzugeben:
                  .... Belestung P, Anzahl-der Plattengewichte
 Modell 1936
                    5,56 14,75 25,3
2 15
 R, Mittelwert
                                       36,0
 R-Minimum
                                                    56,0
R-Maximum
                                        26
                                               3Ž
                    10
                                                     41
% Streuung
                                        55
                  144%
                          81%
                                 83%
Modell 1941
                                        80%
                                               93%
                                                     59%
R.Mittelwert
                    9,00 20,70 35,6
                                       49, o
                                             66,6
H-Minimum
                          19
                                                                 105
R-Maximum
                                 32
                                              54
                                                           ?ż
82
                    g
                          23
                                40
                                                                 100
% Streuung
                                       56
                                              87
                                                     72
                    0%
  Zur Wertbestimmung von Mineralöl-Reffinaten genügt der gegen-
                          19%
wärtige Feinbearbeitungszustand der Zwerglager durch Feindrehen
                          2. Versuchsgruppe
         In dieser Versuchsgruppe werden Fettöle und gefette-
```

te mineralole betrachtet, die sonst keine weiteren Zusätze er-

```
Oel Nr. 20 ist Klauenöl, Oel Nr. 21 ist Spermöl und die Oele
Nr. 22 u. 25 sind rohe Rüböle. – Oel Nr. 18a ist ein Verschnitt von
97% Oel Nr. 18 mit 3%Rüböl, Oel Nr. 18b ein solcher mit 3%Rübölfettsäu-
re. Die Oele 20-23 u. 18a, b wurden in der Almen-Wieland Maschine, Mo-
          Die Oele Nr. 24-27 und 13a kamen im Modell 1956 in Erprobung; die Kennzahlen dieser Oele sind:
         Oel Bezeichnung ...... Farbe d/20 nD/20 E/20 E/50
        24 Getriebeöl m. 3%Spermöl
25 m. 3%Spermöl
26 m. 4%Spermöl
                                                                                                  10 .925
                                                                                                                            1.517 200
1.519 510
1.518 445
                                                                                                                                                                          2.69
2.70
2.49
2.50
1.76
                                                                                                  10 .930
10 .927
                                                                                                                                                            42,5
40,0
17,5
19,2
       28 m.4%Spermöl
27 Aero-Shell S(1936)
13a Brightst.Nr.13+15%Spermöl
                                                                                                                                                                                        3.69
3.59
3.72
3.23
                                                                                                             914
                                                                                                                                              148
                                                                                                    8 .904
                                                                                                                            1.500 124
      18. 20
                                                   33
33
34
28
                                                                                      57
57
57
451
55
                                                                                                             73
75
72
51
81
     21
22
                                                                                                                                    95 109 122 155 142
99 114 128 145 155
92 102 112 122 155
                                                                          42
42
                                                                                                                        81 95 109
85 99 114
78 92 102
50 66 75
95 125 165
85 99 -
                                       25
21
25
24
        8 6 16 b 6 14 24 Modell 1936 2 10 28 2 9 20 3 8 27 7 15 24 12 22
                                                                                                  64
47
71
65
                                                               53
43
     18a
                                                 34
33
                                                                                                                                                                        95 101
     186
                                                                40
                                              45
37
53
32
32
                                                              59
50
78
42
                                                                         70
66
    25
26
                                                                                     69
                                                                                                .76
                                                                                                           82
                                                                                                                        92
                                                                                                                                   -
                                                                          48
                                                                                    58
59
                                                                                                           74
75
 Anm. Belastungssteigerung nach je 30 Sekunden.

Erkenntnisse aus Versuchsgruppe 2: Die Filmfestigkeit der Fettöle

Ist eine hohe; auch steigen die R-Werte mit zunehmender Belastung

viel weniger an, als bei den Mineralölen. Bei den mit 3-4%gefet-

1936 und 1941 eine gewisse Uebereinstimmung, nicht aber im Grade

der Belastbarkeit. Während von den Fettölen 20-22 sich durch

eine aussergewöhnlich niedrige Reibungsanzeige.
                                                                                                66
                                                                                                                        83 117
 In dieser Versuchsgruppe stehen die geschwefelten Mineral-
öle zur Betrachtung, und zwar a) Mineralole mit natürlichem Schwe-
felgehalt, der meist wenig grenzflächenwirksam ist, b) mit künstli-
chem Schwefelzusatz ohne Fettölverschnitt und c) mit künstli-
Schwefelzusatz bei gleichzeitiger Fettölzugabe durch sog. Faktism
- In dieser Versuchsgruppe stehen nur Ergebnisse mit Modell 1930

zur Verfügung. - Die Kennzahlen der untersuchten Oele sind:
Farbe d/20 nD/20 E/20 E/50 Wp. __m
   Nr.
28 1, % S naturl., (Ap.P.80)
29 2, 1% S naturl., (Ap.P.68)
30 2, 5% S naturl., (VZ 0, 35)
31 3, 7% S naturl., (An.P.57)
                                                                                      4 .928 1.519
5,5 .952 1.521
8 .904 1.505
                                                                                           4
                                                                                                                                                   8,5 2.40 5.79
4,4 2.96 4.12
10,9 2.11 3.59
                                                                                                                                         56
                                                                                                                                        24 4,4 2.90 4.16
70 10,9 2.11 3.59
11,5 2,8 2.75 4.10
                                                                                       7.5 .950 1.516
13b o,5%lac sulf.in Oel Ar.13 8,5 .911 1.507 440 42,4 2.28 3.47
```

```
Oel Bezeichnung
                                                                                                                   Farbe d/20 nD/20 E/20 E/50 Wp
        Nr.
30a Oel kr.30 m.5%Rühöl 7
30b Oel Kr.30 m.5%Rühölfaktis
32 Zyl.öl m.5%Rübölfaktis 10
35a 1,5%s nat.+ 3%Rizinusöl
35b 1,5%s nat.+ 5%Tran
33c 1,5%s nat.+1%Olein+5%Tran
33d 1,5%s nat.+10%Tran
34 2,1%s und 12%Rüböl(Hamig)
35 Zylöl + 16%Rübölfaktis 10
13c Oel Nr.13 m.15% S-Spermöl
          Nr.
30a
                                                                                                                                                        1.497
1.499
1.520
                                                                                                                                                                                      58
77
650
                                                                                                                                                                                                                                             5.45
5.52
5.88
8.88
5.88
5.28
5.28
5.19
                                                                                                                                                                                                                            1.87
2.06
2.42
                                                                                                                                                                                                       10,1
12,1
55,6
2,6
2,7
2,7
3,1
35,2
42,8
                                                                                                                                   .901
.952
                                                                                                                                                                                                                         2.42
1.95
1.98
1.98
1.76
1.95
1.88
                                                                                                                                                                                             25555
                                                                                                                                         900
                                                                                                                                      .894
                                                                                                                                        . 295
                                                                                                                                      .896
                                                                                                                                    .892
.931
                                                                                                                                                       1.513
1.505
                                                                                                                                                                                   270
351
                                  3 Verauchagruppe: Tabelle,
                                                                           Egruppe: Tebelle, Werte der Reibungskraft R(kg)
Belastung, Anzahl der Plettengewichte
4.5.6.7.8.9.10.12.14.16.18.
        Oel
                                         2.3.
                                                                                                                                                                                                                         ló. 18. 20
                                         16
15
14
17
        29
                               A
      30
31
      13b
                              2
                                              9
                                                         20
                                                                         38
                                                                                         50
                                                                                                         68
                                                                                                                         91
                                                                                                                                   121 170
     30a
30b
                          5324555452
                                                                       33
45
45
29
35
35
40
                                                                                       42
55
55
56
57
48
48
30b 3 10 32 40 52 66 76 -

32 2 18 31 45 58 09 82 99 115 132 -

33a 4 10 19 29 30 40 05 78 91 100 -

33b 5 12 21 30 38 45 60 79 99 130 -

33c 5 19 33 55 74 95 108 119 155 157 -

33d 5 19 31 45 58 69 83 97 112 132 -

35 5 12 29 42 68 75 88 99 109 117 132 147 167 190 -

And Belse tungs teigerung nach je 30 Sekunden.

Erkenntnisse eus Versuchsgruppe 3: Von den von Netur auf schwefelchen Mineralölen hat man sich lenge Zeit besondere Grenzflächen wirksamkeit und damit Schmierfähigkeit erwartet. Mittelt man Guerschnittswerten der Kohlenwasserstofföle von Versuchsgruppe 1 so ergibt sich folgendes Bild:
                                         ١ō
                                                     32
31
19
21
33
28
29
         Querschnittswerten der Konzenwagen.

guerschnittswerten der Konzenwagen.

so ergibt sich folgendes Bild:

Belastung P, Zahl der Plattengewichte

1 2 3 4 5 6
       Mineralöle d. Versuchs-
gruppe 1
Mineralöle, mit batür-
lichem Saccharit
                                                                                                      5,56 14,75 25,30 30,00 51,80 50,00
     Mineralole, mit natur-
lichem S-Gehalt 0,50 15,50 32,50 51,00 -
Die Filmfestigkeit der Mineralole mit natürlichem Schwefelge-
nelt ist offensichtlich mit 4 Plattengewichten Belastbarkeit
geringer als die der Mineralole von Versuchsgruppe 1; umgekehrt
stelst bei den schwefelreichen Mineralolen die Reihungsenzeige
     geringer als die der Mineralöle von Versuchsgruppe l; umgekehrt steigt bei den schwefelreichen Mineralölen die Reibungsanzeige wesentlich stärker, und dies könnte seinen Grund in der Natur dieser Oele haben, anderseits aber auch damit erklärt werden können, dass die S-reichen Oele einerseits durch hohe Werte für dund nur enderseits durch ungünstige Werte für m (Viel atella-
    können, dass die 5-reichen Oele einerseits durch nome werte für d und aD, anderseits durch ungünstige Werte für m (Visk. steilheit) charakterisiert sind. Sicher ist, dass in diesen Oelen der Schwefel nicht in der grenzflüchenwirksamen Form vorliegt.
```

Die geringe Fettung Naturschwefel-hältiger Mineralöle, wie sie in Nr. 30a, b und 33a-c dargestellt ist, wirkt sich nicht nur in der Schmierfilm-Belastbarkeit, sondern auch in einer Verminderung der Reibungswerte sehr günstig aus, so zwer, dess die Ergennisse hierbei nicht hinter denen zurückbleiben, wo hineralöl mit aktivem Rübölfaktis verschnitten ist. Ein beschtliches Ergebnis zeigt auch Versuch Mr. 15b, wotei Lineralol Mr. 15 mit 0,5% Schwefelmilch (lac sulfuris) kombiniert ist.

```
In dieser Versuchsgruppe

In dieser Versuchsgruppe ist die Wirkung geringer wengen organischer Phosphor-Verbindungen auf wineraldle dargestellt. Die Kennzehlen der untersuchten Oele sind:

Bezeichnung gering werde d/20 nL/20 k/20 k/50 kp m
   Oel Bezeichnung
   36 Nitrobenzol-Raff.mit 1%
                                                                   .887 1.491 105
                Trikresylphosphet
                                                                                                     15,2 2.07 5.51
  380 Kogasinöl ohne -
                                                                 .881 1.488
                                                                                           60
                                                                                                      10,4 1.03
                                                                 .855 -
.855 -
.877 1.487
 38p m.l%Trikreaylphospl
39 Schwefelsäure-Raff.mit
                 m. laTrikreaylphosphat
                                                                                            -65
                                                                                                     10,7 1.95 5.48
10,7 1.95 5.48
5,9 1.94 5.02
               1%Trikresylphosphat
  40
         Nitrobenzol-Raff.mit 1%
   Trikresylphosphet

la Oel Nr.1 m.12% lecithin

40 Oel Nr.5 m. 3%Trikresylph.

mit 5%Triphenylph.
                                                                  .886 1.492
                                                                                           65
                                                                                                     11,0 1.79 5.56
                                                                 .904 1.501
.904 1.501
                                                                                                      8, 6 2.50 j.83
8, 6 2.50 j.83
18c Oel Nr.18 m.3%Trikresylph. . - 18d Oel Nr.18 m.5%Paraflow und 1%Trikresylphosphet. -
4. Versuchsgruppe: Tabelle, Werte der Reibungskraft R(kg)

Oel .....Belastung, Anzahl der Plattengewichte

Nr. 1 . 2 . 3 . 4 . 5 . 6 . 7 . 8 . 9 . 10 . 12 . 14 . 16 . 18 . 20
                         16
                                         34
42
                                               45
48
                                                         55
57
                                                                                 84 122 144 102 192 226
82 94 118 140 172 218
                                                                        75
74
                                 33
          3 12
2 12
                                                                 Oυ
                  8
                                29
```

37 38 38p 27 17 23 22 58 72 59 49 45 5555 11 10 10 40 24 55 54 40 36 25 38 28 10 17 8 17 40 60 46 6 60 1941 19 29 72 Model1

Modell 1941

180 8 19 29 39 46 55 64 72 81 89 104 120 155 151 175

180 19 26 35 46 57 71 84 97 110 134 165 200 —

Anm. Belastungssteigerung nach je 30 Sekunden.

Erkenntnisse aus Versuchsgruppe 4. Der Zusstz geringer Mengen Trider Almen-Wieland-Oelprüfmaschine ausserordentlich. Die Reibungshältiger Oele und hält sich auf der Höhe leichtgefetteter, schwefel
öle der Versuchsgruppe 2. Auffallend sind die niederen R-Werte ungsgemüße neben 20-30% Lecithin technisch, welches erfehrscheint nützlich zu sein, Aktivzusätze wie S und P mit geringen Fettzusätzen zu Mineralöl zu kombinieren.

```
5. Versuchsgruppe
In dieser Versuchsgruppe wird die Wirkung chlorierter
                                 Produkte auf Mineralöle beobachtet.
                               Die Kennzehlen der untersuchten Oele sind:
Bezeichpung Ferbe d/20 nD/20 E/20 E/50
                Oel Bezeichpung
                 Nr.
                                                                                                                                                                                                                                                                                                                    Wp
                                    Oel Nr.4 + 3%Dichlor-
                 4c
                                 olshureathylester
Chlor.Spindelöl BG/H 10 10
- Aceton-Raff.v.Oel Nr.41 10
- Aceton-Extr.v.Cel Nr.41 10
                                                                                                                                                                                             .904 1.501
                                                                                                                                                                                                                                                                                    8,6 2.50 3.e3
                41
           41a
                                                                                                                                                                                                                                                                                   3,7
3,2
4,6
                                                                                                                                                                                                                                                                                                       2.95
2.29
5.71
                                                                                                                                                                                                                     1.502
1.524
                                                                                                                                                                                                                                                         13,8
               41b
                                                                                                                                                                                                                                                                                                                                 3.96
4.30
          17a Oel Nr.17+10%a-Chlornaphtalin -
17b " +10% Chlorthymol -
17c " +10% Trichlorphenol -
18e Oel Nr.18+ 3% C4C16
18f " + 3%chlor.Diphenyl -
18g " + 3%chlor.Diphenyl -
18h " + 6% C4C16
18h " + 12% C4C16
18i " +12% C4C16
42 4,5E/50+2,5%Ceresin+2,5% .904
Chlornaphtalin
43 Synth.öl m.2%Dichlorüthy- 1 .885
              17a Oel Nr.17+10%a-Chlornaphtalin
                                                                                                                                                                                                                                                      20,0 4,5 2.25 3.80
                                    len+5%C4Clo
                                                                                                                                                                                                                                                          5,5 2,1 1.70 5.70
                           5. Versuchagruppe: Tabelle, Werte d. Reibungskraft R(kg)

1. 2. 3. 4. 5. 0. 7. 8. 9. 10. 12. 14. 10.

Modell 1936

5. 8. 14. 26. 38. 52. 64. 75. 85. 100. 118. 147. 168.
          0e1
          Nr.
                                                                                                                                                                                               . 9 . 10. 12. 14. 10. 18. 20
               4 c
                                                                                                                     38-
27
                                                                                                                                         52
59
23
28
                                                                                                                                                                                   75
50
50
50
                                                                          16
5
5
                                                                                                19
                                                                                                                                                                                                        57
53
                                                                                                                                                                40
                                                                                                                                                                                                                                               66 85 92 + + 92 108 121 149 160 84 105 122 165 182
                                                                                                                                                                                                                            55
65
67
         41a
                                                                                                                     20
                                                                                                     8
                                                                                                                                                               38
        41b
                                                                                               ...9
                                                                                                                     22
                                                                                                                                                              36
                                                                1937
32
                          Model1
        41
                                 \mathbf{II}
                                                      22
                                                                                                44
                                                                                                                                        67
                                                                                                                    60
                                                                                                                                                                                  82 102 108 118 167 170 170 172
                                                                                                                                                              85
| Modell 1941 | 1942 | 1942 | 1943 | 1944 | 1945 | 1945 | 1945 | 1945 | 1945 | 1945 | 1945 | 1945 | 1945 | 1945 | 1945 | 1945 | 1945 | 1945 | 1945 | 1945 | 1945 | 1945 | 1945 | 1945 | 1945 | 1945 | 1945 | 1945 | 1945 | 1945 | 1945 | 1945 | 1945 | 1945 | 1945 | 1945 | 1945 | 1945 | 1945 | 1945 | 1945 | 1945 | 1945 | 1945 | 1945 | 1945 | 1945 | 1945 | 1945 | 1945 | 1945 | 1945 | 1945 | 1945 | 1945 | 1945 | 1945 | 1945 | 1945 | 1945 | 1945 | 1945 | 1945 | 1945 | 1945 | 1945 | 1945 | 1945 | 1945 | 1945 | 1945 | 1945 | 1945 | 1945 | 1945 | 1945 | 1945 | 1945 | 1945 | 1945 | 1945 | 1945 | 1945 | 1945 | 1945 | 1945 | 1945 | 1945 | 1945 | 1945 | 1945 | 1945 | 1945 | 1945 | 1945 | 1945 | 1945 | 1945 | 1945 | 1945 | 1945 | 1945 | 1945 | 1945 | 1945 | 1945 | 1945 | 1945 | 1945 | 1945 | 1945 | 1945 | 1945 | 1945 | 1945 | 1945 | 1945 | 1945 | 1945 | 1945 | 1945 | 1945 | 1945 | 1945 | 1945 | 1945 | 1945 | 1945 | 1945 | 1945 | 1945 | 1945 | 1945 | 1945 | 1945 | 1945 | 1945 | 1945 | 1945 | 1945 | 1945 | 1945 | 1945 | 1945 | 1945 | 1945 | 1945 | 1945 | 1945 | 1945 | 1945 | 1945 | 1945 | 1945 | 1945 | 1945 | 1945 | 1945 | 1945 | 1945 | 1945 | 1945 | 1945 | 1945 | 1945 | 1945 | 1945 | 1945 | 1945 | 1945 | 1945 | 1945 | 1945 | 1945 | 1945 | 1945 | 1945 | 1945 | 1945 | 1945 | 1945 | 1945 | 1945 | 1945 | 1945 | 1945 | 1945 | 1945 | 1945 | 1945 | 1945 | 1945 | 1945 | 1945 | 1945 | 1945 | 1945 | 1945 | 1945 | 1945 | 1945 | 1945 | 1945 | 1945 | 1945 | 1945 | 1945 | 1945 | 1945 | 1945 | 1945 | 1945 | 1945 | 1945 | 1945 | 1945 | 1945 | 1945 | 1945 | 1945 | 1945 | 1945 | 1945 | 1945 | 1945 | 1945 | 1945 | 1945 | 1945 | 1945 | 1945 | 1945 | 1945 | 1945 | 1945 | 1945 | 1945 | 1945 | 1945 | 1945 | 1945 | 1945 | 1945 | 1945 | 1945 | 1945 | 1945 | 1945 | 1945 | 1945 | 1945 | 1945 | 1945 | 1945 | 1945 | 1945 | 1945 | 1945 | 1945 | 1945 | 1945 | 1945 | 1945 | 1945 | 1945 | 1945 | 1945 | 1945 | 1945 | 1945 | 1945 | 1945 | 1945 | 1945 | 1945 | 1945 | 1945 | 1945 | 1945 | 1945 | 1945 | 1945 | 1945 | 1945 | 1945 | 1945 | 1945 | 1945 | 1945 | 1945 | 
                          Modell
                                                                1941
        wirkung, was die Erhöhung der Filmfestigkeit von Hineralolen be trifft. Die Reibungsanzeigen der einzelnen Modelle der Almen-Wieland-Oelprüfmeschine zeigen erhebliche Abweichungen; allerd dings scheint bei den Modellen 1937 und 1941 unterlessen worden zu sein, die Reibungsanzeige im Leerlauf der Prüfmaschine auf den Mullpunkt einzustellen. - Nachstehend sind für das Modell 1941 die Querschnitts-Reibungswerte für reine Mineralole (Versuchsgruppe 1), Fettöle und gefettete Mineralole (Versuchsgruppe 2), P-hältige Mineralole (Versuchsgruppe 4) und Cl-hälti-
```

```
Oel Bezeichnung
                                  Farbe d/20 nD/20 E/20 E/50
   Nr.
                                                                Wp
   18t Oel Nr.18+3%chlor.E-Wachs+
         6%C4C16+2%C2H2C12+0,5%Tri-
         kresylphosphat
   18u Oel Nr.18+ die Halfte der Zu-
         sätze vie b.18t
   42a 4,5E/50 mit+ je 1% Faktis, Pa-
         raflow, Cl-Naphtalin u. Tri-
                  kresylphosphat
  47a Solar-Red + je 1% Fektis, Pa-
         raflow, Cl-Napht.u.Trckresyl-
                           phosphat
  47b Solar Red + je o,5% des Zu-
sätze wie b.42a u.47a
  48a 5,3E/20 + 3%Faktis+3%C4Cl6+
         2%C2H2Cl2
  48b 5,3E/20 +3%Fakt1s+3%04Clb+
         2%C2H2Cl2+1%Tr1kresylph.
    6. Versuchsgruppe: Tabelle, Werte der Reibungskraft R(kg)
  Oel
                    Belastung, Anzahl der Plattengewichte
      1 . 2 . 5
Modell 1936
  Nr.
                       . 5 . 6 . 7 . 8 . 9 . 10. 12. 14. 16. 18.
  44
                         42
                              48
                                  68
                                         125 136 170
                                       93
  45
             1
                     12
                         21
                             24
                                  41
                                       48
                                           63
                                               84 109
  45a
        0
                     16
                         28
                             33
                                  45
                                       54
                                           61
                                               80 103 220
  45d
           12
                15
                     18
                                      57
45
                         28
                                  50
                                           73
                                               88
                                                  107
 46
             2
                 4
                      5
                         26
                                  42
                                           70
                                               77
                                                    98 128 166
 46a
                 5
        0
             2
                     9
                         23
                             36
                                  55
                                      61
                                           76
                                               91 126 144 168 190
 46b
        0
             2
                     8
                             31
                                  43
                                      52
                                           64
                                                   84 102 125 142
      Modell 1841
                                               68
 17d
           13
                    35
55
50
                24
                             OO.
                                  72
                                      84
                                          96 107
                                                  130
                                                      150 171 190 211+
 17e
           28
                42
                         70
                                  94 105 116
                             83
                                                  145
                                             122
                                                      164
                                                           181 201 240+
 171
       12
           25
                         63
                             75
                                 81
                                      82
                                               98 119 157
                                          _90
 18k
       10
           25
                                                           153
               39
                                                               168 182+
                         68
                             81
                                    102 109 118 138 158 172
                                 92
 181
                                                               186 196+
           19
               33
                    45
                         56
                             70
                                 81
                                         102 115
                                      91
                                                 141 168 207
 18m
                                                               238
               30
                    44
                         56
                             69
                                 18
                                     91 101 111
                                                  155
                                                      158 185 206 212+
 18p
               29
                   40
                             66
                                 79
                                     90 101 111
                                                  152
                                                      151 172
 180
           15
               30
                                                               200 250-
                    42
                        55
                             04
                                 75
                                     85
                                          92 100 116
 18p
                                                      130 144
       6
           20
                                                                   105+
                    48
                        61
                             74
                                 66
                                     98 110 123 155
                                                      193
 18q
       6
                                                           217
                                                               220 220+
           15
               28
                    42
                        54
                             67
                                 23
                                     95 106 118 140 159
 18r
       3
                                                          183
                                                               218 255+
           15
                    46
                        60
                             73
                                     98 110 121 145 170 202
                                 86
18s
       6
                                                               225
           19
                    46
                             71
                                                                   240+
                        59
                                     94 105 116 159 162 197
                                 83
18t
       5
          15
               29
                                 75
                                                               226 257+
                   41
                            65
                                     83
                                            101 119 133 150 166 178+
                                          93
18u
       Ź
          14
               20
                   39
                        50
                            63
                                     85
                                             101 118 132 149 173
                                          93
          25
7
42a
       9
               38
                   51
                            73
                        63
                                 86
                                     90 103
                                             113 129 140 154 174 200+
47a
               12
                   ĠŠ
                        41
                            51
                                 61
                                     72
                                              92 112 130 144 163 183+
                                         82
47b
       4
                   25
               14
                        35
                            44
                                 52
                                             83- 93 113 135 161 177+
                                     62
                                         73
48a
       6
          18
               31
                        56
                                     91 101 111 151 146 161 174 189+
                            68
                                80
48b
       6
          19
               34
                       62
                                88 101 113 126 151 177 216
                            75
    Modell 1937
          24
                       59
61
              36
                   47
                            64
                                82
                                     89 105 125
     11
          22
              33
                   48
                           67 85
                                    90 98 120 154 161 183 198
    Anm. Belastungssteigerung nach je 30 Sekunden
Erkenntnisse aus Versuchsgruppe 6. Bei 0el Nr. 45 und 46 ergibt
 sich bei den Modellen 1936 und 1937 der Almen-Wieland-Gelprüf-
 maschine wohl Uebereinstimmung hinsichtlich der Film-Belast-
 barkeit, nicht aber bezüglich der Reibungsanzeige. - Die Aceton-
```

```
- 9 -
```

```
behendlung hei derart aktivierten Oelen wirkt nicht selektiv,
        denn die sog. "Hochdruckzusätze" verteilen sich auf Lösemittel-
        Raffinat und -Extrakt nohezu gleicherweise. - Die Almen-Wie-
        land-Oelprüfmaschine, Modell 1941, liefert relativ gut repro-
        duzierbare Werte. Littelt man die Ergebnisse in dieser Ver-
        auchagruppe mit Modell 1941, wobei es sich vorwiegend um chlor-
        rierte, fellweise auch P-hültige, jedenfalls aber fettfreie Oel-
        verschnitte handelt, und vergleicht sie mit den querachnitten
von R für Cl-hältige Oele, vgl. Seite 7, so ergibt sich gute
       ..... Belastung P, Anzahl der Plattengewichte ...
  Oele
  CI+P
      Hier sind einige Verbundöle verschiedenartigster Zusammensetz-
       ung beschrieben, die nicht Anspruch erheben wollen, durchaus
       "Hochdruckschmiermittel"zu sein.
      Die Kennzahlen der Oele sind:
 Oel -Bezeichnung
                                 Fe rbed/20 nD/20 E/20 E/50 Wp
 Nr.
 49 Vacuum-Stosadampferol
 498
                                                         1,6
                 " ,graphitiert 10
                                                    3,6
 50 K-15 mit Al-stearat-
                                                    3,6
                                                         1,6
                                        .916
                                   10
 51a 3E/50 raff.+3%Oppenol
                                                   465
                                                        47,0 2.12
                                                                  3.36
 51b
            *
                +2%Gummi-Crepe
 51e
            **
                +3%Kolophondum
 51a
51e
       41
            **
                +1%Butylrizinolat
                +3%
            " +3%Schmelzfaktis
 512
 51g
                +5%
 510
       #
            .
                ohne Zusatz
                                       . 903
 5a Oel Nr.5 + 1%Dibutylphtalat
                                                  16,6
                                                        3,4 1.88 5.75
                                       .867 1.481 10,5
  5b
             +o,5%Dibutylphtelet+
                                                        3,0 1.61 3.61
                                       867 1.481 10,5
            o, 5%Trikresylphosphat
+ 3% Dibutylphtslat
                                                         j, 0 1.61
18v Cel Ar. 18+3%Montanwachs, roh
                                      .890
18w
           +3% ", Eetleicht. 880
+3% ", doppelt " 890
                                                  6,8
                                                        2,5
                                                                 j.40
18x
       £
                                                        2,5
2,5
                                                   o, a
                       ,doppelt " .890
                                                                 j.40
18y
       63
                                                   6,8
            +5% Paraflow
17g Oel Nr.17 + 1%Paraflow
17h " + 5% "
171 * + 5% Benzaldehyd
                                                                 3.40
   7. Versuchsgruppe, Tabelle: Werte der Reibungskreft R(kg)
Oel ..... Belsstung, Anzahl der Plattengewichte
    1.2.3.4.5.6.7.8.9.10.12.14.16.18.20
  Modell 1936
49 3
49a 2
         3
             T_1
                 19
                     26
                         36
                             65
             . 9
                 17
                         37
52
                     26.
                              50·
                                 72 86
      5 12 18
                 32
                     46
                             60
                                  68
```

```
Belestung, Anzahl der Plattengewichte ... 4 . 5 . 6 . 7 . 8 . 9 . 10. 12. 14. 16.
                                                                      1 1936
12 2
                                    . 1
Modell
                                                                                                                                                                                                                                                                                                                                                                18.
                3459551
                                                                              2 24
20 4 27
33 40
27
23 40
23 27
23 27
23 21
1 1941
                                                                                                                    3345000835330
43535330
                                                                                                                                                                                             77
82
64
82
                                                                                                                                             53
45
45
64
57
55
                                                                                                                                                                                                             83 103 106 140
84 104 - -
120 - - -
                                                                                                                                                                   557
577
70968
7066
65649
                                                                        14
17
22
                                                                       13
                                                                                                                                                                                                                    90
                                                                                                                                                                                                                                                          120
118
                                                                                                                                                                                                                                    102
                                                                                                                                                                                                                                                                                   144
                                                                                                                                                                                                                   95
                                                                                                                                                                                            83
                                                                      24
12
                                                10
                                                                                                                                                                                                                                                                                  161
                                        4
2
3
Model
                                                                                                                                                                                           75
69
59
                                                                                                                                              48
                                                                      10
                                                                                                                                             44
40
                                                                                                                                                                                                                  84
66
                                                                                                                                                                                                                                                                110 127 147
84 102 128
                                                                                                                                                                                                                                                          110
                                                                     20
15
                                                   8
                                                                                                                 334
355
365
554
                                                                                                                                         45
42
51
70
85
                                                                                                                                                                56
56
56
65
81
70
                                                                                                                                                                                         60
69
                                                                                                                                                                                                                  68
74
                                                                                                                                                                                                                                        76
80
                                                                                                                                                                                                                                                               84
86
                                                                                                                                                                                                                                                                              98
102
                                                                                                                                                                                                                                                                                                      116
126
111
                18w
                 18x
                                                                   18
                                                                                           25
29
                                                                                                                                                                                       79
90
88
                                                                                                                                                                                                                                        76
~
            18y
17g
17h
171
                                           11
13
12
13
                                                                                                                                                                                                                                                              83
                                                                                                                                                                                                                                                                                      96
                                                                                                                                                                                                                89
                                                                                                                                                                                                                                                                                                   155
147
160
                                                                  26
26
                                                                                                                                                                                                                                                     107 129
102 122
110 133
                                                                                                                                                                                                               92
95
91
                                                                                                                                                                                                                                        98
                                                                                                                                                                                                                             97
100
                                                                   26
                                                                                                                                                                                        82
                                     Anm. Beles tungse teigerung
                                                                                                                                                                                     nach je
                              In dieser Versuchsgruppe werden einige handelsübliche Hoch-
drucköle, Getriebeöle, Schneidöle u. ähnliches dargestellt.
                             Die Kennzahlen der Oele sind:
            Cel
                                                   Art
                                                                                                                                 Marke
                                                                                                                                                                                      Farte d/20 nD/20 E/20 E/50
        Nr.
55345678
                                                                      Motenol(1938)VZ7 10

Hamig(1938)VZ 6 10

Dentoline K(1938)VZ 5 10

Dentol extra(1937)
Vac.Mobil-Comp.3(HD)
S&M 15(ohne Trikresylph)
VZ 9

S&M 15(mit Trikr.)VZ 2
                                 Getriebeöl handelsüblich
Motanol(1938)
                                                                                                                                                                                                                           .950
.910
.915
.941
                                                                                                                                                                                                                                                       1.523
1.505
1.510
1.518
                                                                                                                                                                                                                                                                                                                                                   2.16
2.13
1.92
3.50
1.88
1.98
                                                                                                                                                                                                                                                                                                                       36,0
28,8
25,2
60,0
15,1
16,1
                                                                                                                                                                                                                                                                                           340
250
186
                                                                                                                                                                                                                                                                                                                                                                                  3.42
3.44
3.31
3.96
3.38
3.43
                                                                                                                                                                                                                                                                                            -
95
110
                                                                                                                                                                                                                             .935
                   Sem 17(onne Trikresylph)
VZ 9

S&M 15(mit Trikr.) VZ 7

S&M 25(onne * )VZ 8,5

Toppedoöl HD (VZ_1,7)

Firstoline(VZ 3,9)

Firstoline(VZ 2,4)

Schneidöl G&S (VZ 1,9)

S&M 42-A (VZ 8)

S&M 44-A (VZ 34,5)

S&M 44-B (VZ 18)

S&M 44-E (VZ 18)

S&M 44-extre(VZ 23)

S&M 40-O2(VZ 13)

Houghten HD 4E/50 NZ 0,

* 6 (NZ 1,4)

* 6 (NZ 1,5)

T8 (NZ 0,2)

Schneidöl (Detimal Pate
                                                                                                                                                                                                                                                     1.519
1.519
1.519
1.507
        58a
59
                                                                                                                                                                                                                                                                                                                                            22.84
55565555251
22.6556
20.655
10.6556
11.807
20.655
11.807
20.655
20.655
20.655
20.655
20.655
20.655
20.655
20.655
20.655
20.655
20.655
20.655
20.655
20.655
20.655
20.655
20.655
20.655
20.655
20.655
20.655
20.655
20.655
20.655
20.655
20.655
20.655
20.655
20.655
20.655
20.655
20.655
20.655
20.655
20.655
20.655
20.655
20.655
20.655
20.655
20.655
20.655
20.655
20.655
20.655
20.655
20.655
20.655
20.655
20.655
20.655
20.655
20.655
20.655
20.655
20.655
20.655
20.655
20.655
20.655
20.655
20.655
20.655
20.655
20.655
20.655
20.655
20.655
20.655
20.655
20.655
20.655
20.655
20.655
20.655
20.655
20.655
20.655
20.655
20.655
20.655
20.655
20.655
20.655
20.655
20.655
20.655
20.655
20.655
20.655
20.655
20.655
20.655
20.655
20.655
20.655
20.655
20.655
20.655
20.655
20.655
20.655
20.655
20.655
20.655
20.655
20.655
20.655
20.655
20.655
20.655
20.655
20.655
20.655
20.655
20.655
20.655
20.655
20.655
20.655
20.655
20.655
20.655
20.655
20.655
20.655
20.655
20.655
20.655
20.655
20.655
20.655
20.655
20.655
20.655
20.655
20.655
20.655
20.655
20.655
20.655
20.655
20.655
20.655
20.655
20.655
20.655
20.655
20.655
20.655
20.655
20.655
20.655
20.655
20.655
20.655
20.655
20.655
20.655
20.655
20.655
20.655
20.655
20.655
20.655
20.655
20.655
20.655
20.655
20.655
20.655
20.655
20.655
20.655
20.655
20.655
20.655
20.655
20.655
20.655
20.655
20.655
20.655
20.655
20.655
20.655
20.655
20.655
20.655
20.655
20.655
20.655
20.655
20.655
20.655
20.655
20.655
20.655
20.655
20.655
20.655
20.655
20.655
20.655
20.655
20.655
20.655
20.655
20.655
20.655
20.655
20.655
20.655
20.655
20.655
20.655
20.655
20.655
20.655
20.655
20.655
20.655
20.655
20.655
20.655
20.655
20.655
20.655
20.655
20.655
20.655
20.655
20.655
20.655
20.655
20.655
20.655
20.655
20.655
20.655
20.655
20.655
20.655
20.655
20.655
20.655
20.655
20.655
20.655
20.655
20.655
20.655
20.655
20.655
20.655
20.655
20.655
20.655
20.655
20.655
20.655
20.655
20.655
20.655
20.655
20.655
20.655
20.655
20.655
20.655
20.655
20.655
20.655
20.655
20.655
20.655
20.655
20.655
20.655
20.655
20.655
20.655
20.655
20.
                                                                                                                                                                                                                                                                                          280
                                                                                                                                                                                                                                                                                                                       2665555922327264608
                                                                                                                                                                                                                                                                                                                                                                                             80
                                                                                                                                                                                                                                                                                         280
376
126
22
                                                                                                                                                                                                                                                                                                                                                                           35.80
35.80
35.77
4.06
4.06
55.96
55.72
4.19
                                                                                                                                                                                                                         .910
.870
.898
      61
62
      63 Schreidöl
                                                                                                                                                                                                                                                                                          557,502
15,502
15,502
16,000
18,000
                                                                                                                                                                                                                                                   1.511
1.497
1.498
1.501
1.497
    65
                                                                                                                                                                                                                                    _
                                                                                                                                                                                                                                  -
-
    67
68
  69
70
71
72
                                                                                                                                                                                                                                                            .503
-
                                                                                                                                                                                                           0,4,955
.937
.945
                                                                                                                                                                                                                       . 904
73 Schneidöl Optimol Beta
74 Gasolin K(1940)
75 K(1943)
76 K-25
                                                                                                                                                                                                                                                                                                                    2,3
2,1
2,1
                                                                                                                                                                                                                        898
                                                                                                                                                                                                                                                                                               7,0
                                                                                                                                                                                                                                                                                                                                                                            3.80
                                                                                                                                                                                                                    .875
                                                                                                                                                                                                                                                                                                                                                                            3.90
                                                                                                                                                                                                                                                                                              6, 0
```

```
Oel
                                                                      Art
                       Nr. 77 78 79 80
                                                                                                                                                                         Marke
                                                                                                                                                                                                                                             Ferbe d/20 nD/20 E/20 E/50
                                             Schneidol Wisure AK 1526
AK 1526M
Shell MB 22
                                                                                                                                                                                                                                                        8
                                                                                                                                                                                                                                                                                                                                                                 15,2
19,2
30,0
10,0
                                                                                                                                                                                                                                                                                                                                                                                                            3,5
4,1
5,5
3,8
                                                                                                                                                                                                                                                                                                                                                                                                                                       220
2.10
2.20
1.90
                                                                                                                                                                                                                                                                                                                                                                                                                                                                          3.90
3.80
3.80
3.70
                                                                                                                                                                                                                                                       8
                                                                                                                                                                                                                                                                                    .912
.928
                                                                                                                      Shell LB 22 8
Vacuum Sultren AX 7
                                         Schleiföl Shell MC 1
Shell 1254
                      81
82
                                                                                                                                                                                                                                                                                     .904
                                            .908
                                                                                                                                                                                                                                                                                                                                                                10,0
                                                                                                                                                                                                                                                                                                                                                                                                             2,5
                                                                                                                                                                                                                                                                                                                                                                                                                                        2.80
                                                                                                                                                                                                                                                                             er Plattengewichte
. 9. 10. 12. 14. 10. 1
                     Sel
                                                                                                                                                                                                                                                               der
8
    2345678890123456789012
                                                                                                                                                                                                                                                               80
80
                                275382552956355846461
17657758
                                                                                                                             324
354
3551
353
353
357
288
4182
                                                                                                                                                                                                                                                   75
151
                                                                                                                                                                                                                                                                                                                     82
                                                                                                                                                             45570
- 448454409
- 448454409
- 448454409
- 448454409
- 448454409
- 448454409
- 448454409
- 448454409
- 448454409
- 448454409
- 448454409
- 448454409
- 448454409
- 448454409
- 448454409
- 448454409
- 448454409
- 448454409
- 448454409
- 448454409
- 448454409
- 448454409
- 448454409
- 448454409
- 448454409
- 448454409
- 448454409
- 448454409
- 448454409
- 448454409
- 448454409
- 44845409
- 44845409
- 44845409
- 44845409
- 44845409
- 44845409
- 44845409
- 44845409
- 44845409
- 44845409
- 44845409
- 44845409
- 44845409
- 44845409
- 44845409
- 44845409
- 44845409
- 44845409
- 44845409
- 44845409
- 44845409
- 44845409
- 44845409
- 44845409
- 44845409
- 44845409
- 44845409
- 44845409
- 44845409
- 44845409
- 44845409
- 44845409
- 44845409
- 44845409
- 44845409
- 44845409
- 44845409
- 44845409
- 44845409
- 44845409
- 44845409
- 44845409
- 44845409
- 44845409
- 44845409
- 44845409
- 44845409
- 44845409
- 44845409
- 44845409
- 44845409
- 44845409
- 44845409
- 44845409
- 44845409
- 44845409
- 44845409
- 44845409
- 44845409
- 44845409
- 44845409
- 44845409
- 44845409
- 44845409
- 44845409
- 44845409
- 44845409
- 44845409
- 44845409
- 44845409
- 44845409
- 44845409
- 44845409
- 44845409
- 44845409
- 44845409
- 44845409
- 44845409
- 44845409
- 44845409
- 44845409
- 44845409
- 44845409
- 44845409
- 44845409
- 44845409
- 44845409
- 44845409
- 44845409
- 44845409
- 44845409
- 44845409
- 44845409
- 44845409
- 44845409
- 44845409
- 44845409
- 44845409
- 44845409
- 44845409
- 44845409
- 44845409
- 44845409
- 44845409
- 44845409
- 44845409
- 44845409
- 44845409
- 44845409
- 44845409
- 44845409
- 44845409
- 44845409
- 44845409
- 44845409
- 44845409
- 44845409
- 44845409
- 44845409
- 44845409
- 44845409
- 44845409
- 44845409
- 44845409
- 44845409
- 44845409
- 44845409
- 44845409
- 44845409
- 44845409
- 44845409
- 44845409
- 44845409
- 44845409
- 44845409
- 44845409
- 44845409
- 44845409
- 44845409
- 44845409
- 44845409
- 44845409
- 44845409
- 44845409
- 44845409
- 44845409
- 44845409
- 44845409
- 44845409
- 44845409
- 44845409
- 44845
                                                                                                                                                                                        7648 605051553 5
                                                                                                                                                                                                                    166
25
-
                                                                                                                                                                                                                                                                                 100
                                                                      10
12
12
12
12
8
8
7
20
13
15
15
                                                                                         85
99
- 82
91
- 73
99
- -
                                                                                                                                                                                                                                                                                                                                       107
                                                                                                                                                                                                                                                                                                         301
                                                                                                                                                                                                                                                                                                                                                                                              181
                                                                                                                                                                                                                                                                                                       88
110
                                                                                                                                                                                                                                                                                                                                     130
                                                                                                                                                                                                                                                                                                             -
-
-
                                                                                                                                                                                                                                                   87
                                                                11
19
20
15
13
18
15
18
22
16
                                                                                                                                                                                                                                                                                                   105
73
74
75
76
77
78
79
80
                                                                                                                                                                                                                                                                  85 94
101 116
78 89
96 109
85 94
88 112
89 98
86 96
90 98
90 105
                                                                                                                                                                                                                                                                                                                                                 122 121
161 —
145 100
162 195
135 159
144 146
147 —
147 200
135 155
                                                                                                                         48
53
43
48
47
54
46
49
                                                                                                                                                                                  56655661658
                                                                                                                                                                                                              66
78
56
66
66
76
76
78
                                                                                                                                                                                                                                           76
89
68
83
75
78
80
78
                                                                                                                                                                                                                                                                                                                      103
189
113
135
112
133
108
127
117
                                                                                                                                                                                                                                                                                                                                                                                                                 200
222
202
                                                                                                                                                                                                                                                                                                                                                                                                                                                  179
                                                                                             28
26
27
26
                                                                                                                                                                                                                                                                                                                                                                                                                                               250
220
                                                                                                                                                                                                                                                                                                                                                                                                                                                162
                                                                                             34
26
                                                                                                                                                                                                                                                                        90
                                                              Belestungssteigerung nach je
                                                                                                                                                                                                                                                                                            105
                                                                                                                                                                                                                                                                             30 Sekunden.
```

In dieser Versuchsgruppe kamen künstlich und natürlich gealterte Oele zur Untersuchung. Bei den Oelen 85-86 handelt es sich um Produkte der Ruhrchemie-Synthese (Figher-Tropsch), die jeweils in einer 100 ccm Probe mit stündlich 25-lit. Luftdurchdex "o" bezeichneten Oele sind die Ausgangsmaterialien). Bei den Oelen 87-90 handelt es sich um die Aceton-Extrakte von angenommen wurde, dass sich dieselben nach zweijähriger Standzeit von Fremdkörpergeschwebe weitgehend geläutert haben. Wo

```
diese Altöle trotzdem noch zu dunkel erschienen, wurden sie vor Extraktion mit Aceton noch einer leichten Bleicherde-Behand lung(B)unterworfen. Das Frischöl der Froben nr. 87-90 war Motenol S mit d/20 o.915, nD/20 1.510, 12, 0E/50, Wp 2.40, m 5.72. Oel Nr. 87, ist Altöl aus einem Kfz, welches mit Methan als Kraftches mit Braunkohlen-Dieselkraftstoff betrieben wurde, Oel Nr. 88 stammt aus einem mit Methanol gefahrenen Kfz und Oel Ar. 900 aus einem Kfz mit Flüssiggasbetriet. Die Fussnoten "R" bezw. Ew hei den Oelen Nr. 87-90 bedeuten: Aceton-Extrakt eines mit Tri-Schlieselich ist Oel Nr. 91E der Aceton-Extrakt eines mit Tri-Kresylphosphat aktivierten Aitrobenzol-Raffinstes (Frischöl: Farbe 7, d/20 o.881, nD/20 1.489, 35E/20 = 6,6E/50, Wp 1.83, m 5.52), welches sich näch kirzem Prüfstandlauf in einem Faun-Ottomotor kaum wesentlich verändert hatte (Altöl: 910). - Oel Nr. 92 ist ein Brightstock, Nr. 92R das Aceton-Raffinst, Nr. 92E Die Kennzahlen der Oele Find: Bezeichnung Farbe d/20 nD/20 E/20 E/50 Wp m NZ VZ
                           (AP 114)(Fp222) 3,4
(AP 90) 5,5
(AP 124)(Fp244) 3,8
(AP 95) 6,5
(AP 132)(Fp250) 3,0
(AP 108) 6,0
                                                                                                           .852
.856
.862
.860
.880
                                                                                                                                                                                5,6 1.92
10,9 2.14
12,0 1.83
26,0 2.20
17,4 1.85
26,8 2.12
5,7 1.83
7,2 1.97
                                                                                                                                                                                                                          5.62
5.61
3.38
                                                                                                                                  1.479
                                                                                                                                                                 71
71
                                                                                                                                                                                                                                                                     14,0
                                                                                                                                 1.481
1.478
1.481
1.475
                                                                                                                                                           221
                                                                                                                                                                                                                         5.49
5.32
5.42
5.59
                                                                                           3,0 .860
6,0 .880
3,5 .851
8,3 .864
                                                                                                                                                                                                                                                                      11,5
                                                                                                                                                           113
244
                                                                                                                                                                                                                                                                          4,0
                           (AP 101)
                                                                                                                                                               27
                                                                                                                                 1.478
87° (AP 94,FP 224)
87° (AP 102)
87° (AP 40)
88° (AP 92)
88° (AP 92)
88° -23% (AP 56)
89° (AP 94)
89° -78,5% (AP 103)
89° -22,5% (AP 60)
                                                                                                                                                                                                                                                                         7,8
                                                                                                        .919 1.515
.914 1.512
.917 1.544
.911 1.500
.900 1.500
.942 1.552
.913 1.508
.905 1.501
.945 1.550
.912 1.508
.904 1.508
                                                                                            10
                                                                                                                                                          150
141
                                                                                                                                                                                                  2.24
2.10
3.65
2.02
1.86
                                                                                                                                                                                19,0
                                                                                                                                                                                                                        3.57
3.49
4.11
3.52
                                                                                          10
                                                                                                                                                                                                                                                                         2,5
                                                                                                                                                                               19,0
18,5
11,6
                                                                                                                                                          206
72
95
                                                                                        10 .977
7,8 .911
8,2 .900
7,0 .942
8,1 .913
8,9 .903
8,6 .943
8,2 .912
8,7 .904
7,1 .942
                                                                                                                                                                            11,6 2.02
15,0 1.86
6,7 5.48
12,7 2.11
15,5 1.94
8,0 5.06
12,8 2.10
14,5 1.93
7,9 2.85
                                                                                                                                                                                                                                                                           0 -
                                                                                                                                                                                                                        3.36
                                                                                                                                                              48
                                                                                                                                                              86
                                                                                                                                                                                                                       3.56
3.41
                                                                                                                                                                                                                                                                       0,4
                                                                                                                                                        103
                                                                                                                                                                                                                                                                      0,02
                                                                                                                                                                                                                       4.04
                                                                                                                                                             84
                                                                                                                                                                                                                       5.56
5.42
3.98
                                                                                                                                                                                                                                                                      0,31
                                                                                                                                                             96
                                                                                                                              1.528
91c m.Trikresylph.
91R -7% von 91c
91E -28% von 91c
                                                                                                                                                                                                                                                                      0,82
                                                                                        10 .885 1.491
10 .877 1.486
8,5 .917 1.511
                                                                                                                                                                                 7,4
9,1
4,6
                                                                                                                                                                                                      .85
.78
.57
                                                                                                                                                                                                                     3.50
3.41
3.87
                                                                                                                                                                                                                                                                     2,00
                                                                                                                                                                                                                                                                    0,51
3,35
                                                                                                       -906 1.507 555
.902 1.500 485
.948 1.526 740
92R -84% von 92
92E -16% von 92
                                                                                                                                                                            45,0 2.82
44,0 2.44
48,0 3.40
              SO2-Extr.v.Spindelöll.005 1.569
                                                                                                                                                       14
                                                                                                                                                                               2,7 6,00.4,66
                   9. Versuchsgruppe, Tabelle: Werte der Reibungskraft

1. 2. 5. 4. 5. 6. 7. 8. 9. 10. 12. 14.
                                                                                                                                                                     Reibungskraft R(kg), Modell36
                    44
                                                                                                                                               9 . 10. 12. 14. 16. 18. 20
                                                                                                                               . е
                                                                                                      68
68
                                                                    43
41
42
45
31
                                  13
19
19
                                                   32
31
36
25
                                                                                     55
51
56
                                                                                                                      81
75
83
65
                                                                                                      62
64
53
                                                                                                                                        87
```

Nr.

83° 83°

80°B 8

90R

90E

92

93

0el

Nr. 830 83

```
Oel
                 Ñr.
                                                                  20
87<u>E</u>
          10
              27
                   42
                       51
                               75
                                    82
88<u>E</u>
                                        92 106 128
          18
              32
22
89<sub>E</sub>
         8
                       5ن
90<u>E</u>
              30
91_{
m E}
      2
         12
              22
                      59
                           49
                               59
                                   تعن
                                        75
                                                 99 118 135
                                            84
92E
      2
         10
             19
                  27
                      څذ
                           úΙ
         11
             17
                  22
                      52
                           52
       Anm. Belastungsateigerungen nach je 30 Sekunden.
```

Erkenntnisse aus Versuchsgruppe 9: Die Filmbelastbarkeit der Syntheseöle Ruhrchemie ist, wie nicht anders zu erwarten war, entsprechend anderen Kohlenwasserstoffelen, gering. Bei künstlicher Alterung versäuern sie erfahrungsgemäss, wodurch sie gleichzeitig sktiviert werden, was auch die vorstehenden Versuche mit der Albenne-Wieland-Maschine bestätigen. - Die Aceton-Extrakte natürlichbenseruchter Oele aus Kraftfahrzeugen enthalten erwartungsgemäss ebestätigt wird. In den Fällen 88E-90E hat offensichtlich die Bleicherdebehandlung der abgeklärten Altöle diese wirksamen Substanzen entfernt. - Im Extrakt des Oeles Nr. 91 ist natürlich noch das Trikresylphosphat wirksam. - Der Aceton-Extrakt des Brightdieser Brightstock schliesslich nur das Rückstandel der Vacuumstocks Mr. 92(Atlantic Ref. "Cero") ist am an aktiver Substanz, da dieser Brightstock schliesslich nur das Rückstandol der Vacuum-Destillation eines lösemittel-raffinierten Rohölschnittes darstellen Der Edeleanu-Spindelöl-Extrakt Mr. 95 ist merklich grenzflüchenwirksemer als Mineralöl-Raffinat der gleichen Zänflüssigkeits-

In dieser Versuchsgruppe werden die Grundtypen von Schmierfetten beobachtet und duer ist:
Ar. 34 ein Ca-seifenschmierfett auf Basis Tranfettsäure (Doplo-

ein Ca-seifenschwierfett auf Eusis Tulgfettshure (Epple-Nr. 95 Nr. 95 ein Ca-seifenachmiertett auf Eusia Talgfettaure (Epp. Stuttgert, 1957),
Nr. 96 ein Am-seifenachmierfett, faserig, (G&S 1958),
Nr. 97 ein Metallseifenachmierfett transp. (Shell 6255),
Nr. 98 ein graphitiertes Ca-seifenachmierfett (S&M 1958) und
Nr. 99 Wkeenall Wc 200 ein engl Pahribet sine Dispersion was

Fett 94 2¢ 95 96 97 98

Anm. Belestungssteigerungen nach je 30 Sekunden.
Erkenntnisse aus Versuchsgruppe 10: Es ist fürs erste überreschend, dass die Schwierfette so deutliche Effekte zeigen, dies umso mehr, als zu befürchten ständ, dess sie zufolge ihrer Konsistenz nicht genügend zwischen die Gleitflächen der Prüflager gelangen

a

würden. Zwischen den einzelnen Schmierfetten erLeben sich würden. Zwischen den einzelnen Schmierfetten ergeben sich keine bemerkenswerten Unterschiede. Zinkweiss dient in Steufferfetten (Ca-seifenfetten) vielfach als Beschwerungsmittel, sein Schmierwert erscheint zweifelheit, wesn auch in England saxion\* d.h. die Schmierung mit holouden zuon die Keenolinen zum geflügelten Begriff wurde. Auffallend hingegen ist sondere auf die sehr starke Absenkung der Reibungsanzeige.

Rockwellharte B
Zap- La- Diffefen ger renz
68 - 58 = 10
78 - 58 = 20
79 - 65 = 14
81 - 61 = 20
78 - 67 = 9
75 - 62 = 15
76 - 67 = 9
77 - 62 = 15
80 - 61 = 19
74 - 64 = 10
85 - 58 = 15
69 - 61 = 8 Ver- Zu-such satz .Lag. • 3 • 38 • 28 • 23 Nr. 100 %Tkp 0 55 0 55 0 0 5 0 34 36 40-64255644 6425664 103 103 104 = 20 = 10 = 21 = 19 = 7 = 15 = 19 = 15 = 24 = 15 = 8 757784 7559 234,50050 113 114 115 116 79 77 79 76 59 64 60 - - - - -12 17 18 14 25 27 30 25 0,5% 1,5% 2,0 59 70 67 72 64 54 58 52 60 65 59 84 100 104 110+ 80

Erkenntnisse aus Versuchsgruppe II: Die Harteunterschiede (Rockwell B)zwischen Zapfen und Lager schwecken in erhellichen Grenzen; trotzdem ist ein spezifischer Einfluss auf die R-Werte nicht erkennbar. Im allgemeinen ergibt sich soger, unsbhängig von der Höhe des Zusatzes an Trikresylphosphat, eine gute Uebereinstimmung der Werte für die Reibungskraft, denn des mittel der Reibungskraft R beträgt bei

Hier werden Zohlenwerte zu Vergleich gestellt, die P. Hildebrand mit einer Almen-Wieland-Maschine, Modell 1937, erhielt, und über welche auszugsweise von ihm auch Terichtet wurde (vgl. Gelorgan 1943, Nr. 5/6). Soweit sich zu diesen Ergebnissen in den eigenen Arbeiten Parallelen finden, sind sie in der nachstehenden Tabelle dargestellt. Die Abkürzungen zur Kenazeichnung der Maschinen-Modelle bedeuten: H-1937 = Hildebrand mit Modell 1937, K-1936 Kadmer mit Modell 1930 und 1-1941 = Luere mit Modell 1941.

```
Modell Oel, Bezeichnung
                                                                                             Releatung, Flattengewichte ... 6. 20
                                                                            ..4 . 6
    H-1957 R@bol, NZ 5,8
L-1941 R@bol(vgl.kr.22)...
                                                                        17
17
                                                                                           56
50
                                                                                                                        95 96 118 119 157+
92 102 112 122 155+
                                                                                                     64
   H-1957 Rizinusöl
H-1957 Rizinusöl+10%Olein
                                                                                                               70
74
                                                                                                                        94 102 125 125 150+
 H-1937 SpindelSI 5-0/20+
0,5%S gelöst ... 20
H-1937 Sp. 51+8%Faktis ... 14
H-1937 Sp. 51+5%Faktis ... 22
H-1937 Sp. 51+5%Faktis ... 22
(Sulfluid) ... 22
-dess.n.4 Tagen
Standzelt ... 22
   H-1937 SpindelS1 5-0/20+
                                                                                          77 84 - 52 101 120 144 170 150 156 211+ 68 91 112 124 145 177 215 +
                                                                                 42
                                                                                45
44
                                                                                41
                                                                                                    90 130
                                                                                         67
                                                                                48
                                                                                         80
 H-1957 Sp. 51+5%Trikreeylpn. 18
K-1950 Gel Ar. 48 17
L-1941 Gel Ar. 186 19
K-1956 Gel Mr. 39
                                                                               43
38
39
29
                                                                                         65
55
59
                                                                                                         104 128 175 180 203 215+
                                                                                                         126
                                                                                                                   154
                                                                                                                            120 135 151
120 135 150
                                                                                                                   104
97
H-1937 Sp.51, gechlort ... 20 52 95 84 105 130 13
H-1937 Sp.51, gechlort ... 20 49 05 85 105 150 18
K-1930 Sp.51, chloriert ... 4 19 39 50 55 00 8
K-1936 Sp.51, chloriert ... 1 9 28 50 07 84 10
Anm. Belestungasteiterung nach je 50 Sekunden.
                                                                                               84 105 130 136
85 105 150 183
50 55 60 85
50 67 84 105
                                                                                                                 150 156 152 175
150 185 215 +
60 85 92 +
84 105 122 165
```

```
In dieser Versuchsgruppe
gehalten und die Prüflager entweder bezüglich Bearbeitung oder
Material geündert, um deren Einfluss auf Reibung und Verschleiss
deutlich zu machen. - Versuchsdurchfderung mit Medel
             material geundert, um deren Eintluss auf heitung und verschleiss deutlich zu machen. - Versuchsdurchführung mit Modell 1936.

a )Einheitlich gewähltes Schmiersl war hier ein Nitrobenzol-
Roffinet (Atlantic Ref. Cie) mit 1% Trikresylphosphat. d/20 0,884,

WD 20 1.494, Antlinpkt 113°C, Visk. 46E/20 = 8,5E/50 = 2,01E/100,
      Wp 1.82, m 5.44.
Zepfen Rockw.Leger Rockw..
B B . 3
                                                            .....Belastung,Plattengewichte
      Klaus ... 95 Richling B
                                                        20 30 42
21 30 40
18 27 36
20 26 34
24 34 47
                                                                                           . 8 . 9
                                                                                                          . 10. 12. 14
                                 VCN 100
" " 100
"-RFFh 93
" RFFh 93
                                                                               54
52
48
      Klaus ... 95
                                                                                              76
77
66
56
76
                                                                                                      80
                                                                                                              86 100 111
     Klaus 95
Klaus 95
Klaus 95
                                                                                       64
56
                                                                                                     83 105 124 134
70 77 87 106
63 70 78 92
                                                                             42
56
                             Kleus .. 63
                                                                                                             90 110
     <u>b) Cel*Pl 150*, zusstzfrei</u>
Zepfen Rockw. Lager Rockw.
    c) Oel S&4 d/20 0,910,nD/20 1.507,126E/20 = 15E/50,Wp 2.65,
   c) Oel S&1 d/20 o, 910, nD/20 1.507, 126E/20 = 15E/50, Wp 2.65,

Zapfen Rockw. Lager Rockw. ... Belastung, Plettengewichte ...

Klaus ... 95 Klaus ... 63 14 31 - ... 7 . 8 ... 16. 12. 14

Klaus ... 95 Ferrozell - 26 44 50 43 44x - ...

Los Ferrozell-lager aus Kunstherz-Gewehe bricht auseinander, wurde aber an den Laufflächen durch Reibungswär-

me nicht verbrangt.
 Laufzeit zu schwinden, obwohl die Oeltemperatur 50°C
                      nicht überschritten het.
```

```
f) Schmierstoff "0" wie unter a)...itrobenzol-Refficet(Atlantic) mit 1%Trikresylpnosphet, d/20 o, 884; nl/20 1.4v4, An.P.113°C, Visk. 40E/20 = 8,5E/5C = 2,01E/100, vp 1.82, m 0.44. - Schmierstoff v wie unter e)Pennsylvac...Lotorenol onne hD-Zusetz, d/20 o, 804, nD/20 1.4v9, Visk. 21E/20 = 4,8E/50 = 1,05E/100, wp 1.72, m 3.52. - Das material des Prüfzepfens wer wie unter e-e)Stahl von Rockwellharte D vb, des Laterial des Prüflagers war abwechselnd: Rotguss & (RG 8), Gusebronze 14(GBz 14), Bleibronze Z 55(PbB) und Phpsphorbronze(PB). In allen Fallen wurden hier tei der 1. und 2.Belsstungsstufe die Lager je 1 Stunde lang einleufen gelassen worsuf die weitere Belastung in der ütlichen Form nech je 50 Sekunden Leufzeit erfolgte. Der Abschlusslauf wurde bei den mit x) bezeichneten Versuchen 50 Minuten lang durchgeführt. Da sich während eines Halb- oder Ganzstunden-Laufes die Reibungsanzeige natürlich veränderte, sind in der folgenden Aufstellung tei
             ge natürlich veränderte, sind in der folgenden Aufstellung tei diesen Belastungswerten 2 Reibungswerte angegeben. Bei diesen Verauchen wurde auch neben der Heibungsanzeige (R) der Temperaturanstieg (t) im Prüföl verfolgt, und findet sich in der nachfolgenden Tabelle.
                                  Oel Lager
                                      R 8-13 25-28 55 48 60 80 98 115 158 168 180-200
to 20-52°52-44° 45° 46° 47° 49° 51° 58° 64° 65-110°
                RG 8
                                       R. 5-10 15-18 25 35 45 58 70 95 140 155 170-200
to 18-32-32-390 390 400 410 430 450 500 500 030 72-1000
                RG 8
                                     R 8-12 22-28 40 50 05 80 100 125 180 100-140 to 23-35°35-45° 47° 49° 51° 55° 56° 59° 08° 08-97°
            GBz 14
                                    R 9-20 25-52 40 50 60 80 105 150 185 -
to 24-45 45-60 60
            GB2 14
                                     R 10-10 20-20 28 40 50 60 70 80 105 130 to 22-31°31-35° 40° 41° 42° 43° 45° 46° 50° 54°
           PbB
                                    R 5-10 18-30 60 70 85 100 120 140 200 to 22-32032-450 460 470 480 520 560 600 700
           PbB
                                     R 5-15 30-32 50 70 110 122 150 170-180
t° 22-33°33-48° 50° 52° 59° 64° 68° 72-94°
 V PB
                                    R 10-10 20-30 28 45 65 90 122 152 180-200
to 32-36036-380 400 410 430 470 510 570 61-800
      n) Schmierstoff: fektisiertes Getrieheöl. d/20 o, 280, 107E/20 = 15,4E/50 = 2,51E/100, Wp 2.12, m 3.52, VZ 5,1, o, 41%S. - Lagerwerkstoff beim 1.und 2.Lauf Stehl Röchling VCA Rockwell B 100, beim 3.und 4.Lauf Aluminium-Gleitlagermetell Lg-40(%3,5%Al,
6%Fe u.o.5%Mg)
Oel Leger
                                                             3 4 5 6 7 8 10 12 14 16 45 60 75 80 96 110 115 - - 45 55 69 78 80 98 107 117 - - 7 15 18 22 27 51 40 51 07 80 14 25 28 51 54 40 46 60 71 80
                                                                                                                                           10. 12. 14. 16. 18
G/f. VCN
            VCN
           Lg-40
```

Erkenntnisse aus Versuchsbruppe 15: Lie Abwessungen der Prüflager sowie die Uebersetzung der Drücke wurden bereits S.l dieses Berichtes angegeben. Die Berechnung einer tragenden Flüche (üblicherweise Zepfendurchmesner mal Zapfeulunge) ergübe im vorliegenden Fall kein brauchbares Bild; such soll auf die Angabe der spezifischen Flüchenpressung verzichtet werden. Der Druck erfolgt zunüchst auf einer Berührungsgersden, einer Kontaktstengewicht ganz aussergewöhnlich hoch. Es erfolgt beim Lauf unter fortgesetzt steigender Delestung Abrieb und die Bildung einer Laufspur von erfehrungsgemäse 2-5 mm Spurbreite. Die rechschwieriskeiten. Immerhin ist es zulüssig, aus Reibungsanzeige lese Konnzahl zu entwickeln. Setzt man für P den übersetzten Eruck ein, so erhält man die Reibungszehl p.

Versuchs- Oel und gruppe Zusätze gruppe Stohllager Mineralole, n Synth Sle(FT)

Synth Sle(FT)

Lin Ol+ S noting

" " + S kicsB.

" " + P kinetl

" " + Cl "

" " + PECL " " " + C1 "
" " + P+C1 "
Schmierfette
" + Green 5 10 " + Graphit(kd) 2b Min.ol, gefettet

```
ibungakraft R(kg)
il der Plettengewichte
. 7. 8. 10. 12. 14.
. 70. 95 140 155 170
98 115 158 108 180
105 150 185
100 125 180 160
120 140 200
. 70. 80 105 150
122 152 180
150 170
44
                 Vers.
                                                            Leger
                                                                                                                                                                                                                         Oel
                                                                                                                                                                                         1 8 10 10
                                                                                                                                                         RG
                                                                               Min. " +P
Min. 01
" +P
Min. 51
" +P
Min. 51
" +P
Min. 51
" +P
Lin. 51
Lin. 51
                                                                                                                                                                                                                                                                                                                                     io
                                                           RG
                                                                                                                                       22224057:0
                                                          GBz
GBz
PhB
PhB
                                                                                                                     10
                                                        PE
PB
                                                                                                                     ۔
ز
                                                       Al
                                                                                                                                                                                                                                    ĵО
                                                                                                                                                                                                                                                     56
                                                                                                                                                                                                                                                                         43
                                                                                                                                                                                                                                                                                           55
                                                                                                                                                                                                                                                                                                              ರ೨
                                                                                                                                                                                                                                                                                                                                80+
                                                                                                                 \frac{\mu = R/P, V}{\text{Belse Sung}}
                                               Cel u.Zu-
sätze
                              mpe satze ]

Stableger

Ineralole, net. 30
Synth. 51e(FT) 64
Synth. 51e(FT) 64
Sin. 51+ S net. 36
" "+ S ketl. 32
" "+ P ketl. 144
" "+ P ketl. 144
" "+ P+Cl " 90
Schmierfette 96
"+ Graphit(kd) 52
Fettole 112
Min. 51, gefettet 90
" "+ Faktia 48
                gruppe
                                                                                                                                                                                                                                                                                            12.
                       19
                                                                                                                                                                                                                                                                                                              14.
                                                                                                                          120
152
128
72
152
150
150
104
48
120
120
                                                                                                                                              1556
1767
1444
171
1533
155
155
                                                                                                                                                                164
172
2052
148
148
192
150
128
136
176
                                                                                                                 946624
            3e
3b
4
11
50
10
2e
2b
                                                                                                                                                                                   150
147
151
183
179
157
125
135
189
                                                                                                                                                                                                     181
149
-149
179
-181
175
-77
131
135
184
                                                                                                                                                                                                                        208
155
146
178
180
160
87
121
152
167
                                                                                                                                                                                                                                          242
156
144
176
180
180
180
122
136
198
                                                                                                                                                                                                                                                            160
138
176
176
184
77
118
141
200
                                                                                                                                                                                                                                                                                159
133
181
167
168
77
117
147
170
                                                                                                                                                                                                                                                                                                   165
151
195
174
167
91
114
189
168
                   эc
                        Lager Oel
RG Min.öl
RG " " +P
GBZ Min.öl
GBZ " "+P
PhB Min.öl
PbB " "+P
PB Min.öl
PB " "+P
Ferrozell Min.öl
Al Min.öl
        13f
13f
13f
13f
13f
13f
13f
13f
                                                                                                                       128
208
224
200
192
160
200
248
                                                                                                    128
150
240
150
150
150
150
150
160
160
                                                                                                                                         1537
187
215
215
320
1557
1567
1567
1567
                                                                                                                                                           140
192
200
200
280
100
180
280
176
72
                                                                                                                                                                              144
190
192
208
272
100
208
552
100
74
                                                                                                                                                                                                                                      190
250
250
250
280
160
504
540
                                                                                                                                                                                                 155
215
215
207
100
240
525
115
72
                                                                                                                                                                                                                   160
224
240
228
274
100
281
542
101
                                                                                                                                                                                                                                                         224
253
250
288
320
168
288
                                                                                                                                                                                                                                                                               207 194
224 206
                                                                                                                            48
                                                                    Min. 31
                                                                                                                                                                                                                                                       _69
-
                                                                                                                                                                                                                                            72
                                                                                                                                                                                                                         69
                                                                                                                                                                                                                                                                                 73
Vers. Oel u.Zu-

gruppe sätze

Stahllager

1 kineralole, net.
9 Synth. Ole(FT)
58 kin. Ol+ S net.
3b " " + S ketl.
4 " " + P ketl.
11 " " + P ketl.
5 " " + Cl "
6 " " + P+Cl "
10 Schmierfette
10 " + Graphit(kd)
                                                                                                                                                                                                                                                                                                                     80
                                                                                                                    Werte
Beles
2.3
                                                                                                                                                   für
tung
4
                                                                                                                                                                     f
                                                                                                                                                                       f = R/P
P, Zen1
5 . 6
                                                                                                                                                                                                         der Plattengewichte
. 7 . 8 . 10. 12.
                                                                                                                                                                                                    ι
Ú
                                                                                                                                                                                                            •
                                                                                                                               2,5 9
7,710,8
11 12,8
0,6 9,5
9 9,2
10,6 11,2
10,5 12,2
8,5 9,5
3 3,8
                                                                                                                                                                   <u>i</u>6
                                                                                                               79 497985
                                                                                                 0460018660
9
555
11
1560
                                                                                                                                                                                                                                                  10 10 10 3 10,
8,6 8,3 8,2
11 11,312,213,
11 10,410,810,
11,5 10,5 10,4
4,8 4,8 5,6
                                                                                                                                                                                                                            15,7
9,7
11
11,2
11,2
5,1
```

```
Vers. Oel u.Zus.
Eruppe Stehllager
                     r'ettole
              Min. Ol, Eefettet
" " + Fektis
     2b
                              Oe1
Min.ol 8 8 8,5 8,8 9 9,7 10 11,9 14 15 121
Min.ol 15 14 15,5 12,5 12 15,5 14 14,4 15,8 15 12,9
Min.ol 15 14 15,5 12,5 12 15,5 15 16,2 12,5
Min.ol 10 12 20 17,5 17 16,6 17,1 17,5 20
Min.ol 10 12 5,5 10 10 10 10 10 10 10,5 10,8
" "+P 10 10 2,5 3,5 11,2 15 17,4 19 18
" "+P 10 15,5 16,0 17,5 22 20,3 21,4 21,2
Min.ol 10 12,5 9,5 11, 2 10 7,2 0,3
Min.ol 25 3,5 14,5 4,6 4,5 4,5 4,5 4,6 4,8
              Lager
                                           0el
  137
            RG
 13e
              Fig
 15t
13t
              GBz
 15f
13f
             PbB
             PbB
             PB
15f PB " "+P 10
15c Ferrozell Min. 31 ...
Win. 61 3
                                                                                                                          4,5 4,5 4,6 4,9 5,0
```

Die Abbildung 3.22 R/P zeigt deutlich die hei allen Oelen nach unten leicht durchwekrimmte Kurve. Im übrigen erkennt man,

dese,
s) die schwefelhältigen Oele(Vers.Gruppe js.jb,je) mit der Belsstung den steileten Reihungsanstieg nehmen, eine Vahrnehmung,
die nicht übersehen werden sollte Mun sieht ferner, dass
b) auch die chlorhültigen Cele mit der Belastung steil ensteigende Reibungsenzeige liefern und dass
c) die phosphorhältigen Gele(Vers.Gruppe 4 u.ll) eine Mittelstellung einnehmen.

lung einnermen.

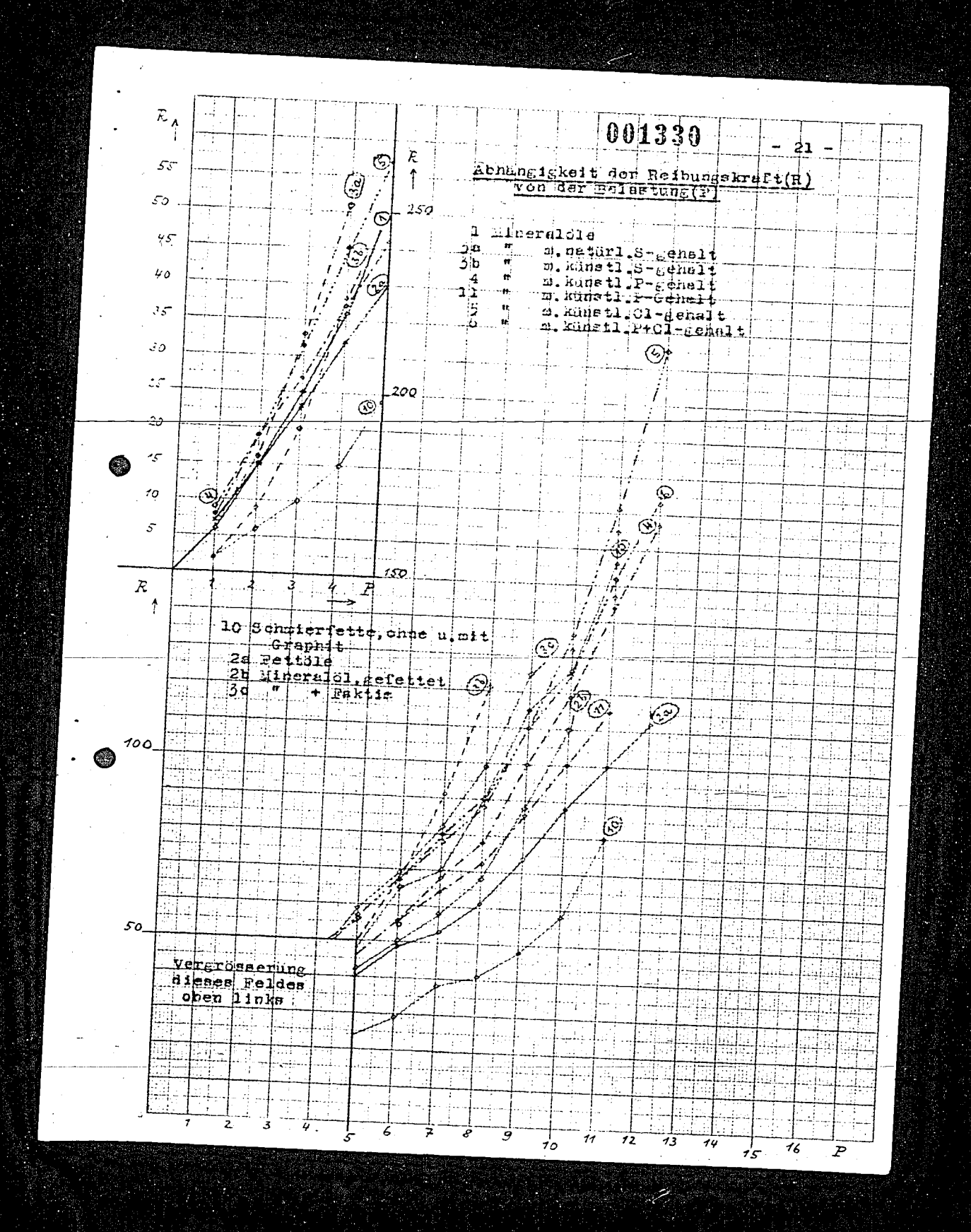
d) Die fetthältigen, besonders aber die fettreichen Gele zeigen sehr ginstiges Reibungsverhalten (vers. Gruppe 2s, 2b) und in besonderem Massae überrsscht der Effekt

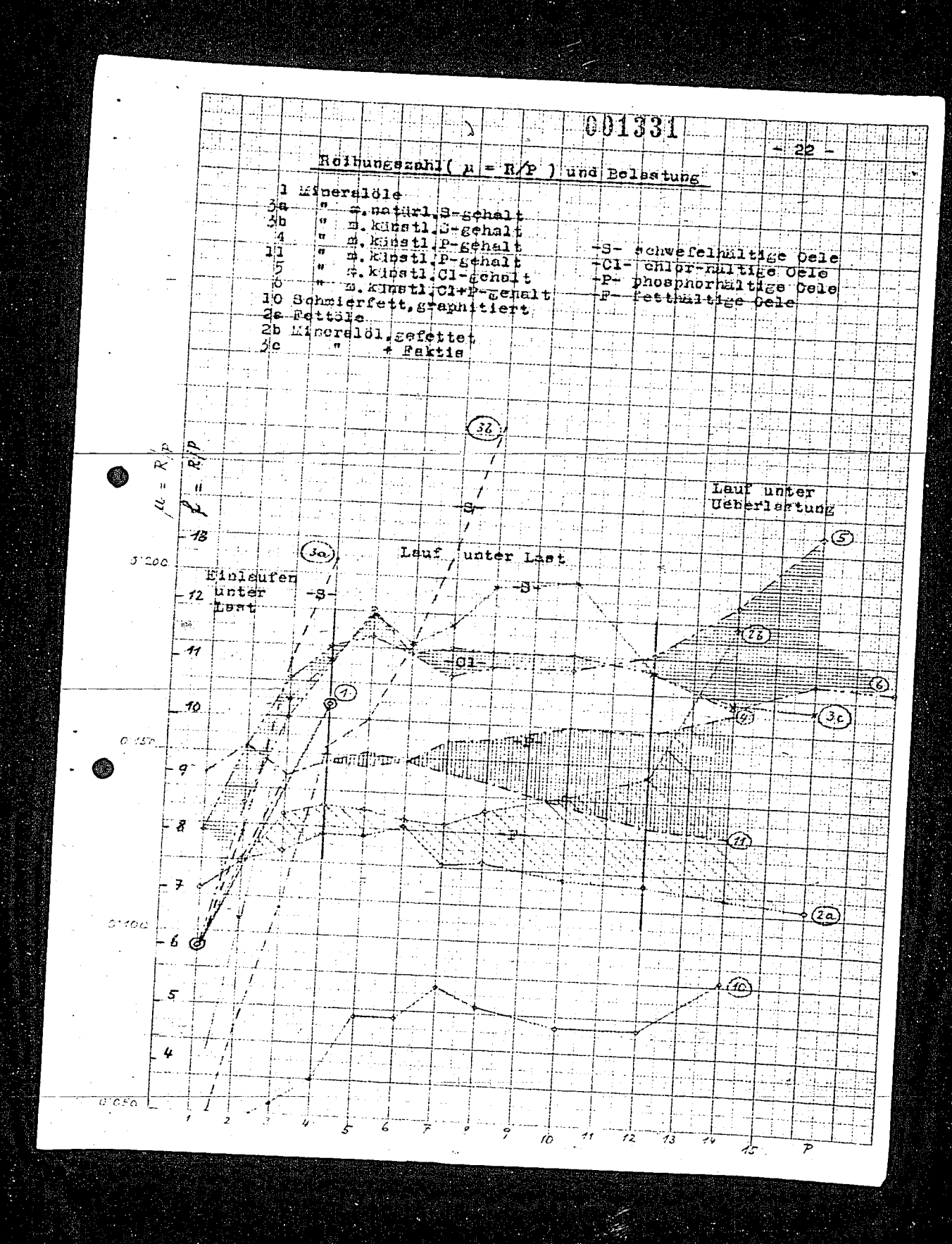
e) eines kolloiderephitierten natronseifen-Schwierfettes (v.G.10)

. Micht uninteressent ist auch des Ergetnie der Atbildung 3.22, n/P. Wes fühlt sich versucht, hei ellen Gelen Grei Zustände gegenüber den Laufeigenschaften zu unterscheiden. Des Binlaufen unter Last mit steilem Anstieg der Reihungszahl his auf einen für des jeweilige Gel oder Gelgemisch cherekteristischen Wert, 2.) Des Laufen unter Last in einer für alle aktivierten Gele ziemlich langen Zone mit nehezu konstanter Reibungszehl, und schliesslich

schliesslich

3.) des Leufen unter Veberhelsstung mit nunmehr zweifellos starkem Abrieb und endlichem Verschweissen der Gleitflüchen Hier
zeigen sich bei Gelen, deren Filmfestigkeit durch die herrschenden Versuchsbedingungen Grerwünden wird, sehr nohe Reih(V.G.4 u.II) oder Chlor und Phosphor(V.G.6), instesondere sher
noch konstent und zwer: bei Fettölen etws o.Il0, hei P-hältigen Gelen im Mittel o.150, bei fektisierten Gelen o.170, bei
die Reibungszehl über o.200 ansteist und damit fortgesetzten
Verschleiss zu erkennen Litt.





- 25 -

Die Beziehung <u>f/P</u> ist als zweite maastableiste in der Abtildung S. 22 nebenher gestellt.

Im übrigen ist bei Versuchsgruppe 15 noch folgendes be-

TREBEWETT:

Der Wechsel der Stahlqualität als Lagerwerkstoff(Rochling VCN, Röchling RFFh, Klaus) ist auf die Ergebnisse R bei Konstanthaltung des Schmiermittels (Nitrobenzol-Raffinat mit HD-zusatz) von entscheidendem Einfluss; das gleiche gilt von wobei aus dem Geringen Zählenmaterial noch keine weiteren

b) wobel aus dem geringen Zahlenmaterial noch keine weiteren Schlisse gezogen werden sollen Bei c) hat ein Versuch mit Ferrozell als Lagerwerkstoff bedingtes von

Interesse.Unter
d) ist bemerkenswert, dass ohne Zweifel des Ankerungsvermögen der Schmierstoffe (und demit wohl auch die Schmierfühigkeit an hochpolierten Gleitflüchen geringer ist, als an geeignet ung aufgerauhten Gleitflüchen. Ueberreschend ist unter e) die Beobachtung, dass die Wirksamkeit gewisser HD-Zusütze (such wenn sie nicht wie niedere Chlorkohlenwaserstoffe! Die Temperatur der Oelfüllung ist debei weniger aufschlusereich, als die an den Kontektstellen, und es soll spüter versucht werden, die hierbei suftretenden Verhältnisse mittels

reich, als die an den Kontaktstellen, und ca soll später versucht werden, die hierbei auftretenden Verhältnisse mittels Thermocolor-Farben wenigstens annahernd klerzustellen. Unter ist schliesslich der Einfluss von hichteisen-metallen als Esgerwerkstoff gegenüber Stanl als Lagerkörper deutlich Lemacht. Der Wechsel der Lagerwerkstoffe ist für den Reibungsund Schmierungszustand vereinzelt noch kontrastreicher als der Wechsel zwischen aktivierten und nicht-aktivierten und Schmierungszustand vereinzelt noch kontrastreicher als der Wechsel zwischen aktivierten und nicht-aktivierten Schmierstoffen. Bei den Bronzen erfolgt auch kein eigentliches Verfressen, sondern ein fortgesetzter abrieb, der sich mit zahllosen flitterigen Teilchen im Oel auspendiert. In Lager) dieselbe Filmfestigkeit wie das aktivierte Oel V(RG 8 als zudem auch geringere Reihungswerte R(Lagerwerkstoff RG 8 Oel wieder konstant niedere Reitungswerte.Die Versuche sind vorderhand nicht zahlreich genug, um zu weiteren Ueberlegungen zu herechtigen. Als sehr günstiger Werkstoff erweist eich

h) Aluminium-Gleitlagermetall, im Beispielsfalle Lg-40, worauf Aluminium-GleitlagermetsPl,im Beispielsfalle Lg-40, worauf M v.Schwarz in seinen zehlreichen Entwicklungsarbeiten schon hingewiesen hat. Die Reibungsanzeige liegt bei Lg-40 sussergewöhnlich niedrig. Es wird notwendig sein, zur Beurteilung dieser Verhältenisse, auch massgeblichen Kenngrösser was naturgemäss das Bild über Schmierung und Schmierungsfragen kompliziert. Kenngrössen

In dieser Versuchsgruppe
gefshren, die vorher in vorgeschriebener Weise entfettet und dann gebondert hezw. stramentiert wurden. Die Behandlung der Prifluger erfolgte im besonderen Fall mit Atramentol Km der IGF, einer mutmasslich nitrathältigen Zinkphosphatlosung.

Bei Versuch 14 a,b wurde ein hydriertes Braunkonlenteer-Schmierol der Brabag(ZR 50 mit d/20 o,877,nL/20 1.4856,10,4E/20 = 2,76E/50 = 1,36E/100, Wp 2.11,m 3.93, Farbe n. Ostw. 3) zuerst in unbehandelten, dann in atramentierten Prüflagern gefahren.

Her versuch like, describe sin Loured block, (also nicht versischt mit verser) is unbehandelten, de atracetierten lagern edenaen; dieses lohrid wurde albeit iereitet im 27, immensen "Trupes il 25 i", Vim OpinTeol-Lestillat und de werser. - Dei versuch 14 m, fersisch labet den Dieberten bedig werden. - Dei versuch 14 m, fersisch labet den Dieberten bedig werden sin normal invitat, welches dus 22 "Trupes il Die", vom Lieralal Brabet 12 der Colgerien Bedleuterstellt wirder. Labent der Flattenjewichte, hale Beirungsaufungsaralt in die zelentung, et der Temperaturnastie, der Geltfillung und temis der out die Zeiteinneit bewogen Temperaturnastie, der Zeitenmerk der out die dess die Profilager entweder durch verschweissung festgelsufen des Zeichen"-beseutet, dass des Profilager schweiger des Profilager wurde, weren, aber doch beir oder dieder aberke Verschleise-surge zu erleiten zu

	·				_	
<u></u>	09013 1906. P	. 14n	. 14b . 1/ ctranent - Wen		, 34e	. 14f Virthent
	2 34	3 7 21	0.0 1.5 25	2017.00 2017.00 2017.00	1 2 .	0 2 2
	tr 5 5-6	50 44 52	. 150 42 05 5e x	27 25 77 29 80 39 81 52 -	20 30 40	12 22 51
	10 11	71 74 83 90	୍ଦ୍ର ୧୦ ୧୪ ୬୪		200 200	- 54 58 72
	12 13 14	112 122 132	120 122 120	101-115 140-128 114-120		7 <i>e</i> 105 105
	15 ; 10 17 18 ;	145 155 200 x	125 127	105-158 150-108 218-250		108 115 122 120~135
	d t (00)	ากโลย	73-55 8-7			

dt(00) 17-48 24-52 20-22 18-55 22-26 20-48

t/min(00) 5,4 5,5 4,1

Erkenntnisse aus Versuchsgruppe 14: In allen drei fullen erweist slein die Atramentierung der Gleitflüchen für d.e Schmierung sla nützlich, wenn such fellweise tei elserer Belastung
etwas höhere Reitungswerte in Erscheinung treten Die Atramentschicht vermittelt das bessere in ften des Schmierstoffes an
den metallischen flächen. - notwendig wird es sein, durch zeitmentachicht zu ergroben.

In der Versuchseruppe

In der Versuchseruppe 15 wurden verschiedene wüssrige Emulsionen ohne und hit Atransent-Behandlung der Prüflisser erprobt und zwertversuch 15e., Waskose Emulsion aus 70 Teilen Bohrol (sus 54% Trupon K., 045 Ernhog ZR 50 u. 25 Wasser) mit 50 Tla wesser, Versuch 15c, d dichtweisse Emulsion aus 50 Teilen diesemulsion aus 50 Teilen Wasser, Versuch 15e dichtweisse Emulsion aus 50 Teilen Bohrol (275 Emulsion Trupon 1,715 Erabag ZR 50 u. 25 Wasser) mit 50 Teilen Wasser, sowie Versuch 15f, blau-

grave Emulsion aus 25 Teilen Bohröl (27%Trupon & 71%Bratz - Oel, 2%Wasser)mit o, 5% wasserdispergierbarem Kolloidgraphit (Hydrokollag, Riedel de Haen AG) und 74,5 Teilen Wasser, - Versuch 15g, milchweisse Emulsion aus 10 Teilen Bohrol () 4%Trupon, 04% Brabagoel, 2%Wasser) und schliesslich Versuch 15h,i, wilchweisse Emulsion aus 10 Teilen ektiviertem Bohrol V/Km 1 (aus 30%Trupon A, 60%Spindelöl mit 8%Trikresylphosphat und 2%Wasser) und 90 Teilen Wasser.

1	Modell 1930			. 15d strem Werte	. 15e m stram für R	. 15f stram	. 156	. 15h	. 151 stram.
5 41 28 32 27 19 25 20 15 7 48 57 50 41 41 20 28 31 29 7 8 75 64 56 54 20 35 35 31 29 9 8 78 71 55 31 46 47 49 10 10 10 10 10 10 10 10 10 10 10 10 10	1 2 3 4	9 10	16 Ž 20 6	1 3 5	0 0 16	2 9	4	1 5 5	0 0 4
	9 10 11 12 13 14 15 10 17 10	25 48 57 73 240	41 28 57 50 75 64 98 78 107 88 105 92 112 110 240 240	3/2 41 5/6 71 80 105 101 111 137 200	27 -41 54 57 80 90 94 1127	19 20 51 20 52 55 55 55 55 45 55	25 4 4 2 9 4 5 1 0 0 1 2 0 0 1 2 0 0 1 2 0	31 33 47 50 66 85 100 101 118 123	19 29 31 49 50 90 100 100 104 112

dt(°C) 25-31 23-34 20-35 22-47 25-40 20-38 20-48 22-44 30-47 t/min(°C) 1,5 1,8 2,7 3,5 2,5 1,4 2,8 2,4 2,0 PH-Wert 7.2 7.2 7.1 7.1 0.9 0,5 0,5

Erkenntniese aus Versuchsgruppe 15: Man könnte rein gefühlsmässig der Erwertung sein, dass die Schmierkraft von Emulsionen umse besser set, je Leringer der Wasseranteil in ihnen ist. Diese Versuchsreihe erweist des Gegenteil, und man findet nun auch sehr rasch zu einer Erklärung, indem man sunehmen muss, dass die Schmierfähigzuninmt. Erwartungsgemäss müsste dieses Schmierverhalten von Emulsionen mit deren optimsler Haltbarkeit kulminieren. Die optimale Haltbarkeit derartiger Mineralöl-Emulsionen ist erfohrungsgemässe bei 5-10% Oelanteil in der Emulsione gegeben, und tateächlich mäes bei 5-10% Oelanteil in der Emulsion gegeben, und tateächlich Atramentierung der Prüflager hat einen durchwegs günstigen Erfolg, denn sie begünstigt des Ankerungsvermögen der Emulsion an den Metallflächen. Ueberraschend ist in diesem Zusammenhang der Effekt von wasserdispergierbarem Kolleidgraphit (Versuch 151); man ist geneigt, aus diesem Resultat günstige Voraussagen zu machen für die Verwendung graphitierter Emulsionen beim Tiefziehen atramentierter Bleche oder Stadien. Beim Vergleich der Versuche 15g standteils durch Trikresylphosphet deutlich zur Geltung bringt. Bereich fortgesetzten-Verschleisses wirkenden Flächen die Oelteilchen (von meist nicht über 1-3 µ)aufgeschlossen werden und an den Gleitflächen zur Wirkung kommen. Es dürfte sich aus dieser

Ueherlegung heraus die Folgerung als berechtigt ergeben, für schwerere Zerspunungsarbeiten (etwa unstelle von nicht mit Wasser mischbaren Schneidolen) aktivierte Lineralöl-Emulsionen einzusetzen.

In dieser Versuchsgruppe wird das "Bohrmittel Hö"der IGF (Kogsein-Sulfonat auf dem Wege über das Sulfochlorid)blank und in verschiedenen Wessereinstellungen betrachtet, sowie andere verschiedenen verschiedenen und Geschwebe-Webergeforen in hors in verschiedenen Wassereinstellungen betrachtet, sowie andere Letallbearbeitungs-Emulsionen und Geschwebe-Dispersionen in hoher Verdünnung und mit Zusätzen gelisierender Verdickungsmittel ("Colloresin" IGF, "Tylose" Kalle&Co).
Versuch 160 verwendet Höblank im unbehandelten Lager, - Versuch 160 beine Emulsion von 10% Hömit 90% Wasser im unbehandelten Lager, - Versuch 160 dieselge im atramentierten Lager, - Versuch 160 verwendet. Modell. 1936 48 456789 11. 55**-**60 22 42 14 26 10 23626 55574 7234 9 20 80-100 22 28 30 36 28 45 48 62 140-230 15 47 20 26 33 452 54 77 76 34759794 559794 9725 42 95-115 130-140 160-165 172-168 195-185 40 28 10 11 55 39 41 45 50 66 71 12 13 14 15 73 78 100 76 99 106-119 119 131-167 121 179-172 126 178-150 104 100-95 105-140 115-145 63-59 75-69 109 125 198-182 16 17 18 200-192 105 114 20-75 205 219 178-159 153 130-150 140-130 82 85 īē 225 173 174-184 **32** 20 223-210 230-250 dT(°C) 58 20-46 24-46 24-63 5,4 3,8 6,5 2,6

Versuch 16p 1%Hö, Lager unbehandelt, - Versuch 16q 1%Schmierseifelösung, Lager unbehandelt, - Versuch 16r 1%Schmierseifelösung, Later atramentiert, - Versuch 16s 1%ige Bohröl-Fmulsion, Lager untehandelt und Versuch 16t 1%ige Bohröl-Emulsion, Lager atramentiert. - Bei Versuch 16u kam in unbehandeltem Lager lediglich eine Dispersion von 0,5% Hydrokollag in Wasser zur Anwendung und bei Versuch 16cv die gleiche Graphit-Dispersion in atramentiertem Lager. - Versuch 16w zeigt eine Kombination von 1%Hö, die Kombination 1%Hö, 0,4% Colloresin, Rest Wasser, Lager unbehandelt, - Versuch 16x die Kombination 1%Hö, 0,4% Colloresin, Rest Wasser, Lager unbehandelt und - Versuch 16y 1% "V/Ka 1", 0,4% Colloresin, Rest Wasser, Lager unbehandelt und 10 kersuch 16z vurde ein unbehandeltes Prüflager schliesslich nur in einem vorschriftsmüssigen Atramentierbad, testehend aus 4,8 vol.% Atramentol K, 4 vol.% Atramentol 1936 . 16i . 16k . 16 1 . 16m . 16n

	<del>-</del>		. 10 1	• 10m	. 16n
P		<b>-</b>	-		
<b>.</b>	* * * * * * * * * *	Wer	te für R	• 1	· .
<del>&lt;</del>	15-18	2	2		••••••
4	50-55	10		2	. 1
5	79.00	10	15	19	10 .
2	78-95	22-25	27	52	
•	115-250	39	41		19
2450789	х	61-64		39	21
A	,		52	47	27-25
. ~		ပ်ခ	64	55.	-7-25
		100-250	76	20	28
10		x		05-01	31-28
11		. ^	86	70-67	36-32
12			. 97	78-73	30 32
			105	, , , , , , ,	<u>3</u> 7
15				85	45-40
14	4		110-106	9 <b>3-</b> 89	47-44
15			109-105	100-92	
5%			112-109	103	<u>51</u>
16			118	200	57
17				114	60
18			125	126	67
19			130	140-150	· 56
			136	168-162	74
20			7.40	700-105	85-79
			142	179-181	100-91
dt(°C)	18-24	A st amount over	+	+	+
t/min(oc)	10-24	25-28	22-54	18-46	
27 mar () ( 2 C )			3,1	20	23-59
pH			7,5	2,8	1,6
			6.9	6.9	9.3
P	. 16 o	3.6			
	. 100	16p . 10q	. 16r	. 168	16t
			atrem.		102
2	2 6	2 2		_	trement.
4	6		,	1	1
5 6 7	. 14		21	5 8	2
7.		8 9 10 11	28-25	é	3.5
	18	10 11	51	ğ	12
· /	24	9 15			18
ė	-33	11 12	35-32	15	24-28
<b>9</b> .	35		41	22 🗻	34
10	1000	15 20	55-65	25	
	38-50	20 22	í eo í		40
.11	<b>54−40</b>	20 25	0.0	40-90	49
. 12	43		e5-ec	140-245	56-65
13	<u> </u>		. e1	x	100-115
14	55	24 . 32	90		100-112
44	5-70	28. 33	~ 99	•	140-245
	,	, 32	23		-
•				Forteetzi	ing / i
					0 •/ • [ ]

19-29

16-23 1,0

Erkenntnisse aus Versuchsgruppe 10: Das Bohrmittel Hö der IGF het in purem Zustande eine hohe Filmfestigkeit und zeigt Reihnet in purem Zustande eine hohe Filmfestigkeit und zeigt Reihnet in purem Zustande eine hohe Filmfestigkeit und zeigt Reihnet in purem Zustande eine hohe Filmfestigkeit und zeigt Reihnelsen der Lager sind nach hoher Beanspruchung blank und riefenfrei. Eine 10%ige Hö-Lösung in Wasser zeigt ein ähnein stramentiertes Lager, so liegt die Reibungsanzeige bei niedere Belastung merklich höher, was durchaus erklürt werden kann verhält els des blanke Produkt und die 10%ige Lösung. - Wider Erwarten tefriedigt die 2%ige Dispersion von Kolloidschwefel (Cosan) in keiner Weise. Wesentlich günstiger verhält sich wasserdispergierbarer Kolloidgraphit (Hydrokollag) in gleicher Konzentration. - Ueberraschend ist aber, dass Kolloidschwefel in Kombination mit wasser-emulgierbaren Fettstoffen nicht nachteilig wird; es scheint soger, dass er in der Kombination: 8%Hö, 2%Cosan(vgl.10g) gegenüber 10%Hö(vgl.1cc) bei noher Belastung lich niedriger und die Prüflager sind nach dem Lauf mit Uebernicht der Foll ist Ungleich günstiger aber verhält sich die Kombination: 8%Hö, 2%Hydrokollag; die Reibungswerte bleiben eugsergewöhnlich niedrig, die Laufflächen des Prüflagers bleiben in denkher bestem Zustande; die Bonderung ist vorteilhaft.

x

3,6 21

(°C)

t/min(°C)

5,1

K O P

Wasserquellbere Cellulose ist, wie nicht anders zu erwarten, kein Schmiermittel; auch das Schmierverhalten einer 10% igen BohrölWüre, wird durch dieses und ühnliche Verdickungsmittel nützlich atig beeinflusst. - Die 2,5% ige Emulsion des ektivierten Emulsions 318 V/Ka 1 verhalt sich gleich günstig einer ebenso konzentrierten Hö-Lösung; bei hohen Erücken zeigt die aktivierte Emulsion aogar niedrigere Reibungswerte. - Von unerreicht ginstigem Schmierverhalten ist eine 5% ige Schmierseifenlösung, und hier finden die Erfahrungen alter Praktiker beim Draht- und ohne weiteres bei Ziehvorgangen ersetzt werden können. Immer wienen deutlich überlegen, was in der Standzeit der Estrizen und der Oberflächen fertigung der Standien unverkenbar zum Ausdruck

In dea beiden Athildungen Seite - 22 ist intgestellt, dass bei Bohröl-Emulatonen(in gleicher Weise natürlich auch bei No-hösunt dem Grade der Verdünnung die Reitungewerte Absinken; Lo-jat dem Grade der Verdünnung die Reitungewerte Absinken; Lo-jat Lispersionen heben ersichtlich noch niedrigere R- und gen, dach sich hierbei eben die Kühlwirkung des Wesern zu sasentlicher erweise denn die Schmierwirkung des Wesern zu sasentlicher erweise denn die Schmierwirkung des Geles Diese Leisung lässt sich sher sofort zudderlagen, dann bei einer Lötigen dung lässt sich ser sofort zudderlagen, dann bei einer Lötigen in gleicher Weise vorhanden; se lässt sich bei diesem Ansatz sher weder niedere Reibungsanzeige, noch Filmkraff des gelösten hochverdünnter Bohröl-Emuleionen, besonders wenn sie, nach eines Klärung über, dess die Geltröpfehen-Aufbereitung zuch bei dieser Verdünnung noch ausreichende Schmierung zewährleistet; allerverdinnung noch ausreichende Schmierung zewährleistet; allerverdinnung noch ausreichende Schmierung zewährleistet; allerverdinnung noch ausreichende Schmierung sein - 22 mit denen von Seite - 21 - und - 22 zwelche das Schmierverhelten nicht-westenführkt. Vergleicht man die Abhildungen Seite - 22 mit denen von Seite - 21 - und - 22 zwelche das Schmierverhelten nicht-westermischerer Oele durstellen, so findet men, dass die R- und 19 werte der Emulsionen wesentlich niedriger liezen als die der für dieses Ergebnis vorerst noch keine Fernellele. Ein besonders ütteressantes Bild gibt die Verzuchsreihe löcht, feetigkeit der Lötiger Emulsionen untereinander Lie film-tentickeit der Lötigen einfachen Bohröl-Emulsion(lös) ist mit ülf besonders ütteressantes Bild gibt die Verzuchsreihe Bohriner Felinkert der Lötigen einfachen Bohröl-Emulsion(lös) ist mit ülf besonders untereinen gen sterke Ansteilen der Reitungsmomente heit der Endaustend der Gleit-Längernäht, der Letzteren aber ist der Endaustend der Gleit-Längernähten ist hei Verzuch lög unverkennbar. Len besten Eftekt heit zuch nich eine stellen der eine Abhildun

Die Atrementierung hat auch einen ersichtlich günstigen Effekt, Die Attementiorung hat auch einen ersichtlich günstigen Effekt. wenn han nur wüssrige Kolloidgraphit-Dispersionen(vgl.16u,16v) in Anwendung bringt. Aus den Versuchen 16w-y ist zu erkennen, dass"Verdickungsmittel"für Emulsionen, wie"Collorenin"(IGF), "Lotlorenin" (IGF) und die verschiedenen "Tylose"-Marken(IGF/Kalle&Co)nur bei hoher Verdünnung den Schmiereffekt von Minerald-Emulsionen, Typ Oel-In-Wasser nicht beeinträchtigen. Versuch nur mit vorschriftsmüssig eingestellter Atromentierbad-tem gefahren, de schon mehrfech mit frapentem Effolg Bonder- und Atrementieraulz-Lösungen als Schmeid-flassigkeiten hei der Metallzerspenung erprobt wurden. Das Ergebtem Erfolg Bonder- und Atrementieraulz-Idaungen als Schneid-flüssigkeiten hei der Letallzerspenung erprobt wurden Das Ergeb-nis hier befriedigt nicht; des Prüflager lief unter lautem Krei-schen, und, aur halb von Flüssigkeit bedeckt, unter Wasserdampfent-wicklung, allerdinge ohne endgültig zu verfressen; in Zapfen- und Lagerflüchen hatten sich tiefe Laufspuren eingegreben.

Zum Abschluss dieses Derichtes, sei kurz dersuf verwiesen, dess es notwendig ist, Zapfen und Prüflager vor und nach dem Versuch einer gensuen optischen und wenn möglich mechanisch-technologischen Kontrolle zu unterziehen.

Soferne Stahlzaffen und Stahllager nicht miteinender verfressen und die Schmierstoffe (Linerelole his zu tegrenzter Bestbarkeit, Fettöle his zu honer Belestung) frei sind von chemisch wirkenden Grenzflächenzusützen, zeigen sich in den Legerhülften lestberkeit, Tettöle his zu honer Beleetung) frei eind von chemisc wirkenden Grenzflüchenzusützen, zeigen sich in den Lagerhülften schmale, blank gefahrene Laufspuren von 2-3 mm Breite in Achsrichtung. - Beim etwaigen Verschweissen unter Ueberlastung solcher Stahllager wird Enterial aus den Lagerhülften bis zu 1 mm echer Stahlager wird enterial aus den Lagerhülften bis zu 1 mm echweisst; dass lokel hierbei enorme Reibungstempersturen auftreten. ist ohne weiteres klar

ten, ist ohne weiteres klar.

Von den chemisch wirkenden Zusstzstoffen erzeugen organische Phosphor-Verbindungen einen bläulichen Laufspiegel; die Prüfhandeln, gegebenenfells auch um eine irisierende Schicht organischer Fe-P-Vertindungen. Dieser Leufspiegel ist rostsicher. K.O. Kapselten Getrieben im verlustlos gesemmelten Oel bel Hochdrucksapselten Getrieben im verlustlos gesemmelten Oel bel Hochdruckseise hetriachtliche Steigerung der Aschegehaltes der Oele nechdas Verschweisen gleitender Flüchen unter Ueberlastung verninden, nicht aber den Abrieb derselben, zumal anzunehmen ist, dass Phosphorature und Kresol gespalten wird und mit beiden Spalt-Hochdruckzusütze euf Schwefel-Basis erzeugen stets eine Hochdruckzusütze suf Schwefel-Basis erzeugen stets eine

stücken Kontinuierlich korrodiert.

Hochdruckzusütze suf Schwefel-Basis erzeugen stets eine Schwärzung der Laufflüchen der Zwerglager in der Almen-WielandBaschine, soferne der Schwefel irgendwie aktiv ist. Diese Schwürzung wird nicht beobachtet bei Einerslolen, die von Aetur auf 
der inektiven, nicht-korrodierenden Borwefel auch meist in 
ten-Bindung, in Faktis, aber auch als clementerer Schwefel wird er 
(um mit Blok zu sprechen) durch die "Temperaturblitze" der einklinkenden Gleitflüchennocker verflüssigt und derert aktiviert. klinkenden Gleitflüchennocker verflüssigt und derart aktiviert, kinkenden Gleitflächennocker verflussigt und derert aktiviert, dass er auf den Gleitflächen ausgesprochene Sulfidschichten entwickelt. Es ist auzunehmen, dass die Sulfidschichten fortschreitendem Verschleiss und fortschreitender Aschtildung unterließen. Selbst hei Kolloidschwefel in wüssriger Dispersion ist eine

Sulfidierung der Leufriller erkennber; die Sulfidierung der Gleitnischen Sutstanzen, elso nicht-wensermischturen Col, aber duch
emulgierharen Oel (Bohröl) oder Emulgetoren ("Ho" usf.) kombiniert
iet. Sulfidschichten schützen bei Etahl vor atmosphurischer Acroge Emulstonen zur Anwendung kemen.

Chlorkohlenwess sretoffe der mannigischneten Art oder undere
ten sich bei den gebrauchten Prüflagern spütes tens nach wenigen
kenen berechtigt sein, den Gebrauch derartiler Zusatze verrewochen Lagerzeit durch unverkennbere Roetspuren. Se wird demnach
der Metallbearneitung (Zorapanung und spänlage Formung) zu beschrünsion suf herreiteten Werkstücken von untergeronneter Bedeutung
hochbelsstete Loger wird man versichten müsern.

Prüflagern ebenfalts eine deutliche Schwärzung.

schwarzverfühung und Mattierung zuf Stehl und Eisen.

Zur Feststellung der Prüflager bewirkt die bekannte Grau
Es wird nicht uninteressant sein, hei künftigen Messungen
"Thermocolor-Farhen" zur Anwendung zu bringen. An Stellen forttürlich auf diese Weise nicht möglich sein. Jedenfalla hat die
Hessung der Gelbed- oder Emulsionstemperatur solange nicht viel

gesetzten örtlichen Verschleisses wird eine Temperaturmeseung natürlich auf diese Weise nicht möglich sein Jedenfalle hat die Mesaung der Gelbad- oder Emulsionstemperatur solunge nicht viel sinn, solunge es nicht möglich ist die Wärmesstrahlung des Prüfgefüsses entsprechend abzusichern. Aus diesem Grunde sind die dies wertet worden.

When

2 Ausfertigur.g

## Institut für die Materialprüfungen des Maschinenbaues

Staatliche Materialprüfungsanstalt

an der

Technischen Hochschule Stuttgart

001342

## Prüfungsbericht.

Oberkommando des Heeres (Heereswaffenamt Wa Pruf 6 (IV b)

Berlin - Charlottenburg 2 Jebensstrasse 1

Gegenstand: Zahnradversuche bei Oelsumpftemperaturen von 150°C.

Datum des Berichts: 5. August 1944.

Auftrag M 10580

9 Textseiten.

......5 Beilagen.

ausgefertigt: 2 x Oberkommando des Hoeres - Wa Prüf 6 (IV b) mit Chemisch-Technische Reichsanstalt.

l'x Reichsverkehrsministerium, Abt.K, Berlin,

l x Reichsminister für Rüstung und Kriegsproduktion - Kraftfahrzeugkommission, Forschungskreis 5 - z. Hd. v. Herrn Dipl.-Ing. Bokemüller.

5 x Herrn Dipl.-Ing. B o k e m u 1 l e r i.Firma Daimler-Benz

Stuttgert, den 5. August 1944.

001343

An das

Oberkommando des Heeres Heereswaffenant Wa Pruf 6 (IV b)

Berlin - Charlottenburg 2 Jebensstrasse 1.

Betreff: Kriegsauftrag Nr. SS 0015-8734/43 Hitzebeständigkeit der Getriebeschmierstoffeunter Einbeziehung der neuen ungefetteten Getriebeöle. 3.Bericht: Zahnradversuche bei Oelsumpftemperaturen von 150°C.

Unser Zeichen: M 10580 Gz/Pr.

Gemäss Ziffer 1) des Abschnittes VI unseres 1. Berichtes vom 9.5.1944 wurden mit verschiedenen Getriebeölen der Wehrmacht (GOW 8E/50) Zahnradversuche bei gleichbleibender Oelsumpftemperatur von rd 150°C durchgeführt, um festzustellen, ob und inwieweit dabei eine Oelalterung, insbesondere die im praktischen Betrieb bei verschiedenen Getrieben beobachtete starke Oeleindickung versuchsmässig auftritt 1).

### I. Versuchsoele.

Die Versuche wurden mit den folgenden Celen durchgeführt:

<sup>1)</sup> Über diese Versuche wurde auf der Arbeitstagung des Forschungskreises 5 der Kraftfahrzeugkommission in Oberhausen am 15.6.44 bereits kurz berichtet.

#### Zahlentafel 1 Versuchsöle

Nr.	Kenn- zeich- nung im Institut	Benennung	Art .	Hersteller	Liefe- rung	Daimler- Benz Analysen-
1		GÖW 8 E/50	ungefet- tet	Rhenania-Ossag Hamburg	Februar 1944	Nr.
2	.	GÖW 8 E/50	ungefet- tet	Deutsche Vacu	Januar 1944	S 849
1		GOW 8 E/50	gefettet	Rhenania-Ossag Hamburg	Nov./Dez.	S 818

Die Öle der Rhenania-Ossag waren nach Angabe auf Raffinatbasis, das Ol der Deutschen Vacuum-Öl A.-G., auf Destillatbasis hergestellt.

## II. Versuchseinrichtung

Die Versuche wurden mit dem im ersten Bericht ausführlich beschriebenen Versuchsgetriebe durchgeführt. In Abweichung davon wurde im Ölsumpf ausser dem Wärmefühler des Temperaturmessgerätes eine elektrische Heizvorrichtung eingebaut, mit Hilfe der die Ölsumpftemperatur dauernd gleich gehalten wurde.

Ausserdem wurden am Deckel des Getriebes zwei Lüftungslöcher von je 16 mm Durchmesser angebracht, wellte gegen Spritzer von innen abgedeckt waren, ohne dass die Abdeckungen den Luftzutritt zum Gehäuseinneren wesentlich beeinträchtigten.

### III. Versuchsdurchführung

Der Zahndruck wurde gegenüber der Versuchen des 1.Berichtes soweit gesenkt, dass auch längere Laufteiten ohne Zahnbruch möglich

wurden. Er betrug jetst

001345

Y = 485 kg.

Das bedeutet die folgenden Beanspruchungsverhältnisse im Getriebe:

Zahlentafel 2 Beanspruchungsdaten des Versuchsgetriebes

	Nr.		Formal	
	-	chung	Formel und Zahlenwert	Einheit
-	I	Leistung	$N = \frac{P \cdot r \cdot n}{71620} = \frac{485 \cdot 3,3 \cdot 2050}{71620} = 46$	PS
i	2	Vergleichs- wert	$C = \frac{P}{\delta \cdot t} = \frac{485}{7.0,94} = 516$	kg/cm <sup>2</sup>
	3	Walzenpres- sung im Teilkreis		kg/mm <sup>2</sup>
	4	Wärme- stauwert	$S = \frac{m \cdot Z_1 \cdot \delta}{2} = 3.22.10$	m²/Ps
1	5	Spezifische Oelfüllung	$V = \frac{V}{N} = \frac{600}{46} = 13,0$	m <sup>3</sup> /Ps

Zum Vergleich mit diesen Werten sind in Zahlentafel 3
einige Beans ruchungs - Werte aus Fahrzeuggetrieben
nach Angabe der Firmen A. Opel A.G., Russelsheim/Main (Schreiben
Ass/Fr. vom 28.5.44) und Daimler-Benz A.-G., Gaggenau (Schreiben
TD-Entw. Bo/Ot. 550/44) wiedergegeben.

Es zeigt sich, dass die C-Werte in Fahrzeuggetrieben noch wesentlich über dem des Versuchsgetriebes liegen, dass aber die Sicherheit gegen Frassen – ausgedrückt durch den Wärmestauwert – im Versuchsgetriebe, ebenso wie die spezifische Ölfüllüng geringer sind als in üblichen Fahrzeuggetrieben.

Zahlentafel 3
Beanspruchungswerte von Fahrzeuggetrieben

-	be	Fahrzeug- zeichnung	Getriebe bezeichnun	Radsatz		stau_wer Sa	spezifisch Olfüllung V
<u>/</u>		oel-Blitz-		iv. Gang	450 1045 785 595 520	mm <sup>2</sup> /PS	cm <sup>3</sup> /PS
· •	9	to	Verteiler- getriebe	Antrieb-Strassengang Antrieb-Geländegang Ritzel II-Geländegang			23,5 <sup>2</sup> )
	-		Achs- getriebe	Antrieb-Kegelräder Ausgleich	800		27.2 <sup>2)</sup>
			Schalt- getriebe FAKS 40	I. Gang	770	3,75	-84
	Benz	L 3000A T		Schrägverzahnung	1270	2,77	
	<u>.</u>	L 4500		Regelradtrieb 8/27	350/397		_33,4
	THIRD		Hinton	Stirnradtrieb Regelradtrieb	290		33
L	1	g		tirnradtrieb	630/770		<i>3</i> 3,5
					925		16,5

<sup>2)</sup> Unter Zugrundelegung einer Leistung von 70 FS (nach Typenbuch 1938).

Unter den genannten Verhältnissen lief das Getriebe jeweils 8 Stunden. Vor Beginn jeder Laufstufe wurde das Ol vorgewärmt und mit einer Temperatur von rd 150°C in das Getriebe gegeben. Infolge des Wärmeentzuges durch das kalte Getriebe konnte der Versuch dann bei rd 100°C ölsumpftemperatur begonnen werden. Der weitere Temperaturverlauf geht beispielsweise aus Abb. 1 hervor. im Mittel nach einer Stunde war die Solltemperatur erreicht. Sie wurde dann bei allen Versuchen zwischen 150 und 152°C gehalten. Als Laufzeit wurde die Zeit bezeichnet, während der Solltemperatur herrschte, also je Laufstufe 7 h. Die Versuchsreihen wurden solange festgesetzt, bis eine merkbare Eindickung des Oles

Zum Ausgleich der beim Umfüllen und durch Verdampfen auftretenden Olverluste wurde jede Versuchsreihe mit einer Anfangsölmenge von 700 cm<sup>3</sup> begonnen, wovon jedoch nur jeweils 600 cm<sup>3</sup>
in das Getriebe gefüllt wurden. Diese Füllung wurde nach jeder
Laufstufe mit dem Rest vermischt, sodass am Schluss jeder Versuchsreihe rd 600 cm<sup>3</sup> praktisch gleichmässig gealtertes Ol zur
Verfügung stand. Die Temperatur des Versuchsraumes betrug

Zur Feststellung der im Öl während einer derartigen Versuchsreihe aufgetretenen Oleindickung wurde die Ölzähigkeit während der Versuche zunächst nur gefühlsmässig beurteilt und dann nach Abschluss derselben der Chemisch-Technischen Reichsanstalt (CTR Dr. Noack), zusammen mit Frischölproben, zur eingehenden physikalischen bzw. chemischen Untersuchung übergeben.

Die Ergebnisse dieser Untersuchungen sind für die Versuchsreihen unseres 1. Berichtes vom 9.5.1944, sowie die vorliegenden Versuche mit den Ölenn XXII und XXIII<sup>3)</sup> im Bericht Tgb.Nr. 1045/44 C vom 30.6.1944 der CTR enthalten.

<sup>3)</sup> Die Untersuchung des Öles XX erübrigt sich, nachdem inzwischen auf Grund der Ergebnisse dieses Berichtes das Versuchsverfahren geändert wurde.

#### IV. Versuchserzebnisse

1.) Oel XXIII: GOT 8 E/50 ungefettet der Deutschen Vacuum.

Nach einer Laufzeit von 35 h zeigten sich an den Rädern und anderen Getriebeteilen erste klebende Ansätze, die mit der üblichen Waschung in Benzin nicht zu entfernen waren. Nach einer Laufzeit von 42 h hatte das Ritzel des Getriebes das in Abb. 2a wiedergegebene Aussehen. Die Oberfläche des alle freien Flächen bedeckenden Belages hat ein lackartiges Aussehen. Das Oel war nach dieser Laufzeit bereits merkbar eingedickt. Nach 63 h zeigten die Räder das in Abb. 2b wiedergegebene Aussehen. Der Belag ist stärker geworden. Seine Struktur ist gegenüber der körnigen nach 42 h mehr streifig. Der Versuch wurde nach dieser Laufzeit abgebrochen. Abb. 3a zeigt eine kennzeichnende Zahnflanke nach dem Versuchslauf. Auf Grund der im 1. Bericht niedergelegten Erfahrungen ist festzustellen, dass der Verschleiss während dieses Versuchs befand.

2.) Oel XXII: GOW ungefettet der Rhenania-Ossag.

Die ersten klebenden Ansätze an den Getriebeteilen zeigten sich nach 21 h Laufzeit. Nach 28 h hatte der Belag den in Abb. 4 wiedergegebenen Umfang erreicht. Er hat gegenüber dem des Oeles XIII ein rauhes, ölkohle artiges Aussehen. Nach 35 h wurde der Versuch wegen starker Eindickung des Oeles abgebrochen. Die in Abb. 3b wiedergegebene Flanke zeigt, dass der Verschleiss während dieses Versuchs die Hochlage erreicht hat.

3.) Oel XX: GOW gefettet der Rhenania-Ossag.

Erste klebende Ansätze an den Rädern zeigten sich nach 28 h (Abb. 5a). Nach 56 h Laufzeit wurde der Versuch infolge

starker Cleindickung abgebrochen. Der Belag an den Rädern (Abb.5b) hatte bei diesem Ol wieder ein lackartiges Aussehen. Die Flanken (Abb.3c) zeigen sehr geringen Verschleiss (Tief-lage).

Die Veränderungen der Öle XXII und XXIII durch die geschilderten Versuchsläufe gegenüber dem Frischöl gehen aus den in Zahlentafel 4 zusammengestellten dem genannten Bericht der CTR entnommenen Werten hervor.

## Zahlentafel 4

			-								
	chnuc	Art	Fris	chöl	<del></del>	Zahnrad	lbetrieb	bei 15	0° ge	alterte	s <b>Ö</b> l
	26 j t1 t	und Her- steller	Zäh- ig- keit <sup>O</sup> E50	As-	samt	Benzolliös- lös- liches	Alkohaz	Feste Frem <b>d</b> - Stoffe	Harz	Harz	Bemerkungen
.		GÖW, un- gefettet Rhenania Ossag	8,35	2,1	10,7	8,3	.0,4	2,0	16,7	25,4	nicht
	A11.1	GÖW, un- gefettet Deutsche Vacuum	7,62	2,2	15,1	8,3	0,6	6,2	3,35	22,25	nach li stünd Schütteln noch nicht homogen
•		L	<u>-</u> -Ł								gen. Gesamtmage Im Morser ver- rieben

<sup>4)</sup> Es werden nur die Werte der im Bericht der CTR mit XXII/2 bzw. XXIII/2 benannten Restölproben aufgeführt.

#### Zusammenfassung.

Getriebeöle der Wehrmacht mit einer Zähigkeit von 8 E/50 ungefettet und gefettet aus Lieferungen von Dezember 1943 bis Februar 1944 wurden Versuchsläufen im Zahnradbetrieb bei Oelsumpftemperaturen von rd 150°C unterzogen, wobei die Oeltemperatur ausser durch die Zahnbelastung entsprechend einem c-Wert von 516 kg/cm<sup>2</sup> durch zusätzliche Heizung auf gleicher Höhe gehalten wurde. Nach Laufzeiten zwischen 35 und 63 h traten Oeleindickungen und Asphalt- bzw. Celkohlebeläge der Getriebeteile auf, die für den praktischen Betrieb nicht tragbar sind.

#### VI. Geplante Fortsetzung der Versuche

Auf Grund der bisher gemachten Versuchserfahrungen und den Vereinbarungen auf der Arbeitstagung des Forschungskreises 5 in Oberhausen am 15.6.44 werden die Versuche über die Hitzebeständigkeit der Getriebeschmierstoffe wie fclet fortgesetzt:

- 1) Erniedrigung der Versuchstemperatur auf 130°C.
- 2) Erhöhung der spezifischen Gelfüllung auf rd 30 cm3/PS.
- 3) Durchführung von je 3 gleichartigen Versuchen mit bisheriger und vergrösserter Oelfüllung zur Feststellung des Grades der Reproduzierbarkeit derartiger Versuche, wobei letztere ausschliesslich durch die physikalischen und chemischen Werte der gealterten Oele beurteilt wird.
- 4) Versuchsöle jetziger Erzeugung.

Der mit der Untersuchung betraute Ingenieur: gez. Glaubitz

Abteilung für den allgemeinen Maschinenbau

Der Direktor

(gez.) Wellinger



IV. (gaz.) Wellinger.

OKH - Wa Prüf 6 (IV b) mit Chemisch-Technische Reichsanstalt, 2-fach, Verteiler:

Reichsverkehrsministerium, Abt.K, Berlin,

Reichsminister für Rüstung und Kriegsproduktion
- Kraftfahrzeugkommission, Forschungskreis 5 2.Hd.v. Herrn Dipl.-Ing. B o k e m ü l l e r ,

Herrn Dipl.-Ing. Bokemüller i.Firma Daimler-Benz AG., Gaggenau, 5-fach, zur Verteilung an:

Mineralöl-Industrie, Herrn Dr.-Ing. S c h a u b i.Fa. Ruhr-Chemie, (Abt. Prüfstand) Oberhausen-Holten,

Herrn Dr.-Ing.habil. F. Karas, Techn.Hochschule Dresden.

D A . K S A . F I . L . M AA

Beilage 1 zum Bericht vom 5. S. 1944.
001352

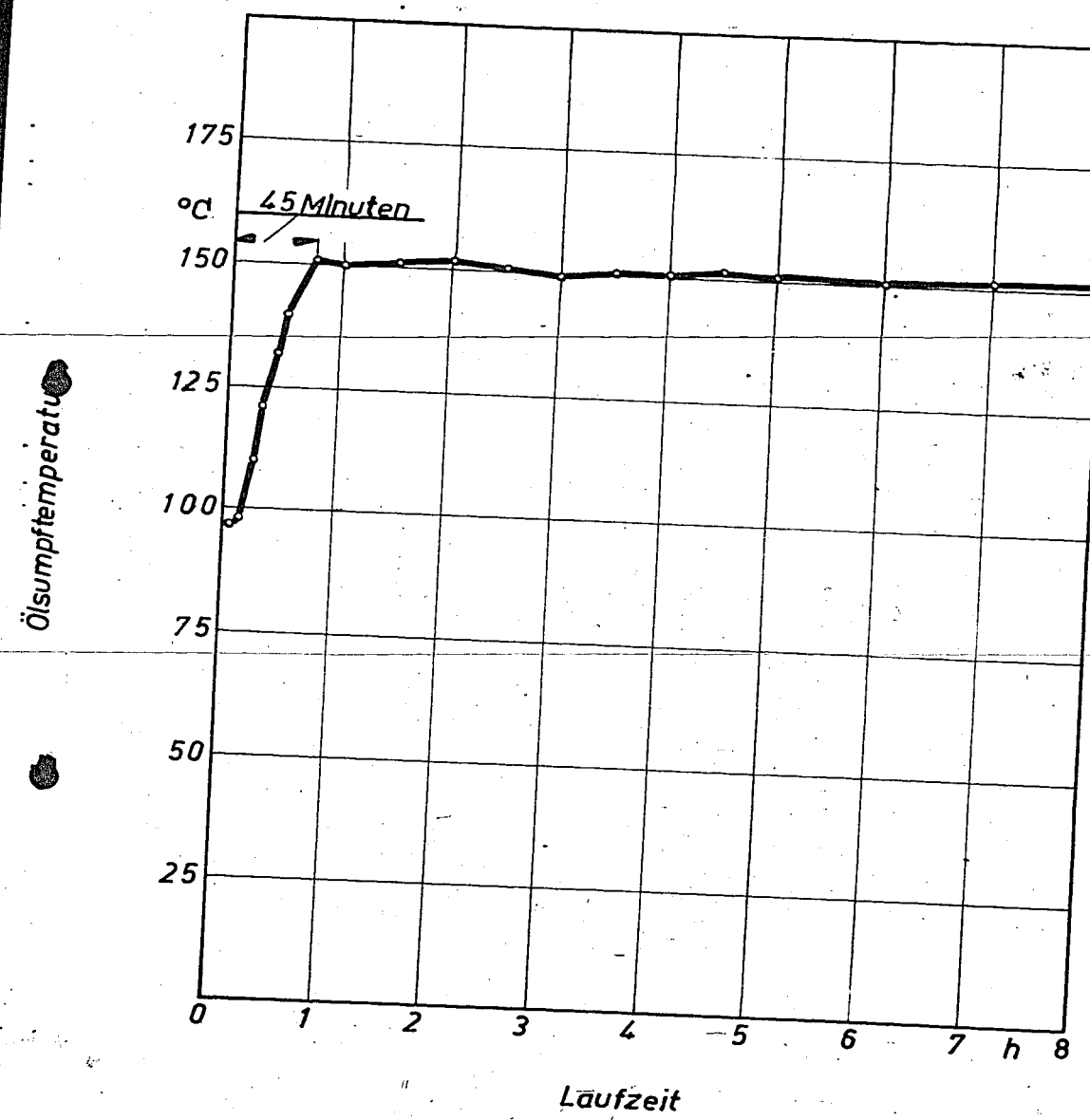
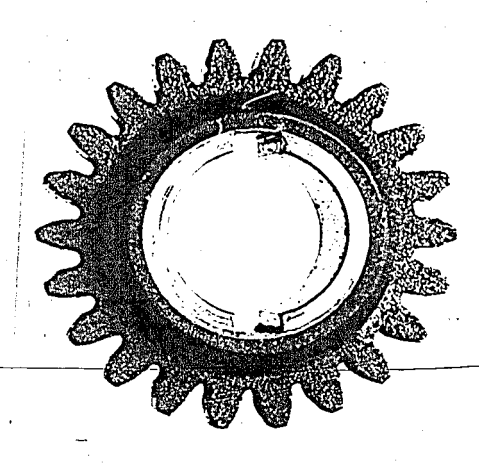


Abb. 1 Verlauf der Oelsumpftemperat wahrend einer Laufstufe.

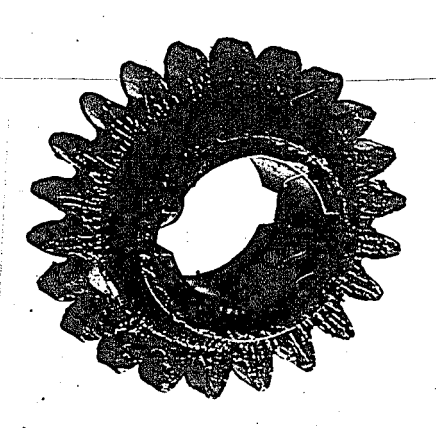
Transfer of the state of the st

Beilage 2 zum Bericht vom 5. August 1944.

001353



a) Laufzeit 42 h bei 150°C



b) Laufzeit 63 h bei 150°C

Abb. 2. Ritzel nach verschiedenen Laufzeiten in GÖW, ungefettet, Deutsche Vakuum.

Beilage 3 zum Bericht vom 5. August 1944.

001354



a) GÖW 8 E/50, ungefettet, Deutsche Vakuum Laufzeit 63 h



b) GOW 8 E/50, ungefettet, Rhenania-Ossag Laufzeit 35 h



c) GÖW 8 E/50, gefettet, Rhenania-Ossag Laufzeit 50 h

Abb. 3. Zahnflanken nach Versuchslauf bei einer Oelsumpftemperatur von 150°C.

Beilage 4 zum Bericht vom 5. August 1944.

001355

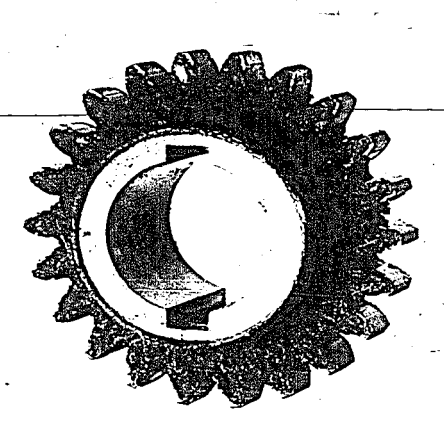
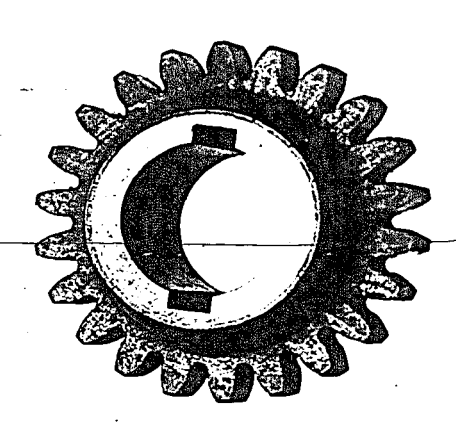


Abb. 4. Ritzel nach einer Laufzeit von 28 h bei 150°C mit GOW ungefettet, Rhenania-Ossag.

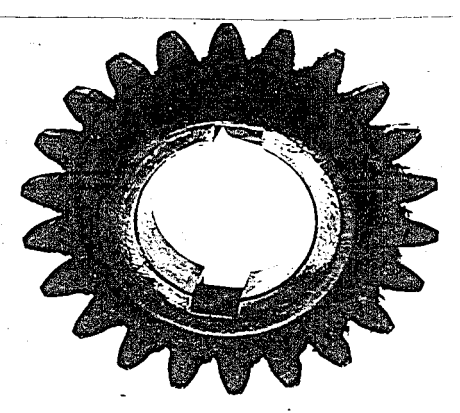
12.41. G/0514

Beilage 5 zum Bericht vom 5. August 1944.

001356



a) Laufzeit 28 h bei 150°C



b) Laufzeit 56 h bei 150°C

Abb. 5. Ritzel nach verschiedenen Laufzeiten in GOW, gefettet, Rhenania-Ossag.

12.41. C/0514

001357 FORSCHUNGSINSTITUT
FOR KRAFTFAHRWESEN UND
FAHRZEUGMOTOREN
TECHNISCHE HOCHSCHUE STUTTGARI Untersuchungen sur entwicklung des Solbsteindungsbetriebs im ge-mischverdichtenden Motor FKFS 392

Untersuchungen zur Entwicklung des Selbstzündungsbetriebs im gemischverdichtenden Motor.

#### Uebersicht:

Bei gegebenem mittlerem Arbeitsdruck ist eine Erhöhung der Mubraumleistung durch Steigerung der Motordrehzahl möglich, was für gleichbleibende mittlere Kolbengeschwindigkeit eine Verkleinerung des Einzelzylinders und eine Vergrösserung der Zylinderzahl zur Folge hat. Die Verkleinerung des Hubraums ergibt Schwierigkeiten, besonders auch hinsichtlich der Zündanlage, da diese in Gewicht und Abmessungen einen immer grösseren Anteil an der gesamten Motoranlage einnimmt. Der Wegfall der Zundanlage durch anwendung des Selbstzündungsverfahrens würde also besondere Vorteile bringen.

Für die Selbstzündung kommen nur zündwillige Kraftstoffe mit entsprechend geringer Klopffestigkeit in Betracht, Da bekanntlich bei der Synthese die Kraftstoffausbeute mit abnehmender Klopffestigkeit zunimmt, lag der Gedanke nahe, Synthese-Kraftstoffe im Selbstzündungsverfahren zu erproben.

Vom Selbstzündungsbetrieb ist mithin eine wirtschaftlichere Verwendung von Kraftstoffen niederer Oktanzahl, ein vereinfachter Motoraufbau und eine Steigerung der Schnelläufigkeit zu erwarten.

Die Untersuchungen, die auf Vorversuchen im Auftrag des Reichsverkehrsministeriums aufbauen, dienen dem Zweck, die für Selbstzündung erforderlichen Betriebsbedingungen von der Kraftstoff- und Motorseite her weiter-

Ernst/Dorr

29.3.41

Ersatz far

Eraetzt durch

A.Nr.1063

Se. 166. A 4. Albert Hartz, Stuttgart.

200

B1. 2

#### 001359

gehend zu klären, den Verbrennungsablauf bei Selbstzündung zu erforschen und damit die Grundlagen des motorischen Betriebs mit Selbstzündung zu erarbeiten.

Forschungsinstitut für Kruftfehrwesen und Fahrzeugmotoren an der Technischen Hochschule Stuttgart.

Institutsleiter:

1. Varme

Die Untersuchungen wurden im Auftrag des Reichsamts für Wirtschaftsausbau durchgeführt. Die erwähnten Vorarbeiten im Auftrag des Reichsverkehrsministeriums werden in der Deutschen Kraftfahrtforschung als Zwischenbericht veröffentlicht.

Bearsoller:
Profer: Ernst/Dörr

Tag: 29.3.41

Ersatz für

Ersetzt durch

A.Nr. 1063

lugie Verwandang ist strafbar and schadeneralepflichtig

#### Gliederung:

- 1. Stand der Erkenntnisse
- 2. Voraussetzung für Selbstzündung bei Gemischverdichtung
- 3. Durchführung der Versuche
- 4. Ergebnisse der Untersuchungen
  - a) Schaffung eines Selbstzundungsbetriebs
  - b) Versuche zur Anpassung des Kraftstoffs an die Selbstzundung
  - c) Verringerung der Klopfneigung
  - d) Einfluss der Gemischzusammensetzung
  - e) Versuche zur Verbreiterung des Gebiets der klopffreien Selbstzündung
  - f) Betriebsverhalten bei klopffreier Selbstzündung
  - g) Anfahrversuche
  - h) Untersuchung des Druckverlaufs und der Strahlung
- 5. Beurteilung der Ergebnisse
  - a) Glüh,-Restgas- und Selbstzündung
  - b) Die weiteren Aufgaben
- 6. Zusammenfassung.

Der Bericht umfasst: 27 Seiten Beschreibung 13 Bilder.

Abteilungsleiter:

L. Huber.

Stuttgart, den 29.3.1941. FKFS-Nr. 392

Bearbeiter:

Bearbeller: Ernst/Dörr

Tog: 29.3.41

Ereatz für

Ereetzt daren

A.Nr.1063

Se. 146. A 4. Albert Hartz, Stuttgart.

### 1. Stand der Erkenntnisse.

001361

Selbstzündungsvorgänge ergeben sich nicht nur bei der dieselmotorischen Verbrennung, sondern u.U. auch bei der Umsetzung des Kraftstoffes im Ottomotor. Während jedoch beim Dieselbetrieb die Selbstzündung Voraussetzung für den Verbrennungsablauf ist, erscheint die Selbstzündung beim Ottomotor in Form des unerwünschten und störenden Klopfvorgangs. Diese bei beiden Verfahren auftretenden Erscheinungen sind ähnlich.

Die Umsetzung des Kraftstoffs gliedert sich allgemein in die zur Zündung führenden Vorgänge und die restliche Umsetzung des Gemischs. Der Umsetzungsvorgang beginnt schon bei Druck- und Temperaturverhältnissen unterhalb der Entzundungstemperatur [1] . Die Reaktionen laufen dabei bei kleinen Umsetzungsgeschwindigkeiten ab. Die freiwerdenden Wärmemengen können zunächst an die umgebenden Schichten abgeleitet werden und brauchen somit nicht zu einer Entzündung des Gemisches zu führen. Erfolgt jedoch der Umsatz unter Verhältnissen, bei denen der Wärmeverlust der erzeugten Wärmemenge gleich ist, so ist nach van t-Hoff die Entzündungstemperatur erreicht. Damit kann eine fortschreitende Selbsterwärmung des Gemisches eintreten, die ihrerseits wieder zu beschleunigter Umsetzung führt. An örtlich überhitzten Stellen kenn schliesslich Explosion einsetzen (Wärmeexplosion). Von diesen Zündstellen breitet sich eine Verbrennungsfront hoher Temperatur mit grosser Brenngeschwindigkeit und Umsetzungsbeschleu-

Neben dieser Wärmeexplosion kann bei der Reaktion von Kohlenwasserstoffverbindungen immer eine sogenannte Kettenreaktion mit Kettenverzweigung nachgewiesen werden, d.h. ein Freiwerden aktiver Atome und Radikale, die ihrerseits wieder weiter reagieren und damit den Umsetzungsprozess beschleunigen. Von wenigen aktiven Ausgangsstoffen

Bearbeiler Ernst/Dörr

Indelegia Veretadop. al strofar and reducerrate plebug

rag: 29.3.41

Ersatz für

Ersetzf durch

A.Nr.1063

kann damit ein sehr grosser Umsetz bewältigt werden. Reine Kettenreaktionen treten etenso wie reine Wärmeexplosionen selten auf. Die in Bombenversuchen und auch im Motorbetrieb nachgewiesenen sogenannten "kalten Flammen" werden als reine Kettenreaktionen gewertet.

Bei den motorischen Verbrennungsvorgängen ist die Wärmeexplosion immer mit Kettenreaktionen verbunden.

Die Selbstzündung im Ottomotor ist auf andere Ursachen zurückzuführen als die bei der Dieselverbrennung.

Der Kraftstoff im verdichteten Kraftstoffluftgemisch ist vor der durch einen Zündfunken erfolgenden Entzündung praktisch verdampft. Von der Zündstelle breitet sich die Verbrennungsfront mit verhältnismässig geringer Geschwindigkeit aus. Dabei steigt im unverbrannten Teil der Ledung die Temperatur als Folge der durch die Verbrennung hervorgerufenen Druckernöhung, wobei das Restgemisch eine sehr lebhafte Oxydation erfährt. Geht diese Oxydation in Selbstzündung über, bevor die von der Zündstelle ausgehende Verbrennungsfront den Restteil der Ledung durcheilt hat, so brennt der Restteil praktisch gleichzeitig ab und erreicht örtlich hohe Drücke und Temperaturen.

Als Folge dieser Druckunstetigkeiten entsteht eine Stosswelle, die mit Geschwindigkeiten über der Schallgeschwindigkeit den Verbrennungsraum durcheilt, verbunden mit dem als Klopfen bezeichneten Geräusch. Voraussetzung für das Zustandekommen des Klopf- bzw. Selbstzündungsvorganges ist also eine Vorreaktion im unverbrannten Restteil der Ladung.

Da bei der <u>Dieselumsetzung</u> der Kraftstoff in die verdichtete Luft eingespritzt wird, überlagern sich hier Zerstäubung, Verdampfung und Umsetzung des Kraftstoffes, wodurch für diese Selbstzündung ein verwickelter chemischphysikalischer Vorgang entsteht. Die Verdampfung des Kraftstoffstrahls setzt bei den früh eingespritzten Randteil-

BearbeiterErnst/Dörr Profer:

and schadeneralinglickile

stre/sar

Verynadus tel

Unbefrgie

A CONTRACTOR OF THE PARTY OF TH

Tag: 29.3.41

Ereatz für

Ersetzt durch

A.Mr.1063

chen ein, da hier die kleinste Tropfengeschwindigkeit und der kleinste Tropfendurchmesser vorhanden sind. Diese verdampften Teilchen werden zuerst aktiv und leiten durch Zusammenstoss mit den Sauerstoffmolekülen der Luft den chemischen Umsatz ein; dann verbrennt mit sehr kurzer Zündzeit der bis dahin eingespritzte Kraftstoff, worauf der restliche in der Einspritzung befindliche Kraftstoff entsprechend der Einspritzgesetzmässigkeit vollends abbrennt.

Auch beim Dieselmotor kann Klopfen einsetzen und zwar dadurch, dass der Kraftstoff einen zu grossen Zündverzug besitzt. Dann ist beim Beginn der Entzündung schon so viel Kraftstoff eingespritzt, dass das plötzliche Abbrennen dieser verhältnismässig grossen Kraftstoffmengen zu sehr steilem Druckanstieg und damit zum Klopfen führt.

Beim Ottomotor liegt somit die Ursache der Selbstzündung (Klopfen) in einer zu grossen Zündwilligkeit (zu rasches Abbrennen des Ladungsrestes), beim Dieselmotor dagegen in einer zu geringen Zündwilligkeit des Kraftstoffes. Aus diesem Grunde verwendet man auch zur Verringerung der Klopfneigung eines Ottokraftstoffes Zusätze, die infolge ihrer kettenabbrechenden Wirkung die Zündwilligkeit des Kraftstoffes herabsetzen.

# 2. Voraussetzungen für Selbstzündung bei Gemischverdichtung.

Die zu erwartenden Umsetzungsvorgänge bei Selbstzündung mit Gemischverdichtung lassen sich in ihrer Gesamtheit weder mit der üblichen Diesel-, noch mit der Ottoverbrennung vergleichen.

Mit dem Ottoverfahren ist die Gemischaufbereitung gemeinsam. Beim Ottomotor wird aber die Verbrennung durch einen Zündfunken eingeleitet. Die Flamme breitet sich von der Zündstelle nicht infolge einer selbsttätigen Reaktion

Bearbeller: Ernst/Dörr

r Tag: 29.3.41

Ereatz für

Ersetzt darch

A.Nr. 1063

chen ein, da hier die kleinste Tropfengeschwindigkeit und der kleinste Tropfendurchmesser vorhanden sind. Diese verdampften Teilchen werden zuerst aktiv und leiten durch Zusammenstoss mit den Sauerstoffmolekülen der Luft den chemischen Umsatz ein; dann verbrennt mit sehr kurzer Zündzeit der bis dahin eingespritzte Kraftstoff, worauf der restliche in der Einspritzung befindliche Kraftstoff entsprechend der Einspritzgesetzmässigkeit vollends abbrennt.

Auch beim Dieselmotor kann Klopfen einsetzen und zwar dadurch, dass der Kraftstoff einen zu grossen Zündverzug besitzt. Dann ist beim Beginn der Entzündung schon so viel Kraftstoff eingespritzt, dass das plötzliche Abbrennen dieser verhältnismässig grossen Kraftstoffmengen zu sehr steilem Druckanstieg und damit zum Klopfen führt.

Beim Ottomotor liegt somit die Ursache der Selbstzündung (Klopfen) in einer zu grossen Zündwilligkeit (zu rasches Abbrennen des Ladungsrestes), beim Dieselmotor dagegen in einer zu geringen Zündwilligkeit des Kraftstoffes. Aus diesem Grunde verwendet man auch zur Verringerung der Klopfneigung eines Ottokraftstoffes Zusätze, die infolge ihrer kettenabbrechenden Wirkung die Zündwilligkeit des Kraftstoffes herabsetzen.

# 2. Voraussetzungen für Selbstzündung bei Gemischverdichtung.

Die zu erwartenden Umsetzungsvorgänge bei Selbstzündung mit Gemischverdichtung lassen sich in ihrer Gesamtheit weder mit der üblichen Diesel-, noch mit der Ottoverbrennung vergleichen.

Mit dem Ottoverfahren ist die Gemischaufbereitung gemeinsam. Beim Ottomotor wird aber die Verbrennung durch einen Zündfunken eingeleitet. Die Flamme breitet sich von der Zündstelle nicht infolge einer selbsttätigen Reaktion

Beatbeller: Ernst/Dörr Tag: 29.3.41 - Ereats für Ereats durch A.Nr. 1063

des Gemisches, sondern infolge der durch das Fortschreiten einer dünnen Flammenfront gegebenen chemischen Umsetzung aus. Erst wenn Selbstzündung des unverbrannten Restgemisches (Klopfen) eintritt, sind ähnliche Verhältnisse vorhanden, wie sie für das Selbstzündungsverfahren in Frage kommen.

Das Restgemisch brennt im Ottomotor bei Selbstzündung praktisch gleichzeitig ab. Da bei gemischverdichtender Selbstzündung für das ganze Gemisch die Voraussetzungen
gegeben sein müssen, die für eine plötzliche Verbrennung
erforderlich sind, sind hierbei eine ähnlich rasche Umsetzung des Semisches und damit auch Klopferscheinungen
zu erwarten.

Der Vergleich mit der Dieselverbrennung führt zu ähnlichen Schlussfolgerungen. Nimmt man an, der eingespritzte Kraftstoff habe im Dieselmotor einen grösseren Zündverzug als der Einspritz- und Verdampfungszeit des gesamten Strahls entspricht, so dass also vor der Entzündung der gesamte Kraftstoff diffundiert und verdampft ist, so liegen ähnliche Verhähtnisse vor, wie bei der gemischverdichtenden Selbstzündung. Für einen so grossen Zündverzug ergeben sich aber nach den allgemeinen Erfahrungen im Dieselmotor infolge der plötzlich verbrennenden grossen Kraftstoffmenge sehr harter Gang, starker Druckanstieg und dabei heftige Klopferscheinungen.

Sowohl der Vergleich mit der Otto-, als auch mit der Dieselverbrennung lässt somit klopfende Verbrennung bei gemischverdichtender Selbstzündung erwarten.

Wenn auch eine restlose Beseitigung des Klopfbetriebs bei Selbstzündung zunächst nicht möglich erscheint, so ist doch bekannt, dass hohe Brenn- und Reaktionsgeschwindigkeiten Voraussetzung für Klopferscheinungen sind. Eine Herabsetzung dieser Geschwindigkeiten müsste somit auch zu einer Verringerung des Klopfens führen.

Bearbeller: Ernst/Dörr | Tog: 29.3.41 | Erealz für | Erealzt durch | A.Nr. 1063

## 3. Durchführung der Versuche.

001365

Zur Klärung der Selbstzundungsverhältnisse wurden praktische Versuche an zwei Motoren von 200 und 700 cm<sup>3</sup> Hubraum durchgeführt:

Der 200 cm<sup>3</sup>-Motor war ein luftgekühlter Einzylindermotor und wurde üblicherweise als Ottomotor im Viertakt betrieben. Der Verbrennungsraum war helbkugelig mit hängenden Ventilen.

Der 700 cm<sup>3</sup>-Motor war ein wassergekühlter Einzylinder motor, der mit veränderlichem Verdichtungsverhältnis als Dieselmotor verwendbar ebenfalls im Viertakt arbeitete. mit seitlich stenenden Ventilen.

Mit diesen beiden Motoren konnten die Einflüsse der Kopfform, der Drehzahl, der Zylindergrösse und der Art der Motorkühlung untersucht und verglichen werden. Dabei wurden das Betriebsverhalten, die Leistungs- und Verbrauchswerte, der Druckverlauf und der Einfluss der Gemischzusammensetzung bei Selbstzündung untersucht. Die Art der Durchführung der Versuche war die übliche mit den gebräuchlichen Hilfseinrichtungen.

Die bei den späteren Untersuchungen hauptsächlich verwendeten Kreftstoffe haben folgende Kennwerte (Zanlentafel 1).

## Zahlentafel 1 - Kennwerte der verwendeten Kraftstoffe

Kraftstoff Siedekennzahl	Cetan- zahl	Oktan- zahl	Wichte
Primärbenzin 73	34	50,5	0,666
RCH-Diesel- 240,5 Kraftstoff	78	(-80)	0,766
Mischung: 60 RT Primër- 129 benzin 40 RT RCH-Diesel- kraftstoff	, 49	~+5	0,708
Ernst/Dürr log: 29.3.41 Eroci	2 for	Ersetzt durch	A.Nr. 1063

Se, 146. A 4. Albert Hartz, Stuffgart.

## 4. Ergebnisse der Untersuchungen.

## a) Schaffung eines Selbstzündungsbetriebs.

Der 200 cm<sup>3</sup>-Motor wurde bei seiner üblichen Verdichtung von 6,3 mit Kerzenzündung warm gefahren. Mit Leunabenzin und 3 staethylnitrat als Kraftstoff konnte die Zündung bei einer Temperatur am Zündkerzensitz von rund 250° abgeschaltet werden und der Motor mit der gleichen Leistung von 4,5 PS bei Verbräuchen von 400 g/PSh weiter betrieben werden. Der betrieb war klopffrei, doch war der Motor nur in einem sehr kleinen Belastungs- und Drehzehlbereich betriebsfähig. Die Motortemperatur erhöhte sich dabei teilweise bis zum Glühen des Kerzensitzes, so dass mit grosser Wahrscheinlichkeit Glühzündung vorhanden war.

Bei höheren Verdichtungen (7,7 und 10,2) wer ebenfalls nur bei Zusatz von Aethylnitrat Selbstzündung zu erreichen. Die Temperatur, bei der die Kerze abgeschaltet werden konnte, wurde dabei nach kürzerer Laufzeit erreicht. Vor und nach dem Ausschalten der Zündkerze lief der Motor klopfend. Er erreichte ebenfalls hohe Temperaturen und musste mit einem Gebläse stark gekühlt werden. Die Verbräuche lagen im Mittel mit 400 bis 500 g/PSh verhältnismässig hoch, während die Leistung wenig unterhalb der Leistung mit dem gleichen Kraftstoff im Ottobetrieb lag. Immerhin war aber der Motor regelbar und sprach auf einen Drehzanlbereich von 2500 bis 5000 U/min an. Wurde die Drossel noch weiter geöffnet, so stellte sich ein sehr hartes Klopfen ein, das den Motor innerhalb weniger Sekunden über die höchstzulässigen Temperaturen erhitzte. In einem solchen Bereich konnte trotz stärkster Kühlung nicht gefahren werden.

Der Betrieb ergab somit die kennzeichnenden Merkmale eines wesentlich gesteigerten Ottoklopfbetriebs. Beim
Ausbau der Kolben nach mehrstündigem Betrieb zeigten sich
die bekannten Klopfanfressungen mit z.T. fingerstarken

Bearbailer: Ernst/Dorr

Tag: 29.3.41

Eraatz für

Ersetzt durch

A.Nr. 1063

001367

Aushöhlungen am Kolbenboden, Bild 1. Ausserdem konnten häufig Ringbrüche und Lagerbeschädigungen festgestellt werden. Durch entsprechende Behandlung der Kolbenoberflächen und Einbau von Songerringen wurde zunächst versucht, diesen Schwierigkeiten entgegenzuwirken. Die Versuche erbrachten aber keine wesentliche Verbesserung.

# b) Versuche zur Anpassung des Kraftstoffs an die Selbstzündung.

Die in der Synthese anfallenden Kraftstoffe von verhältnismässig niedriger Oktanzahl, mit höherer Zündwilligkeit als der Ottokraftstoff und niedriger Siedekennzahl sind weder für den Otto- noch für den Dieselmotor geeignet. Diese Kraftstoffe schienen aber gerade infolge dieser Eigenschaften zur Verwendung im vorgesehenen Selbstzündungsbetrieb besonders geeignet, da einerseits die niedrige Siedekennzahl eine leichte Zerstäubung und Verdampfung gewährleistet, andererseits eine gute Zündwilligkeit für Selbstzündung erwünscht ist.

Die in Frage kommenden Kraftstoffe (Zahlentafel 1), wurden durch Erprobung im Motorbetrieb auf ihre Selbstzündungseignung untersucht<sup>+)</sup>.

Zunächst wurde des Verhalten des Primärbenzins ohne jeden Zusatz untersucht. Bei einer Verdichtung von 7,7 konnte auch bei sehr hohen Betriebstemperaturen ein Selbstzündungsbetrieb nicht erzielt werden.

Bei Zusätzen von Aethylnitrat arbeitete der Motor mit Eigenzündung, doch waren verhaltnismässig hohe Zumischungen notwendig; bei 5% Aethylnitrat konnte auch bei mittleren Temperaturen gefahren werden. Bei geringeren Zusätzen war dies praktisch nicht möglich.

Bearbeller: Ernst/Dörr

Dorr 709: 29.3.41

Ersalz för

Erzetzt durch

A.Nr. 1063

<sup>+)</sup> Die Kraftstoffe für die Untersuchungen wurden von der Ruhrbenzin A.G., Oberhausen-Holten, kostenlos zur Verfügung gestellt. Das Institut dankt auch an dieser Stelle für das grosse Entgegenkommen.

Offenbar war die Verdichtung 7,7 zu niedrig. Bei Erhöhung der Verdichtung auf 10,2 war ohne jeden Zusatz ein Betrieb möglich, allerdings nur bei höhen Betriebstemperaturen, so dass auch hier Aethylnitratzusätze zur Verwendung kamen. Die Zusätze konnten entsprechend geringer gehalten werden. Mit 0,5 bis 2% Zusatz liess sich ein Selbstzündungsbetrieb ohne weiteres durchführen.

Geringe Zusätze von Dieselöl brachten keine Verbesserung. Weitere Untersuchungen mit verschiedenen Mischungen können hier übergengen werden, da keinerlei Verbesserungen erzielt wurden. Die bisherigen Ergebnisse liessen vermuten, dass die Ursache des ungünstigen Betriebsverhaltens in der zu geringen Zündwilligkeit des Primärbenzins zu suchen ist.

Für die weiteren Versuche gelangten daher Gemische von Primärbenzin mit RCH-Dieselkraftstoff, einem zünd-willigeren höhersiedenden Kraftstoff, zur Verwendung. Die Untersuchungen wurden wieder mit der Verdichtung 7,7 begonnen.

Bei einem Zusatz von 2% Aethylnitrat wurden verschiedene Mischungen Primärbenzin-RCH-Dieselkraftstoff erprobt. Sie brachten bei geringen Anteilen von RCH-Kraftstoff keine feststellbaren Verbesserungen, doch zeigte sich, dass mit Erhöhung des RCH-Kraftstoffgehalts Selbstzündungsbetrieb leichter erreicht wurde. Bei 40% RCH-Kraftstoffanteilen war der Betrieb gut, so dass bei dieser Mischung der Aethylnitratgehalt auf 0,5% gesenkt werden konnte. Mit weiterer Erhöhung des RCH-Dieselkraftstoffgehalts (50 bis 80%) wurden die Betriebseigenschaften bei Selbstzündung wieder ungünstiger, infolge der schlechten Verdampfungseigenschaften dieses Dieselkraftstoffs.

Daraus wurde geschlossen, dass bei Erhöhung des Verdichtungsverhältnisses auch ohne Aethylnitrat gefahren werden kann. Zuerst wurden bei  $\epsilon=10,2$  wieder Gemische mit niedrigen Anteilen an RCH-Dieselkraftstoff erprobt.

Bearbeiter Ernst/Dörr

Tag: 29.3.41

Ersatz får

Erzetzt durch

A Nr.1063

Auch hier zeigte sich erst bei 30 % Anteil von RCH-Dieselkraftstoff ohne Zusatz von Aethylnitrat ein brauchbarer Betrieb; bei 40 % RCH-Dieselkraftstoff ergaben sich günstige Verhältnisse, die auch bei Zusatz von Aethylnitrat nicht verbessert werden konnten.

Wurden die Anteile an RCH-Kraftstoff noch mehr erhöht, so wurden die Betriebseigenschaften wieder ungünstiger. Erwähnenswert ist noch, dass eine weitere Erhöhung der Verdichtung bei diesem Motor auf 11,9 wohl gute Betriebseigenschaften, aber keine genügende Leistung mehr ergibt.

Die günstigsten Selbstzundungsverhältnisse lagen somit bei einer Mischung von 60 % Primärbenzin und 40 % RCH-Kraftstoff. Mit dieser Mischung wurden die weiteren Untersuchungen durchgeführt.

Bei allen bis jetzt untersuchten Mischungen wurde kein klopffreier Betrieb erzielt.

Die weiteren Untersuchungen konnten damit in zwei Richtungen angesetzt werden:

- 1.) Belæssung des Klopfbetriebs und Versuche zur Behebung der Klopfauswirkungen.
- 2.) Untersuchung aller in Frage kommenden Massnahmen, um einen <u>klopffreien</u> Selbstzündungsbetrieb zu erzwingen.

In Bild 2 sind die bei der günstigsten Mischung gemessenen Leistungs- und Verbrauchswerte eingezeichnet, ausserdem zum Vergleich die im Ottobetrieb mit Kerzenzündung bei einer Verdichtung von 6,3 sich ergebenden Werte. Die im Selbstzündungsbetrieb ermittelten Leistungen liegen demnach unter den Ottobetriebswerten; der Verbrauch ist mit rd. 370 g/PSh bei 5000 U/min ebenfalls ungünstiger als der Verbrauchswert bei Betrieb mit Kerzenzündung.

Bearbeiter: Prajer: Ernst/Dörr

Tag: 29.3.41

Ereatz für

Ersatzt durch

## c) Verringerung der Klopfneigung.

Obwohl nach den heutigen Erkenntnissen nicht damit zu rechnen war, dass sich eine Kraftstoffmischung finden liesse, die klopffreien Selbstzündungsbetrieb ergibt, wurde doch bei den Untersuchungen immer wieder versucht, durch Wahl verschiedenster Mischungen und Veränderungen am Verbrennungsraum, Erfassung der Temperatur- und Verdichtungseinflüsse möglichst klopffrei zu fahren oder das Klopfen zu verringern.

Der für Selbstzündung besonders geeigneten Mischung aus 60 R.T. Primärbenzin und 40 R.T. RCH-Dieselkraftstoff wurden geringe Zusätze von Eisenkarbonyl als Klopfbremse beigegeben und diese Zusätze dann erhöht. Dabei zeigte sich, dass bei Zusätzen bis zu 0,25% Eisenkarbonyl ein Selbstzündungsbetrieb noch möglich war, bei dem aber immer noch hartes Klopfen auftrat. Bei 0,5% Eisenkarbonyl liess das Klopfen nach, doch war damit bereits die Selbstzündungsgrenze erreicht. Für noch grössere Zusätze von Eisenkarbonyl war Selbstzündung nicht mehr möglich. Die Grenze der Zündwilligkeit war unterschritten.

Das gleiche Ergebnis erhielt man auch bei anderen Mischungen, z.B. bei einer Mischung Aethylnitrat-Primärbenzin. Auch hier war bei Zumischung von 0,5% Eisenkarbonyl kein Betrieb möglich. Wird der Gehalt an Eisenkarbonyl verringert, so tritt in dem Augenblick Klopfen auf, in dem wieder Selbstzündung möglich ist. Die Versuche, von der Kraftstoffseite her das Klopfen zu unterbinden, wurden damit abgebrochen.

Schliesslich wurden noch einfache Veränderungen am Verbrennungsraum vorgenommen mit dem Ziel, durch Zer-klüftung des Verbrennungsraumes die Klopfneigung zu ver-ringern.

Im Kolbenboden wurde eine Aussparung ausgefräst und am Zylinderkopf ein Stift, der als glühende Zündstelle dienen sollte, in den Verbrennungsraum eingeschraubt mit der Absicht, auf diese Weise eine Verlangsamung des Ab-

Bearbeiter: Ernst/Dörr

Tag: 29.3.41

Ereatz far

Ersetzt durch

brennens zu erreichen. Irgendwelche nennenswerten Verbesserungen wurden debei nicht erzielt.

# d) Einfluss der Gemischzusammensetzung.

Eingangs wurde festgestellt, dass die Ursache des Klopfens in der plötzlichen Umsetzung des Kraftstoffluftgemisches zu suchen ist. Versucht man, durch Klopfbremsen die Umsetzung des Gemisches zu verlangsamen, so führt dies zu einer Verringerung der Zündneigung ohne Beseitigung der Klopferscheinungen. Daraus ergibt sich, dass die Zündneigung als solche nicht verschlechtert werden darf, wenn mit Selbstzündung gefahren werden soll. Weitere Versuche wurden daher nur noch mit zündwilligen Kraftstoffen

Die Untersuchungen über das Klopfen führten zu der Erkenntnis, dass Klopfen mit entsprechend erhöhter Umsetzungsgeschwindigkeit vor sich geht. Eine Verringerung der Umsetzungsgeschwindigkeit muss also zwangsläufig zu einer Verminderung des Klopfens führen. Damit bestand eine weitere Möglichkeit darin, bei Belassung einer Kraftstoffmischung mit guten Zündeigenschaften zu versuchen, die Verbrennungsgeschwindigkeit zu verringern. Bekanntlich wird die Umsetzungsgeschwindigkeit wesentlich von der Zusammensetzung des Kraftstoff-Luft-Gemisches beeinflusst. Als nächster Schritt wurde daher bei gemischverdichtender Selbstzündung mit dem obigen Kraftstoffgemisch der Einfluss der Kraftstoff-Luft-Gemischzusammensetzung auf das Klopfverhalten festgestellt.

Die Gemischzusammensetzung ist bei üblichen Vergasern nur beschränkt veränderlich; zu der für diesen Zweck notwendigen beliebigen Einstellung des Kraftstoff-Luftgemisches für verschiedene Drehzahlen sind sie ungeeignet. Für die Untersuchung des Einflusses des Kraftstoff-Luftgemisches wurde deshalb ein besonderer Vergaser ent-

Bearbeller:Ernst/Dörr

Tag: 29.3.41

Ereals for

Ersetzt durch

wickelt, der eine getrennte Regelung des Kraftstoff-Luftgemisches unabhängig vom Betriebszustand des Motors ermöglichte. Der Vergaser wurde zunächst für den seitengesteuerten wassergekühlten 700 cm³-Motor gebaut. Das Mischungsverhältnis wurde durch getrennte Messung der angesaugten Luft mittels Drehkolbengasmesser und der verbrauchten Kraftstoffmenge mit üblichen Einrichtungen festgestellt. Bei einer Verdichtung von 10 wurde die für Selbstzündung besonders geeignete Mischung aus 60 R.T. Primärbenzin und 40 R.T. RCH-Kraftstoff verwendet.

Im Drehzahlbereich von 800 bis 2400 U/min wurde bei voll geöffneter Drossel der Einfluss des Mischungsverhältnisses auf das Klopfverhalten ermittelt und dabei Leistung und Verbrauch gemessen.

Wie aus Bild 3 zu ersehen ist, konnte der Motor bei Selbstzündung innerhalb eines gewichtsmässigen Mischungsverhältnisses i von Luft zu Kraftstoff von 6 bis 28 betrieben werden. Dabei zeigten sich folgende beachtenswerten Erscheinungen:

Bei 2200 U/min war unterhalb eines Mischungsverhältnisses von rd. 8 kein Betrieb möglich. In einem Mischungsverhältnis von 8 bis 10 (reiche Einstellung) ergat sich
ein praktisch klopffreier Selbstzündungsbetrieb. Bei Verhältniswerten i zwischen 10 und 25, war die Selbstzündung
mit teilweise heftigem Klopfen verbunden. Ein längerer
Betrieb war unmöglich, da sich mit dem Klopfen sehr hohe
Zylindertemperaturen einstellten, die nach einiger Zeit
zum Abstellen des Motors zwangen. Zwischen i = 25 und
i = 28 (arme Einstellung) stellte sich wiederum klopffreier Betrieb ein. Ueber i = 28 war der Motor nicht mehr
betriebsfähig. Bei niederen Drehzahlen waren die Ergebnisse ähnlich, z.B. lagen bei 1200 U/min die klopffreien
Bereiche zwischen i = 6 und 7 und zwischen i = 24 und
27. In den Uebergängen von klopffreiem zum Klopfbetrieb

Bearbeller: Ernst/Dorr

Tog: 29.3.41

Erzatz for

Ersetzt durch

war bei geringer Aenderung des Mischungsverhältnisses sofort ein stärkeres klopfen festzustellen, der Uebergang
war also nicht stetig. In Bild 3 sind oben die bei den
Messungen festgestellten Verbrauchszahlen und Leistungen
eingetragen. Die Leistungen betragen im klopffreien Gebiet bei reicher Einstellung bei 2200 U/min rd. 8 PS, bei
armer Einstellung rd. 7 PS. Dies entspricht einer Hubraumleistung von ungefähr 12 PS/L.

Die Verbrauchszahlen des klopffreien kraftstoffreichen Betriebszustends waren mit 400 bis 900 g/PSh sehr
hoch; die des klopffreien armen Zustandes betrugen 190
bis 240 g/PSh. Diese Werte gelten für den Einzylindermotor mit seinem verhältnismässig schlechten mechanischen
Wirkungsgrad. Die Verbrauchszahlen im Klopfbetrieb lagen
zwischen denen bei armem und reichem klopffreiem Betrieb.

Die Zylinderkopftemperaturen am Sitz eines in das Kerzengewinde eingeschraubten Bolzens zwischen Ein- und Auslaßventil waren in den klopffreien Bereichen mit 150°C verhältnismässig niedrig. Die Betriebstemperaturen des Kühlwassers des wassergekühlten Versuchszylinders lagen zwischen 60 und 90°C.

Der klopffreie Selbstzündungsbetrieb bei kraftstoffreicher Mischung kommt infolge seines hohen verbrauchs wirtschaftlich nicht in Frage, ebensowenig der
Klopfbereich wegen seiner ungünstigen Betriebseigenschaften
(Abfallen der Leistung nach kurzem Betrieb, Klopfanfressungen); lediglich der klopffreie arme Betrieb erscneint
für die Verwirklichung des Selbstzündungsbetriebs günstig.
Schwierigkeiten bereitet dabei hauptsächlich noch die
große Empfindlichkeit der klopffreien Selbstzündung auf
das Mischungsverhaltnis.

e) Versuche zur Verbreiterung des Gebiets der klopffreien Selbstzündung.

Die Ursache der Klopffreiheit im Selbstzundungsbe-

Bearbetter: Profer: Ernst/Dörr

Tag: 29.3.41

Éraatz jar

Erzetzt durch

trieb liegt nicht in einer Verringerung der Zündwilligkeit, sondern lediglich in einer Verringerung der Verbrennungsgeschwindigkeit. Eine prektische Anwendung des klopffreien Selbstzündungsmotors verlangt eine Verbreiterung des klopffreien Bereichs, daneben aber die Entwicklung eines genau arbeitenden Regelgeräts zur Einsteltung der erforderlichen Gemischzusammensetzung.

Im Rahmen der vorliegenden Arbeiten wurde versucht, von der Motorseite her den klopffreien Bereich zu verbreitern. Zur Beeinflussung des Verbrennungsablaufs wurde in den seitengesteuerten Motor eine Beikammer aus hitzebeständigem Werkstoff eingesetzt, Bild 4. Diese erste Beikammer hatte einen Inhalt von 6 cm³ und wurde mit verschiedenen Mündungsquerschnitten erprobt, ebenso eine zweite Kammer mit 12 cm³ Inhalt.

Die erste Beikammer mit einem Mündungsdurchmesser von 6 mm brachte zunächst keine sichtbare Verbesserung. Erst nach Erweiterung des Mündungsdurchmessers auf 12 mm war eine gewisse Verbreiterung des klopffreien armen Bereichs festzustellen. Die zweite Beikammer zeigte schliesslich mit einem Mündungsdurchmesser von 12 mm die besten Ergebnisse. Mit dieser Beikammer war ein mehrstündiger Dauerlauf zu erreichen, ohne dass die Gemischeinstellung nachgestellt werden musste; doch blieb auch nier der klopffreie arme Mischungsbereich noch klein. Grundsätzlich wurde aber eine Verbesserung gegenüber dem Betrieb ohne Beikammer festgestellt, da ohne Beikammer der Betrieb dauernd überwacht und der Vergaser nachgestellt werden musste, während dies bei Anordnung der Beikammer nicht nötig war.

Bei der Schaffung eines betriebsfähigen Motors wäre eine weitere Verbreiterung dieses Bereichs eine weschtliche Erleichterung. Dies soll späteren Untersuchungen vorbehalten sein.

Bearbeiler:
Profer: Ernst/Dörr

reg: 29.3.41

Ereatz für

Ersetzt durch

# f) Betriebsverhalten bei klopffreier Selbstzündung. 700 cm3-Motor, seitengesteuert, wassergekühlt.

Die beim Anlassen des Motors sich ergebenden besonderen Verhältnisse sind später besprochen. Für den Prüfstandsbetrieb wurde der Motor mit Kerzenzündung hochgefahren, in den klopffreien armen Bereich eingestellt und sofort die Zündung ausgeschaltet; der Motor lief dann ohne Klopfen weiter. Im kalten Zustand des Motors liess sich klopffreier Selbstzündungsbetrieb bei sehr niederen Drenzahlen nur schwer halten. War der Motor betriebswarm, so konnte im ganzen Drehzahlbereich des Motors klopffrei gefahren werden. Wesentliche Veränderungen in der Betriebswärme, ebenso grosse Drenzahlunterschiede erforderten eine entsprechende Nachregelung der Jemischeinstellung.

Die Zylinderkopftemperaturen blieben bei diesem wassergekühlten Motor auch bei längerem Betrieb gleich.

Im Klopfbetrieb wer, wie schon erwähnt, die günstigste Verdichtung 10. Für den klopffreien Bereich ergaben, sich praktisch die gleichen Verhältnisse. Auch hier war bei Verkleinerung des Verdichtungsverhältnisses auf 8 die Selbstzündungsgrenze erreicht. Bei Ernöhung der Verdichtung war ein Abfallen der Leistung festzustellen, obwohl die Selbstzundungsneigung grösser wurde, was hier auf die Eigenart des Motors zurückgeführt werden kann (seitengesteuerte Ventile).

Bild 5 zeigt die bei klopffreiem Selbstzundungsbetried und voll geöffneter Drossel sich ergebenden Leistungs-und Verbrauchswerte. Die Leistung von 7 PS bei 2200 U/min entspricht einer Hubraumleistung von 10 PS/L . Der Verbrauch mit 200 g/PSh über fast dem ganzen Drehzahlbereich ist für einen Einzylindermotor als günstig zu bezeichnen. Die Werte liegen ungefähr bei den üblichen Dieselwerten. Der Leerlauf wer bis auf Drenzahlen von 300 U/min herab klopffest einstellbar und gleichmässig. allerdings war eine

Bearbeller: Ernst/Dörr 1ag: 29.3.41

Ersatz for

Erestal durch

gewisse Mindest-Betriebstemperatur dazu erforderlich.

Irgendwelche Anfressungen, Erosionen oder dergl. am Kolbenboden oder an den Wänden des Brennraums wurden auch nach langen Betriebszeiten (über 100 Stunden) bei klopffreiem Betrieb nicht festgestellt.

# 200 cm3-Motor, obengesteuert, luftgekühlt.

Der 200 cm<sup>3</sup>-Motor konnte ebenso wie der 700 cm<sup>3</sup>Motor klopffrei im armen Bereich gefahren werden. Der
Betrieb verlangte verhältnismässig hohe Zylinderkopftemperaturen von etwa 220°C am Zündkerzensitz. Der luftgekühlte Motor durfte zur Vermeidung zu starker abkühlung
nur mit Unterbrechungen angeblasen werden.

Nach den bis jetzt vorliegerden Ergebnissen, Bild 6, erreicht der Motor bei 4300 U/min bereits seine Höchstdrehzahl (5000 U/min beim Ottobetrieb); unterhalb 2500 U/min konnte er nicht mehr klopffrei gefahren werden. Die Ursache dieser Erscheinung wurde noch nicht restlos geklärt, sie hängt wahrscheinlich mit der starken Abmagerung des Gemisches zusammen. Die bis jetzt gewonnenen Leistungs- und Verbrauchswerte sind in Bild 6 dargestellt. Aus der Leistungsschaulinie sind ebenfalls die vorläufigen Betriebsgrenzen ersichtlich. Die Höchstleistung beträgt 2,5 PS bei 3700 U/min (Hubraumleistung 12,5 PS/L), der Verbrauch 190 bis 200 g/PSh 1m günstigsten Bereich. Er ist wie beim seitengesteuerten Motor, für einen Einzylinder-Motor gering.

#### g) Anfahrversuche.

Kaltstart bei Selbstzündung kann durch folgende Mittel erreicht werden:

1.) Erwärmung des Ansauggemisches oder Erhöhung der Verdichtung.

Bearbeller:
Profer: Ernst/Dorr | Tag: 29.3.41

Ersatz far

Ersetzt durch



- 2.) Steigerung der Zündwilligkeit des Kraftstoffes z.B. durch Zusatz von Aethylnitrat beim Anfahren.
  - Daneben bestemen noch die Hilfsmittel.
- 3.) Anfahren mit Kerzenzündung.
- 4.) Anfahren mit Glühkerzen.

Am untengesteuerten Motor (700 cm<sup>3</sup>) konnte die Verdichtung bis zu.c = 17 gesteigert werden. Bei allmählicher Erhöhung des Verdichtungsverhältnisses wurden am kalten Motor (+15°C) Startversuche durchgeführt. Diese ergaben für das erprobte Mischungsverhältnis von 60 R.T. Primarbenzin und 40 RT. RCH-Kreftstoff einen Keltstert von einer Verdichtung von 16,5 an. Unterhalb dieses Verdichtungsverhältnisses war der Kaltstart unmöglich. Vorwärmung des Ansauggemisches wurde nicht untersucht. Dagegen konnten beide Motoren in gut warm gefahrenem Zustand bei einer Verdichtung von 10 ohne Zündung angefahren

Die Steigerung der Zundwilligkeit kann durch Zusatz von Aethylnitrat zu dem üblichen Gemisch erreicht werden. Zugaben unter 5 % verlangten noch eine Temperatur des Zylinders von 25 bis 30°C, während Zusätze von 5 bis 10 % einen Kaltstart ermöglichten.

Der Kaltstart mit Kerzenzündung wurde bei den Versuchen in der Regel angewendet.

Soll auf eine Zündanlage verzichtet werden, so kann - ähnlich wie beim Dieselbetrieb - mittels Glühkerzen angefahren werden. Die Kaltstartversuche mit Glühkerzen gelangen ohne weiteres. Lediglich ein Zurückschlagen der Flammen in den Ansaugkanal war bisweilen feszustellen. Demnach ist das einfachste Mittel der Zusatz von 5 bis 104 Aethylnitrat beim Anlassen. Weitere chemische Mittel dürften entwicklungsfähig sein.

Boarbeller: Ernst/Dörr Tagi 29.3.41

Erautz für

Ersetzt darch

4.Nr. 1063



# h) Untersuchun, des Druckverlaufs und der Strahlung.

Die heute zur Verfügung stenenden Messgeräte lassen wesentliche Schlüsse auf den Zündvorgang, den Druckenstieg und den weiteren Druckverlauf sowie auf die Stranlung im Verbrennungsraum zu.

Der Druckverlauf wurde durch Quarzgeber über Verstärker mittels Schleifenoszillograph bzw. Braunsener Röhre aufgenommen. Zur Aufnahme der Strehlung wurde am Verbrennungsraum durch ein Quarzfenster eine Photozelle angesetzt, mit der die Ausstrahlung, damit auch das erste Aufleuchten der brennenden Gase, mit den anderen Verbrennungsvorgängen aufgenommen wurde.

## 200 cm3-Motor, obengesteuert.

An diesem Motor konnten nur Druckaufnahmen durchgeführt werden. Der über dem Kurbelwinkel aufgezeichnete
Druckverlauf bei Selbstzündung ist für klopfenden Zustand bei einer Verzichtung von 10,2 aus Bild 7 zu ersehen. Kennzeichnend für diesen klopfenden Betriebszustand ist der plötzliche, praktisch senkrechte Druckanstieg mit hoher Druckspitze beim Einsetzen der Zündung.
Dies lässt auf ein gleichzeitiges Abbrennen der ganzen
Gemischmenge schliessen,

Einige OKW vor dem Einsetzen des Drucksprungs ist im Diagramm eine kleine Druckstufe festzustellen, die eine Vorreaktion im unverbrannten Gemisch vermuten lässt.

Die Aufnahme zeigt ähnliche Merkmale wie Druckaufzeichnungen bei klopfendem Ottobetrieb.

Aus Bild 7 bis 10 ist ersichtlich, dass mit spaterem Druckeinsatz das Klopfen atmizmt und zuletzt ganz ausbleibt.

Bearbeller: Ernst/Dorn log2 9.3.41

Erratz for

Ersetzt durch

001379.

# 700 cm3-Motor, seitengesteuert.

Am seitengesteuerten Motor wurden neben dem Druckverlauf die Strahlung und der obere Totpunkt aufgenommen. (2000 U/min, 2 = 10, Vollast).

Eine Aufnahme klopfenden Betriebs zeigt Bild 11.
Bei der Kurbelstellung 8° v.o.T. beginnt der Druck im
Verbrennungsraum steil anzusteigen mit einem höchsten
Druckanstieg von rd. 9 at/°KW und erreicht bei 2,5 °KW
v.o.T. der Höchstdruck von 72 atü. Zwischen etwa 2,5°
v.o.T. und 9° n.o.T. ist praktisch Gleichdruck vorhanden.

Das Aufleuchten der Flamme im Verbrennungsraum setzt gleichzeitig mit dem steilen Druckanstieg tei 8° V.O.T. ein.

Klopfender Betrieb ergeb immer ein helles weisses Licht im Verbrennungsraum, so dass die Aufzeichnung dieser Strahlung leicht durchzuführen war.

Im klopfffreien Bereich bei armer Gemischeinstellung und niedrigem spezifischem Verbrauch, Bild 12, war der Beginn des Druckanstiegs etwas später (9° kW n.o.T mit ziemlich weichem Uebergang und wesentlich flacherem Druckanstieg(rd2,5 at/°KW). Der Höchstdruck bei 17° kW n.o.T. betrug nur noch rd. 50 atil.

Besonders schwierig war, wie das Bilo zeigt, die Aufnahme der Strahlung im klopffreien Betrieb. Während sich, wie erwähnt, bei Klopfbetrieb eine helle weisse Flamme zeigte, war die Flamme im klopffreien Bereich mattblau und ergab auch bei grosser Verstärkung des Photozellenstroms zunächst keinen Ausschlag im Aufnahmegerät. Nachdem versucht worden war, durch besondere Zusätze die Leuchtkraft der Flamme zu verstärken und durch wahl der rientigen Photozelle im festgestellten Spektrafbereich zu arbeiten, was jedoch nichtzum Ziel führte, wurde der lichte Durchmesser des Fensters wesentlich vergrössert. Damit gelang schliesslich die Aufnahme der Strahlung. Im klopffreien kraftstoffarmen Bereich setzt

Bearbeller Ernst/Dörr

Tag: 29.3.41

Ersatz für

Erzefzt durch

A.Nr. 1063.

nach diesen Messungen die Stranlung ebenfalls gleichzeitig mit dem Beginn des steilen Druckanstiegs ein und zwar zwischen 6 und 9° kW n.o.T.

Im klopffreien kraftstoffreichen Betrieb (Bild 13) setzt der steile Druckanstieg erst bei 22 okw n.o.T., also verhältnismässig spät ein. Zu gleicher Zeit beginnt auch die Strahlung im Verbrennungsraum.

Die Druckspitze mit rd. 35 atu liegt bei 30° kW n. o.T. Bemerkenswert ist ferner eine Vorreaktion vor dem steilen Druckeinsatz.

Die Flammenfarbe war ebenfalls wie beim klopffreien armen Betrieb dunkelblau. Der Druckverlauf bei klopffreiem kraftstoffarmem und klopfffreiem kraftstoffreichem Zustand ist, wie Bild 12 und 13 zeigen, ähnlich.

## 5.) Beurteilung der Ergebnisse.

# a) Glüh-, Restgas- und Selbstzundung.

Bei den eingangs behandelten Messungen kam es lediglich darauf an, überhaupt einmal bei Gemischverdichtung
eine Zündung ohne Zündfunken zu erzielen. Dabei bestand
durchaus die Möglichkeit einer sogenannten Glühzündung:
Unter Glühzündung ist zu verstenen, dass bestimmte Motorteile, z.B. die Zündkerzenelektroden, während des Verdichtungsnubs noch eine so hohe Temperatur besitzen, dass
von dieser Stelle die Zündung ausgeht. Die ersten Versuche
zur Erzielung einer Selbstzündung mussten bei so hohen
Temperaturen durchgeführt werden, dass zum Teil ein
Glühen einzelner Motorteile beobachtet wurde. In solchen
Fällen ist Glühzündung ähnlich den Verhältnissen bei
Glühkopfmotoren oder beim Glührohr-Motor Gottlieb Daimlers
anzunehmen.

Wenn bei dieser ausgesprochenen Glühzundung kein Klopfen auftrat, so kann das einerseits damit erklärt werden, dass ähnliche Verhültnisse wie bei Kerzenzundung

Bearbeller: Ernst/Dorr

rgg: 29.3.41

Ersalz far

Erseize durch



vorlagen: Ausbreitung der Flamme von der heissen Stelle aus, die mit bestimmter Geschwindigkeit den Verbrennungs-raum durcheilt. Andererseits besteht die Möglichkeit, dass die praktisch gleichzeitige Verbrennung des Gemischs erst verhältnismässig spät nach dem oberen Totpunkt auftritt, wenn der Kolben sich unter Brennraumvergrösserung bereits abwärts bewegt. Die später durchgeführten Druckaufnahmen bestätigen, dass dies grundsätzlich möglich ist.

Eine weitere Erklärung des Nachlassens des Klopfens bei sehr hohen Betriebstemperaturen wurde bereits von Dumanois bzw. Serruys-gegeben [2]:

Mit sterker Erhönung der Motortemperatur zerfallen die für plötzliches Abbrennen verantwortlichen ketten-bildenden Peroxyde schon vor der eigentlichen Verbrennung. Dumanois erzielte in der Tat mit Steigerung der Motor-temperatur zunächst eine Verstärkung des Klopfens, das aber mit noch Weiterer Temperaturerhöhung nachliess.

Eine Restgaszündung ist bei Viertaktmotoren wohl nicht anzunehmen und dürfte somit für die geschilderten Untersuchungen ausscheiden.

Die bei den späteren Versuchen festgestellten Betriebszustände können somit als reine Selbstzündung bezeichnet werden. Als Beweis lässt sich anführen, dass bei einer Verdichtung von 16,5 ein Kaltstart möglich war und bei der Verdichtung von 10 im betriebswarmen Zustand ein Anfahren bei Selbstzündung ebenfalls gelang. Bei diesen Zuständen, in denen die Verdichtungsendtemperatur wesentlich über der Wandtemperatur liegt, ist nicht mehr damit zu rechnen, dass die Zündung von heissen Wandstellen ausgeht.

Dareus kann geschlossen werden, dass bei den später hergestellten Betriebszuständen reine Selbstzündung vorliegt, die voraussichtlich nicht von der Wand, sondern von den wärmsten mittleren Gasteilen, die am wenigsten wärme zur Wand ableiten. ausgeht

### b) Die weiteren Aufgaben.

Im Rahmen dieser Untersuchungen wurden motor- und insbesondere kraftstoffseitig die Verhältnisse geklärt, die für eine Selbstzündung bei Gemischverdichtung notwendig sind. Die erwarteten Schwierijkeiten, dass ein zu starkes Klopfen infolge der fast gleichzeitigen Verbrennung sich sehr störend auswirkt, konnten behoben werden, indem es gelang, klopffreien Selbstzündungsbetrieb über einen grösseren Drehzahl- und Lastbereich herzustellen. Ein Hindernis für die Entwicklung eines betriebsfühigen Selbstzündungsmotors besteht noch hauptsächlich in dem verhältnismässig engen Bereich des Mischungsverhältnisses, in dem ein klopffreier Betrieb möglich ist. Deshalb ist vor allem eine Verbreiterung dieses klopffreien Bereichs anzustreben. Darüber hinaus muss ein genau arbeitendes Regelgerät zur Steuerung des richtigen Kraftstoff-Luftgemisches entwickelt werden. Neben diesen Arbeiten sind noch die sich bei Betrieb des Mehrzylindermotors ergebenden Fragen, die Anlassfragen und die zur Schaffung eines zuverlässigen Betriebs allgemein nötigen Arbeiten durch-

Die bis jetzt geklärten Fragen lassen einen späteren praktischen Betrieb bei Selbstzundung erwarten, wenn es gelingt mit dem zu entwickelnden Regelgerät das jeweils richtige Mischungsverhältnis herzustellen.

Der festgestellte Verbrauch von etwa 200 g/PSh ist für einen Einzylindermotor als niedrig zu bezeichnen und kommt etwa dem Verbrauch des heutigen Fahrzeug-Dieselmotors gleich. Die gemessenen Eubraumleistungen liegen elenfalls in der Grössenordnung der Werte des Dieselmotors.

Infolge dieses geringen Verbrauchs und der Möglichkeit einer wirtschaftlicheren motorischen Verwertung von niedersiedenden klopffreudigen Kraftstoffen erscheint die Entwicklung eines Selbstzündungsmotors auch vom wirtschaft.

Bearbeiler:

Ernst/Dorr

rag: rag:29.3.41

Erantz für

Ereetzt durch



lichen Standpunkt aus geraten. Sie wird auch geeignet sein, weitere wertvolle Erkenntnisse und Erfahrungen über den Verbrennungsvorgang zu liefern.

Die noch verhältnismässig geringen Rubraumleistungen lassen sich voraussichtlich durch Anwendung der Aufledung und durch höhere Schnelläufigkeit steigern.

#### 6. Zusemmenfassung.

Der vorliegende Bericht behandelt grundlegende Untersuchungen über die mit Gemischverdichtung arbeitende Selbstzungung, die als neues motorisches Arbeitsverfahren in Betracht zu ziehen ist.

An zwei verschiedenen Einzylinder-Motoren von 200 und 700 cm<sup>3</sup> Hubraum wurden praktische Versuche bei Selbst-zündung durchgeführt.

Bei der Erprobung der für Gemischverdichtungs-Selbstzündung sich eignenden Synthese-Kraftstoffe wurde eine Kraftstoffmischung aus 60 RT niedersiedendem Primärbenzin und 40 RT RCH-Dieselkraftstoff als günstig festgestellt.

Nach dem heutigen Stand der Erkenntnisse war zu erwarten, dass bei Gemischverdichtungs-Selbstzundung die Umsetzung des Kraftstoffes im Motor fast gleichzeitig, also unter heftigem Klopfen erfolgt.

Die ersten Versuche an den Motoren ergaben in der Tat klopfenden Betrieb.

Eine Untersuchung über die Möglichkeiten zur Unterbindung des harten Klopfens zeigte, dass durch die Wahl von Kraftstoffen, die Weniger zündwillig sind, nur die Selbstzündungsneigung verringert wird, während das Klopfen nicht beseitigt werden kann. Aenderungen am Verbrennungeraum (Zerklüftung) brachten ebenfalls keine Verminderung oder Beseitigung des Klopfens.

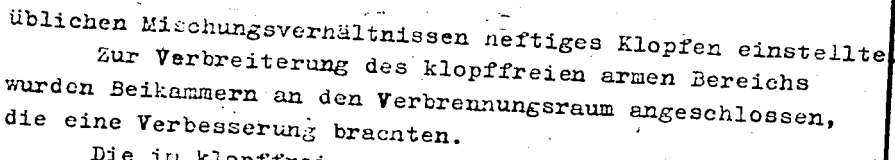
Versuche mit verschiedenen Zusammensetzungen des Kraftstoff-Luft-Gemisches ergaben indessen für sehr reiche und sehr arme Gemischzusammensetzungen jeweils einen klopffreien Selbstzündungsbereich, während sich bei den

Bearbelter: Profer: Ernst/Dö

Ernst/Dorr Tag: 29.3.41

Ereatz für

Ersetzt durch



Die im klopffreien armen Bereich gemessenen Leistungs- und Verbrauchswerte entsprachen ungefähr den beim Fahrzeugdieselbetrieb vorliegenden Werten.

Im klopfenden Bereich war der Druckenstieg sehr steil mit einem Höchstdruck von 72 atu, bei klopffreiem Betrieb wurde ein flacher Druckanstieg mit weicherem Uebergang und einem Höchstdruck von 52 atu gemessen.

Im klopffreien kraftstoffarmen Bereich konnte im ganzen Drehzehlgebiet unter Last und im Leerlauf gefahren werden. Die Temperaturen an der vermutlich heissesten Stelle des Zylinders waren während eines Dauerbetriebs von mehreren Stunden gleich und mit 150°C verhältnismässig niedrig. Die günstigsten Verhältnisse wurden bei einer Verdichtung von 10 erreicht. Auch das Anfahren des kalten Motors ist möglich.

Als weitere Aufgabe ergibt sich die Entwicklung eines Regelgeräts, das für die verschiedenen Betriebszustände das für klopffreien Betrieb Jeweils richtige Mischungsverhältnis herstellt. Diese Aufgabe wird erleichtert, wenn es gelingt, durch Massnahmen am Motor den klopffreien Bereich zu verbreitern. Eine Steigerung der Hubraumleistung ist von der Anwendung der Ueberladung und von einer Erhöhung der Schnelläufigkeit zu erwarten.

#### Schrifttum.

[1] W.Jost, Explosions-und Verbrennungsvorgange in Gasen, Berlin 1939, Julius Springer

[2] The Science of Petroleum, Bd. 4, S. 3054 C.R. Akad. Sci. Paris Bd. 197 (1933) S. 224

Searbeller: Ernst/Dörr

Tag: 29.3.41

Ereatz jar

Erselat durch





Untersuchungen zur Entwicklung des Selbstzündungsbetriebs im gemischverdichtenden Motor.

Bild 1

001385

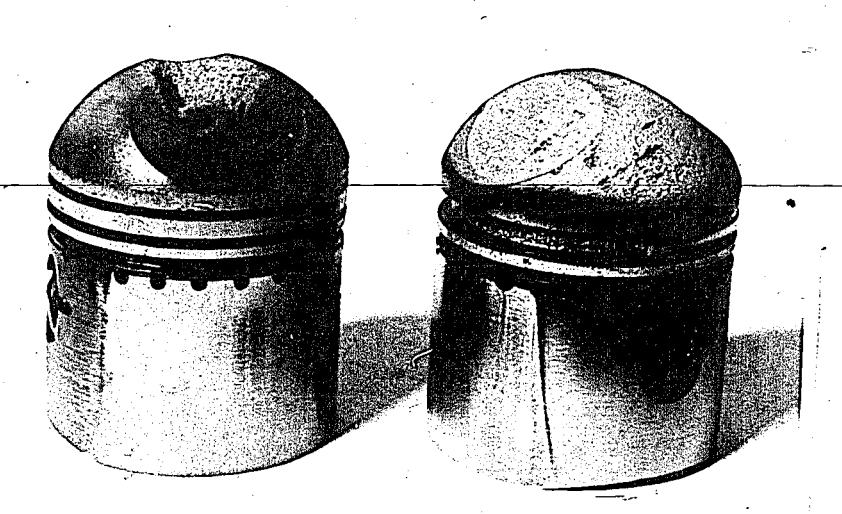


Bild 1 Klopfausvirkungen an Kolben.

Bearbeller: Ernst/Dörr

Tag: 29.3.41

Ersatz far

Erzetzt darch

FORSCHUNGSINSTITUT FÜR KRAFTFAHRWESEN U. FAHRZEUGMOTOREN ECHN HOCHSCHULE STUTTGART

Untersuchungen zur Entwicklung des Selbstzündungsbetriebs im gemischverdichtenden Liotor.

Bild 2

001386

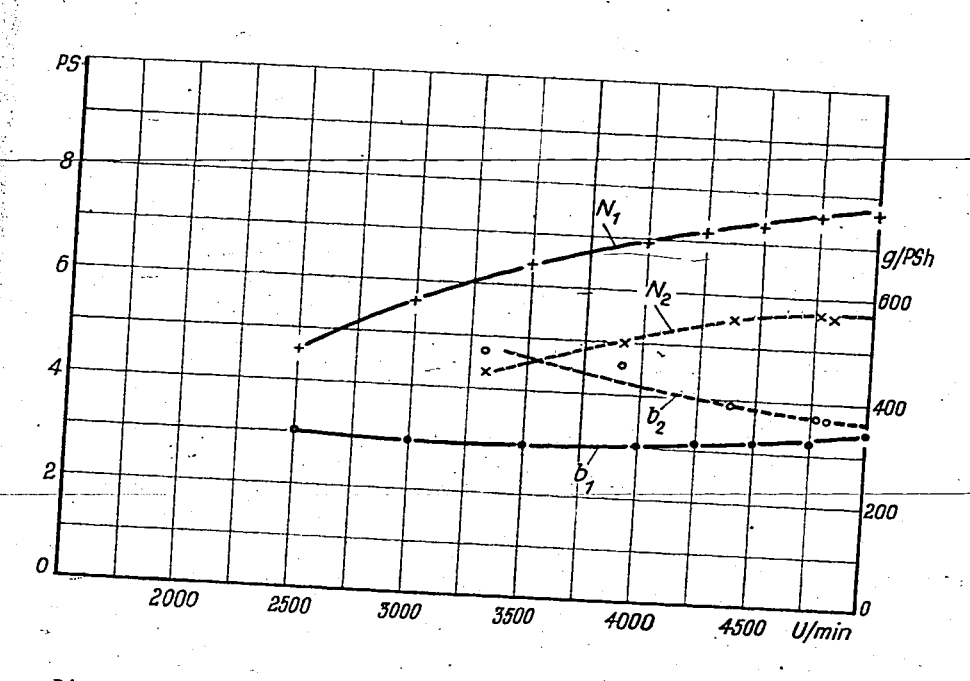


Bild 2 Leistung 2 und Verbrauch b bei Ottobetrieb (Zeiger 1) und gewischverdichtender Solbstzundung, klopfender Betrieb (Zeiger 2) on 200 cm3-Kotor.

- (1) Ottobetrieb Thlich,  $\varepsilon = 6,3$ , Kraftstoff Aral
- (2) Klopfende Selhstzindung,  $\varepsilon = 10,2$  , Kraftstoff 60 RT. Primerbenzin + 40 RT. RCH-Dieselkraftstoff.

Gentles Ernst/Dörr 19.29.3.41 A.Nr. 1063



Untersuchungen zur Entwicklung des Selbstzündungsbetriebs im gemischverdichtenden Motor.

Bild 3



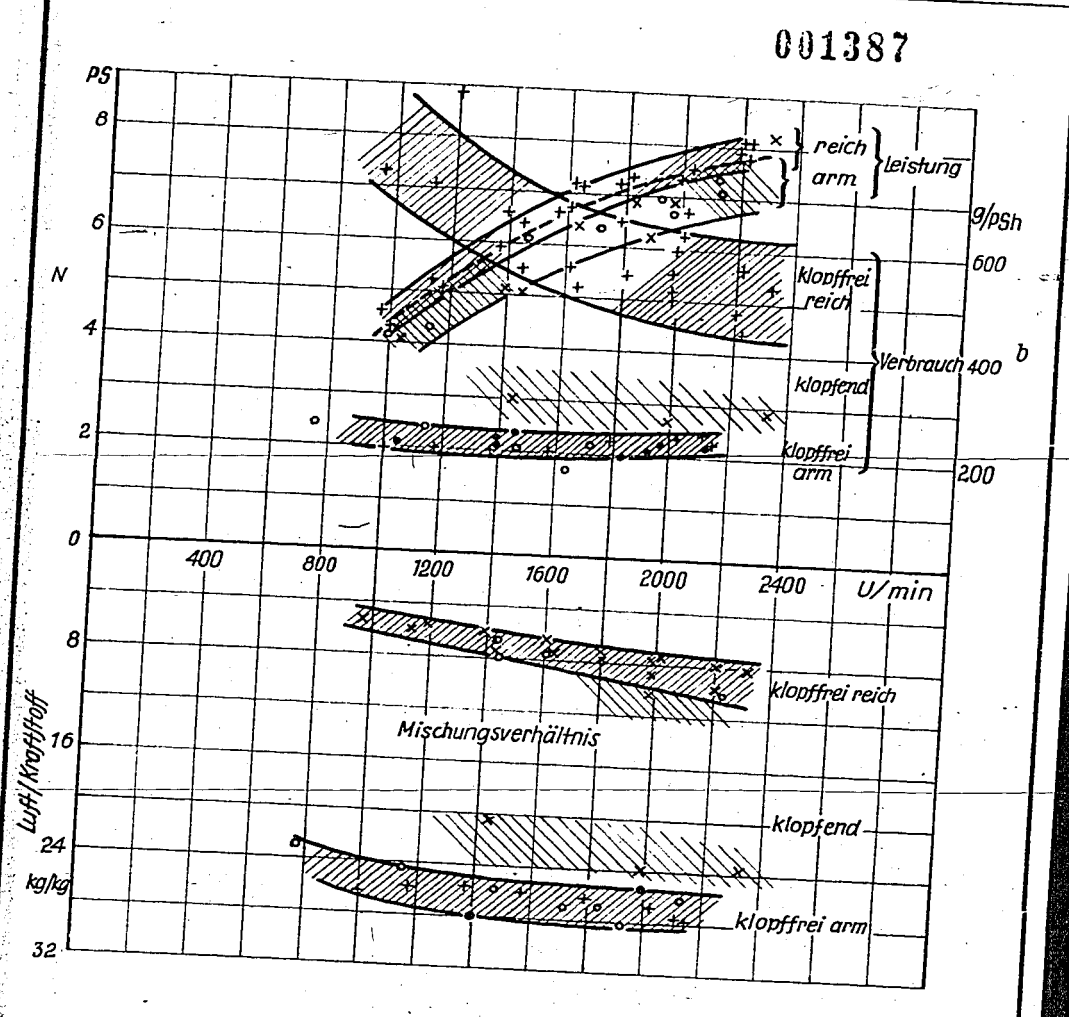


Bild 3 Leistung (PS), Verbrauch (g/TSn) und Mischungsverhältnis bei klopfendem und klopffreiem Selbstzündungsbetrieb am 700 cm<sup>2</sup>- Hotor, e = 10,0 , Kraftstoff 60 RT. Prinärbenzin + 40 RT. RCH-Dieselkraftstoff.

Bearbeller: Ernst/Dörr | Tag: 29.3.41 | Ereals far | Erealst durch | A.Nr. 1063



Untersuenungen zur Entwicklung des Selostzungungsbetriebs im gemisch-verdichtenden Kotor.

Dild 4

001388

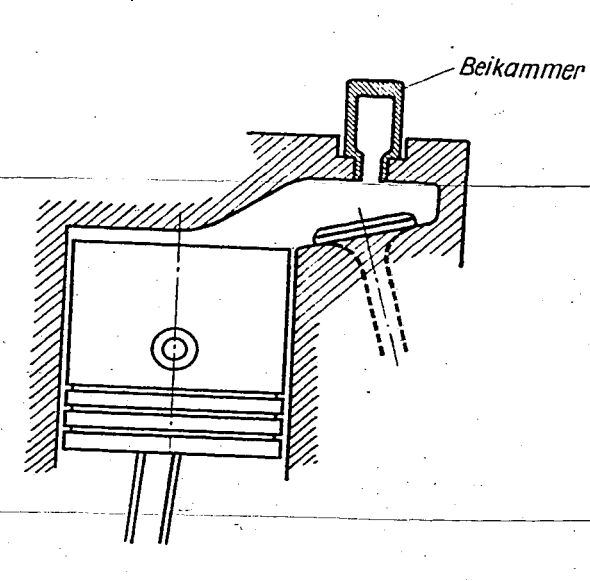


Bild 4 Anordnung der Beikommer .

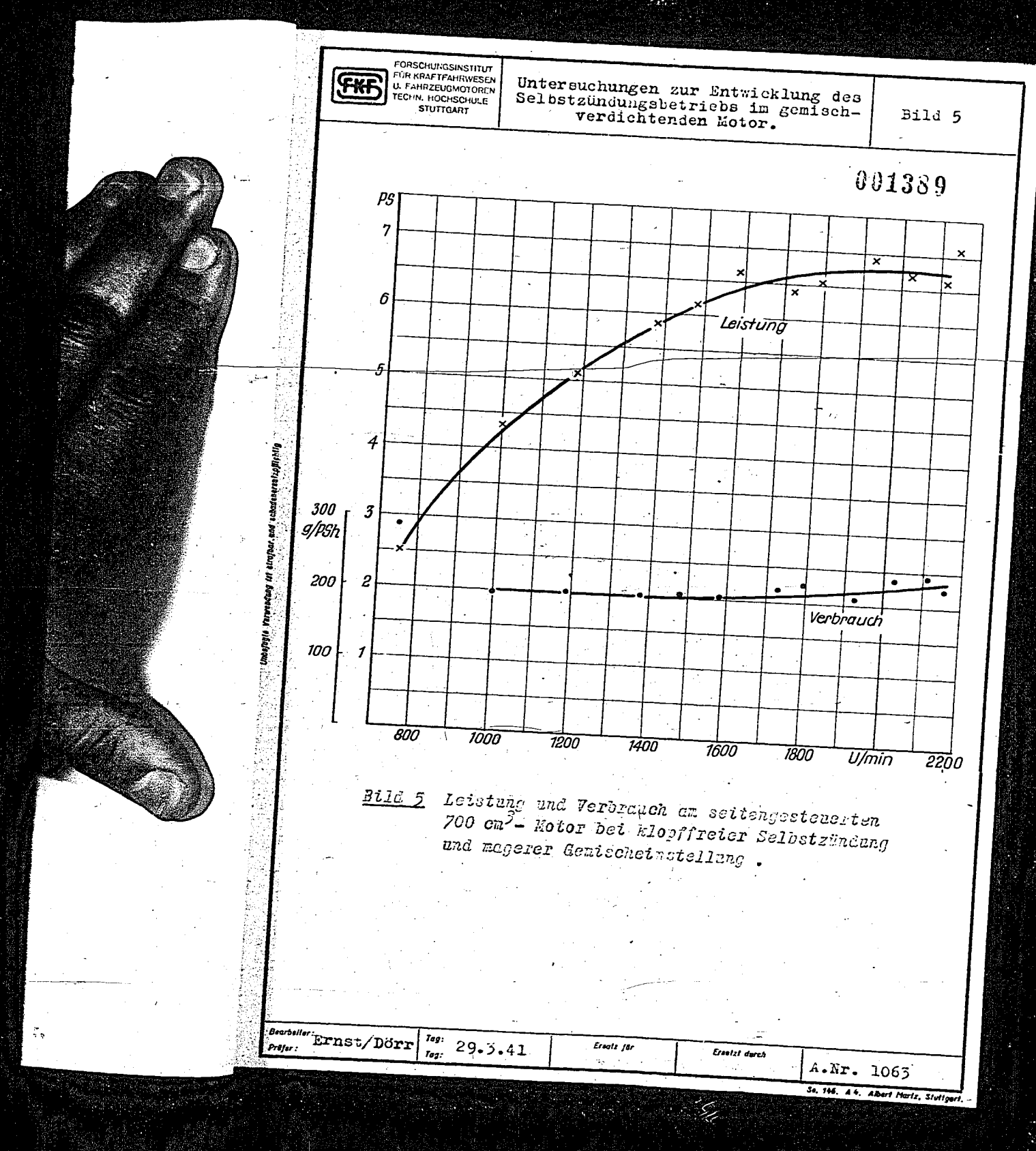
Bearbeller: Ernst/Dörr Tag: 29.3.41

Eraalz für

Ersetzt darch

A.Nr. 1063

Se, 166. 4 6. Aftert Harts Stuff



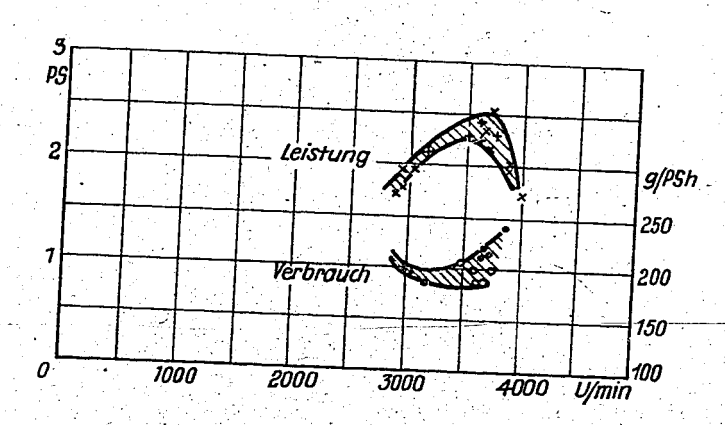


Untersuchungen zur Entwicklung des Selbstzündungsbetriebs im gemischverdichtenden Motor.

Bild 6

001390





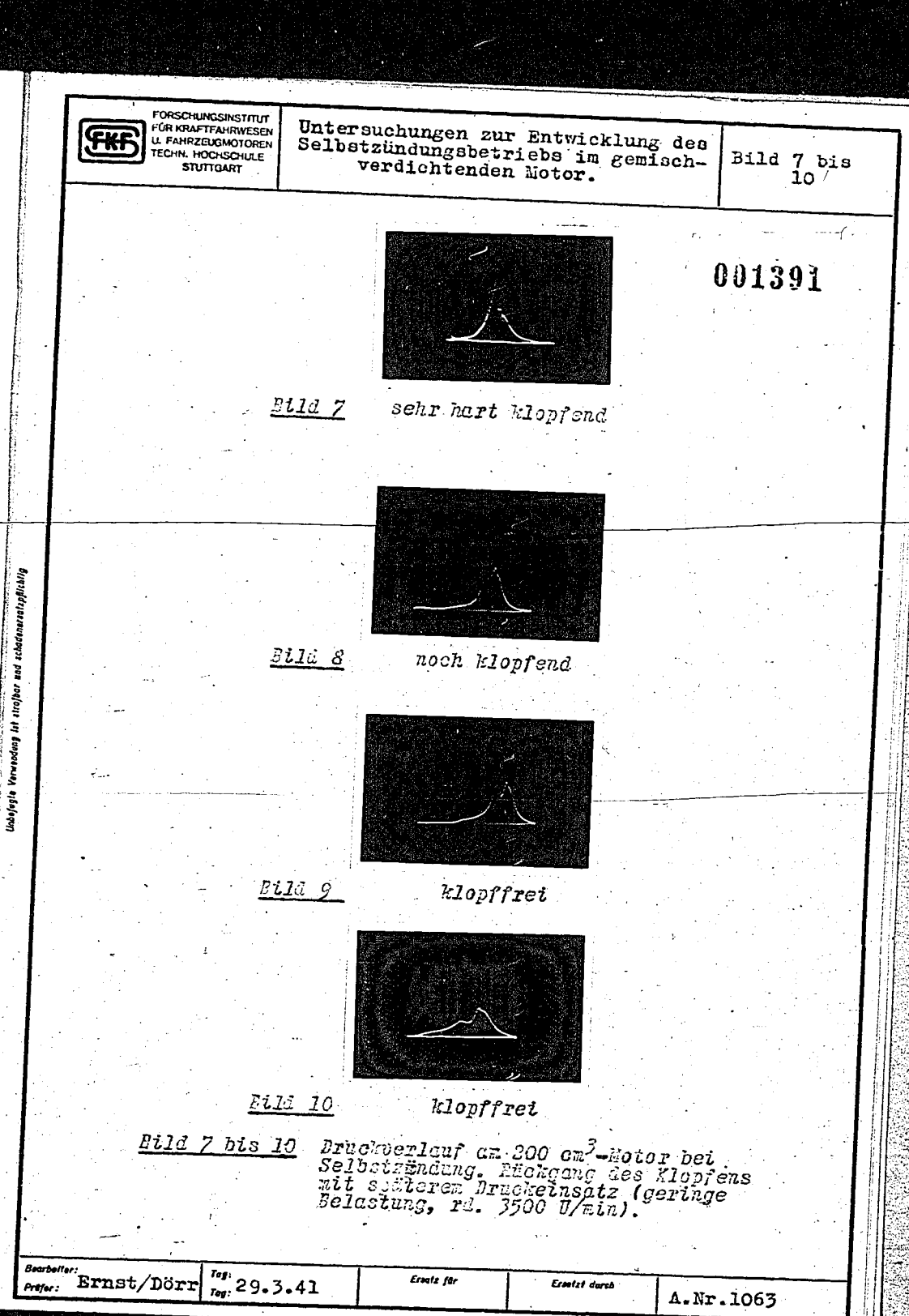
Bila 6 Leistung und Verbrauch am 200 cm<sup>3</sup>-Hotor bei klopffreier Selbstzündung im mageren Zustand (e = 10,2, Kraftstoff 60 RT, Primärbenzin + 40 RT. RCH-Dieselkraftstoff).

Bearbeller:Ernst/Dörr

Tag: 29.3.41

Erzatz für

Erzetzt derch



Se. 166. A. A. Albert Martz, Stuffgart

Bild 11



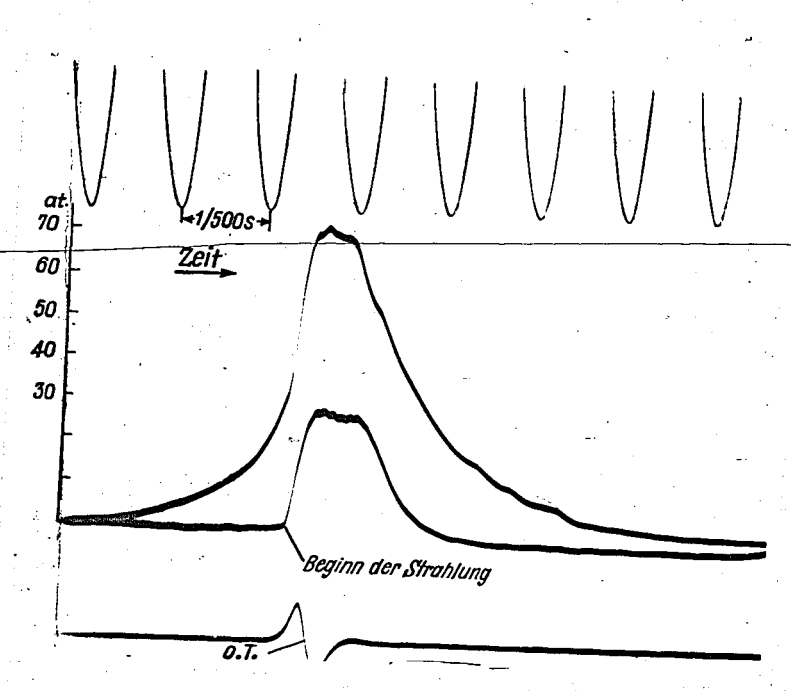


Bild 11 Druck- und Strahlungsaufnahmen bei gemischverdichtender Selbstzündung und klopfendem Betrieb E = 10, 2000 U/min, Vollast, 700 cm<sup>3</sup>-Notor.

Bearbeller: Profer: Ernst/Dörr

Uabefugte Verweadung ist strafbar

Tag: 29.3.41

Eractz für

Ersetzt durch

A.Nr.1063

Se. 145. A. 4. Albert Martz, Stuttgart.

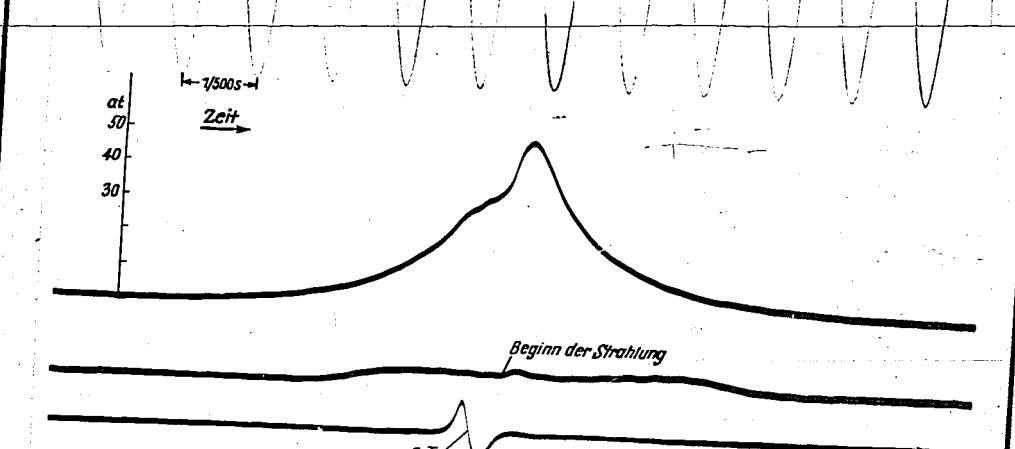


Untersuchungen zur Entwicklung des Selbstzündungsbetriebs im gemischverdichtenden Motor.

Bild 12

.001393





Sile 12 Prack- une Strahlungsaufnahmen bei gemischverdichtender Selbstzündung und Monffreien
armem Betriebszustand. z = 10, 2000 U/min,
Vollast,700 en Hotor.

Bearboller: Projer: Ernst/Dörr

Tag: Tag: 29.3.41

Erzatz für

Ersetzt durch

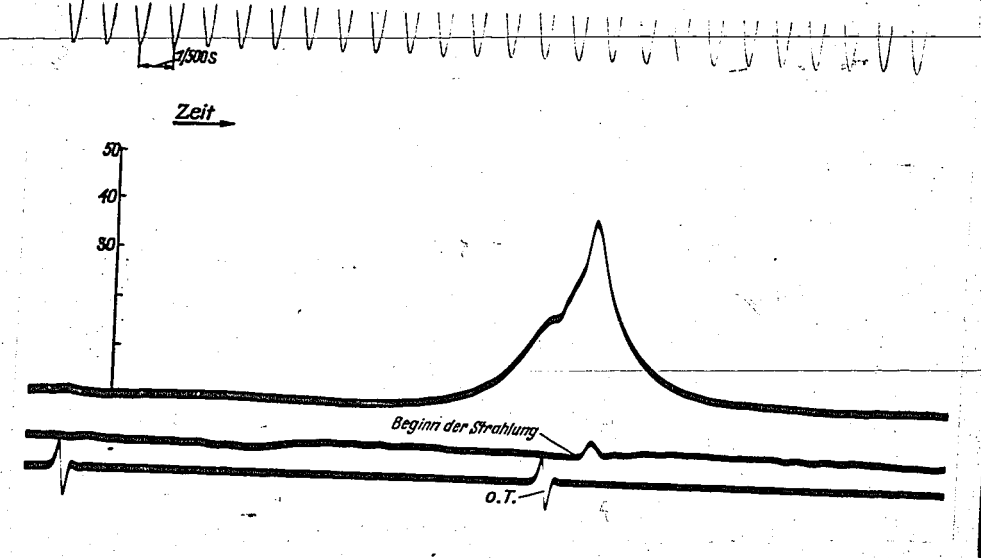


Bild 13 Gruck- und Strahlungsaufnahmen bei gemischversichtender Selbstzändung und Elopffreien rsiohem Betriebszuntand. 8 = 10, 2000 U/min, Vollest, 700 em3-Motor.

Bearboiler: Ernst/Dörr | 10g: 29.3.41

Unbefagis Verwendeng ist stroßer end schodenseisplichtig

Erastz für

Erestzt darch

A.Nr.1063

So, 145, A. A. Albert Martz, Stuttgart



Staatl. Materialprüfungsanstalt

an der

Technischen Hochschule Stuttgart

Institut für die Materialprüfungen des Maschinenbaues

001395

Prüfungsbericht



# Institut für die Materialprüfungen des Maschinenbaues

Staatliche Materialprüfungsanstalt

an der

Technischen Hochschule Stuttgart

# Prüfungsbericht.

Antragsteller:

Oberkommando des Heeres - Heereswaffenamt Wa Prüf 6 (IV b)

Berlin-Charlottenburg.

Begenstand:

Versuche über die Hitzebeständigkeit der Getriebeschmiermittel unter Einbeziehung der neuen ungefetteten Getriebeöle.

Datum des Berichts: 9.Mai 1944.

uftrag M 10580.

Textseiten.

10 Beilagen.

usgefertig

siehe Verteiler am Schluss des Berichtes.



Institut für die Materialpythungen des Maschinenbaum Staatl. Materialpythungsanzta i an der Techn. Hechschule Stuttgart Cannstatter Stratte 212

Stuttgart, den 9. Mai 1944.

001397

An das

Oberkommando des Heeres Heereswaffenamt Wa Pruf 6 (IV b)

Berlin - Charlottenburg 2

Jebensstrasse 1.

Betreff: Kriegsauftrag Nr. SS 0015-8734/43 Hitzebestandigkeit der Getriebeschmierstoffe
unter Einbeziehung der neuen ungefetteten Getriebeöle.
Unsere Zeichen: M 10580
Gz/Schu.

Im Rahmen des obengenannten Kriegsauftrages wird entsprechend den Vereinbarungen auf der Arbeitstagung des Forschungskreises 5 am 20.3.1944 in Erfurt, sowie verschiedenen Besprechungen mit dem Leiter dieses Forschungskreises, Herrn Dipl.-Ing.
Bokemüller, hiermit ein erster

Zwischenbericht über

"Zahnradversuche bei Oelsumpftemperaturen von 130 - 160°C" erstattet.

Ziel dieser ersten Versuche im Rahmen des Gesamtauftrages war vor allem die Feststellung, inwieweit und unter welchen Versuchsbedingungen eine Oelalterung, insbesondere die im praktischen Betrieb gelegentlich beobachtete starke Oeleindickung versuchsmassig auftritt.

#### I. <u>Versuchsöle.</u>

Auf Veranlassung von Herrn Dipl.-Ing. Bokemüller wurden bisher die folgenden Versuchsöle zur Verfügung gestellt, auf welche sich der vorliegende Versuchsbericht ausschliesslich bezieht:

mit unserer Zustimmung zulässig.

123

#### Zahlentafel I Versuchsöle

001398

Н	- 4	<b></b>					• •		
		Nr	MPA- Kenn- zei- chen	Benennung	Art	Hersteller	Lieferung	Daimler. Benz-	- 1
-		1	XXIII	GÖW 8 E/50	ungefet-	Rhenania-Ossag Hamburg	Februar 1944	Analyser Nr.	7
	$\frac{1}{1}$	3	XX	GÖW 8 E/50	VOV	Deutsche Vacu- um-Oel AG., Hamburg	Januar 1944	<del>-\$ 849</del>	1
			XXI	GÖW 8 E/50 Hypo1döl 8 E/50	.	Rhenania-Ossag Hamburg Rhenania-Ossag Hamburg	1943 Nov./Dez.	S 818	
			L	L			1943	-,-	.

Die Erzeugungsart dieser Oele (Raffinat oder Destillat) war nach Angaben der Hersteller nicht mehr in allen Fällen mit Sicherheit festzustellen, so dass diese bei den vorliegenden Versuchen noch nicht berücksichtigt werden konnte.

# II. Versuchseinrichtung

Es wurde ein Zahnradgetriebe benutzt, welches nach Abb.l aus einem zweiseitig kugelgelagerten Zahnradpaar mit den folgenden Abmessungen bestand:

#### Zahlentafel II Versuchszahnreder.

Modul	m = 3 mm	
Zahnteilung Zahnezahl z	$t = m\pi = 0.94 \text{ cm}$	
Untersetzung	$r = \frac{d}{2} = 3.3$ cm bei $z_1 = 22$ $r = \frac{32}{22} = 1.45$	
Eingriffswinkel Zahnbreite	$\alpha = 20^{\circ}$	
Werkstoff	b = 1,0 cm	
Flenkenoberfläche	ECN 20 (0,19% c, 1, Maag - Doppelschlid	,87% Cr, 1,88% Ni)

Die Innenmaße des Getriebegehauses waren:

Breite 210 mm Länge 70 mm Höhe 170 mm.

Bei dem in Abb.l eingezeichneten Oelstand betrug die Oelfüllung etwa 600 cm3. Im Oelsumpf war der Warmefühler w des elektrischen Temperaturmessgerätes angeordnet. Die Länge dieses Fühlers betrug etwa zwei Drittel der Gehausebreite, so dass die durch dieses Gerat angezeigte Temperatur weitgehend als mittlere Temperatur des ganzen Oelsumpfes

Wie aus Abb.l ersichtlich, wurde der Oelstand so gewählt, dass das grosse Rad im Stillstand etwas mehr als der Zahnhöhe entsprechend in den Oelsumpf eintauchte.

Der Antrieb der Zahnrader erfolgte mit einem Elektromotor. Der Zahndruck wurde in bekannter Weise durch mechanisches Verspannen aufgebracht.

Teile aus Nichteisenmetallen befanden sich nicht im Versuchsgetriebe.

## III. Versuchsdurchführung

Mit einer Drehzahl von 2050 am kleinen und demgemass 1410 U/min am grossen Rad lief das Getriebe mit einem konstanten Zahndruck von P = 680 kg. Mit den Zahnradabmessungen der Zahlentafel II ergibt dieser Zahndruck die folgenden Beanspruchungedaten:

#### Zahlentafel III

# Beanspruchungsdaten des Versuchsgetriebes

		•
Beanspru- chung	Formel und Zahlenwert	Einheit
Leistung	$N = \frac{P.r.n}{71620} = \frac{680.3,3.2050}{71620} = 64$	PS
Vergleichs- wert	c = P 680	100/-2
Walzenpres- sung im Teilkreis		
Warme_	$S_{\alpha} = \frac{m_c Z_7 \cdot \delta}{20 \text{ A/s}} = \frac{3 \cdot 22 \cdot 10}{20 \cdot 60}$	mm²/ps
pezifische elfüllung	V = V = 600 2500 35 35 60	cm <sup>3</sup> /PS
7 5 7	Vergleichswert Walzenpressung im Feilkreis	Chung

Unter diesen Verhaltnissen lief das Getriebe ohne zusätzliche Heizung oder Kühlung. Nach jeweils 4 Stunden Laufzeit, während der alle 1/4 Stunden eine Ablesung der Oelsumpftemperatur erfolgte, wurde das Oel abgefüllt und der Verschleiß der Rader durch Wagung auf einer Analysenwaage festgestellt.

Zum Ausgleich der beim Umfüllen und durch Verdampfen auftretenden Oelverluste wurde jede Versuchsreihe mit einer Anfangsölmenge von 700 cm<sup>3</sup> begonnen, wovon jedoch nur jeweils 600 cm<sup>3</sup> in das Getriebe gefüllt wurden. Die Versuchsreihen wurden stets bis zum Eintritt eines Zahnbruches durchgeführt. Die Temperatur des Versuchsraumes betrug 20 ÷ 25 °C.

Zur Feststellung der im Oel während einer derartigen Versuchsreihe aufgetretenen Oeleindickung wurde die Oelzähig-keit während der Versuche zunächst nur gefühlsmässig beurteilt und dann nach Abschluss derselben der Chemisch-Technischen Reichsanstalt (Dr.Noak), zusammen mit Frischölproben, zur eingehenden physikalischen bzw. chemischen Untersuchung übergeben.

#### IV. Versuchsergebnisse.

Die gemessenen Oelsumpftemperaturen sind in den Abb. 2 - 5 für die 4 verschiedenen Oele über der Laufzeit dargestellt, beispielsweise in Abb.2 für GÖW 8 3/50, ungefettet, der Firma Rhenania-Ossag. Die wahrend einer vierstündigen Laufstufe mehr oder weniger voll erreichte Beharrungs temperatur ergibt sich in den ersten Laufstufen immer zu etwa den glaichen Werten. Nach einer bestimmten Laufzeit (in Abb.2, Versuch 1, beispielsweise nach 30 Stunden) springt die Beharrungstemperatur auf einen wesentlich hoheren Wert (in Abb.2 beispielsweise um rd 30°C). Bei weiteren Laufstufen wird wiederum immer etwa die gleiche (hohe) Beharrungstemperatur erreicht. Vergleicht man diesen Sprung von der Temperaturtief- in die Temperaturhochlage mit den entsprechenden Verschleisskurven, die in Abb.6 als Gewichts verlust über der Laufzeit aufgetragen sind, so kann festgestellt werden, dass mit dem Temperatursprung der Beginn eines wesentlich höheren Verschleisses verbunden ist. Zur Ueberprüfung dieses Ergebnisses wurde mit demselben Oel ein zweiter gleichartiger Versuch durchgeführt (Abb.2 u.6). Er zeigte dieselben Erscheinungen, wenn auch der Sprung bereits nach 14 Stunden auftrat.

Dieselben Versuche mit dem zweiten Oel (GÖW 8 E/50, ungefettet, Deutsche Vacuum A.G.) ergaben grundsatzlich ein anderes Bild. Schon in der ersten Laufstufe lag der Verschleiss in der Hochlage (Abb.6). Auch im Temperaturverlauf ist kein scharf ausgeprägter Sprung festzustellen<sup>1)</sup>, wenn auch während der ersten Laufstufe die Temperatur um etwa 15° tiefer lag, als bei den folgenden Stufen (Abb.3). Abb.7 zeigt eine Flanke, bei der schon nach der ersten Laufstufe von 4 Stunden erhebliche Anfresserscheinungen sichtbar sind. Eine Wiederholung desselben Versuchs mit diesem Oel brachte ein mit dem ersten im Hinblick auf Verschleiss- und Temperaturverhaltnisse übereinstimmendes Ergebnis(Abb.36)

<sup>1)</sup> Die verhältnismassig tiefe Temperatur in der zweiten Laufstufe des Versuchs 1 ist vermutlich auf eine Unstimmigkeit am Versuchsstand zurückzuführen, welche nach dem Versuch nicht mehr aufzuklären war. Sie hat aber auf die Ergebnisse des vorliegenden Berichts keinen Einfluss. - Da Temperaturen über 1600C eine Ueberlastung des Messgerates bedeuteten, wurde ihre Messung nur stichprobenartig durchgeführt; im allgemeinen wurde das Gerät bei etwa 1600C abgeschaltet. Die Endtemperatur der einzel nen Laufstufen dürfte schätzungsweise 165 - 1700C betragen haben.

Das Verhalten des dritten Oeles (GÖW 8 E/50, gefettet, Rhenania-Ossag) zeigt ein dem ungefetteten Oel derselben Firma ähnliches Verhalten (Abb.4 und 6). Der Temperaturund Verschleißsprung trat allerdings erst nach viel langerer Laufzeit (rd 52 Stunden) auf. Die Abb.8 und 9 zeigen dieselbe Flanke einmal im Gebiet der Verschleisstief-, zum andern in der -Hochlage. Während der Tieflage fällt die Beharrungstemperatur in den ersten Laufstufen noch um etwa 10 - 15°C ab, um dann bis zum Sprung etwa gleich zu bleiben (Abb.4). Diese Erscheinung dürfte mit Einlaufvorgangen auf den Flanken zusammenhangen.

Das vierte Oel (Hypoid-Oel 8 E/50 der Rhenania-Ossag) zeigt keinen ausgepragten Sprung in Temperatur und Verschleiss (Abb. 5 und 6), wenn auch nach der ersten (Versuch 1) bzw. den ersten beiden (Versuch 2) Laufstufen der Verschleiss geringer ist als in den späteren (Abb.6). Die jeweils nach 4 Stunden Laufzeit erreichten Temperaturen steigen von Laufstufe zu Laufstufe an (Abb.5). Dabei ist zu bemerken, dass der 2. Versuch mit diesem Oel mit einer Oelfüllung von 800 cm gegenüber 600 cm bei samtlichen anderen Versuchen durchgeführt wurde. Durch diese Massnahme wird eine Senkung der Oeltemperatur bis zu 35°C je nach Laufstufe erreicht. (Versuch 2 lauft bei Berichterstattung noch weiter). Die Abb. 10 bis 15 zeigen dieselbe Flanke nach verschiedenen Laufzeiten.

Ausser Zahnradversuchen wurden mit den 4 Oelen einige Stichprobenversuche auf dem Vierkugelapparat (Bauart Rhenania-Ossag) durchgeführt, und zwar wurden im ungebrauchten Zustand des Oeles die vollstandigen Verschleisskurven aufgenommen und zudem die Schweissbelastung von allen Oelen nach dem geschilderten Zahnradversuch<sup>2)</sup> ermittelt (Abb.16 - und 17). Diese Versuche erbrachten für den bei Hoch- und Höchstdruckölen bekannten Sprung von der Verschleiss-

<sup>2)</sup> In den Fallen, in denen je Oel 2 Zahnradversuche durchgeführt wurden, ist die Schweissbelastung mit dem Oel des Versuchs mit der langeren Laufzeit ermittelt worden.

tief- in die -Hochlage sowie für die Schweissbelastung die folgenden Werte:

# Zahlentafel IV Ergebnisse der Versuche auf dem Vierkugelapparat

Nr.	Kenn-	Benennung	Sprung- Belastung	Schweissbelastung	
<del> </del>	zeichen		kg	neu	gebraucht
1,	XXII	GOW 8 E/50 ungefettet Rhen.Ossag	125	240	240
2	XXIII	GOW 8 E/50 ungefettet Dtsch. Vacu.	90	280	280
3	XX	GOW 8 E/50 gefettet, Rhen.Ossag	90	280	300 <sup>2a)</sup>
4	XXI	Hypoidöl 8 E/50 Rhen.Ossag	130	>1200	400

Die Werte der Frischöle sind als normal anzusehen, wenn auch die Schweissbelastung des ungefetteten Oels der Deutschen Vacuum und die des gefetteten Oeles der Rhenania-Ossag etwas höher als normal (220 ÷ 240 kg) liegen. Die Schweissbelastung des gebrauchten Oeles entspricht etwa der dem Frischzustand bei den 3 Oelen GOW, während sie beim Hyppidöl von >1200 kg auf 400 kg absinkt. Auch die Verschleissdurchmesser sind nur beim Hypoidöl im gebrauchten Zustand wesentlich grösser als im frischen.

Sämtliche Versuchsöle ergaben im Hinblick auf die Oeleindickung keine Schwierigkeiten. Dem Augenschein nach beurteilt, trat zwar eine geringfügige Erhöhung der Zähigkeit
ein, und zwar bei allen Oelen; Anzeichen, welche eine Weiterverwendung der Oele im praktischen Fall irgendwie fraglich erscheinen lassen würden, konnten jedenfalls nicht
festgestellt werden.

Der Anstieg der Schweißbelastung beim gebrauchten Cel GÖW-8E/50.gefettet, um 20 kg liegt im Rehmen der beim Vierkugelapparat allgemein beob achteten Streuungen.

16

Genauere Aufschlüsse über den Grad der Eindickung wird die noch nicht abgeschlossene Untersuchung bei der Chemisch-Technischen Reichsanstalt liefern.

Bei der gewählten Versuchsart sind die Laufzeiten der einzelnen Oele, da sie vom Auftreten des ersten Zahn-bruches abhangig sind, verschieden. Sie schwanken zwischen 16 und 65 Stunden. Im Zusammenhang mit den vorliegenden Versuchen nicht besonders interessierend, allgemein jedoch bemerkenswert erscheint die Tatsache, dass die Laufzeiten bis zum Zahnbruch bei den Versuchen bzw. Celen am längsten waren, bei denen der Sprung von der Verschleisstief- in die -Hochlage verhältnismässig spät suftrat.

Im Hinblick auf die Erforschung der Hitzebestandigkeit von Getriebeölen durch derartige Versuche kann folgendes festgestellt werden: Bei gleichen Belastungs- und Drehzahlverhaltnissen ergaben die untersuchten Oele ohne Kühlung bzw. Aufheizung die folgenden Oelsumpftemperaturen:

Zahlentafel V Oelsumpftemperaturen und Verschleißwerte.

Designation of the second	Nr.	kenn-		such nach	Sprung nach Lauf-	Oelsumpftemperatur mittl. Verschleiß			
		chen			zeit h	vor Sprung	nach Sprung	vor Sprung	nach Sprung
-	1 XXII	GÖW 8 E/50 ungefettet	1	30	130	160	8	161	
			Rhen.Ossag	2	13	130	160	15	185
	5 XXIII	XXIII	GOW 8 E/50 ungefettet	1	sofort	-	165 - 170		135
H			Dtsch. Vac.	2	sofort		165 - 170	<b> </b>	69
	3	1	GÖW 8 E/50 gefettet Rhen.Ossag		52	130	165 - 170	8	280
	4		Hypoidöl 8, E/50 Rhen.Ossag	1	(~4)	_	130 - 195	(45)	150
L				2	( ~ 8)	-	125 - 145		123

<sup>3)</sup> je nach Laufstufe.

Demnach ergeben bei gleichen Belastungs- und Drehzahlverhältnissen dann alle Oele bis auf das Hypoidöl etwa gleiche Oelsumpftemperaturen, wenn man allein die Verhaltnisse in der Verschleisshoch- oder -Tieflage unter sich vergleicht. Das Hypoidöl ergibt mit fortschreitender Laufzeit steigende Temperaturen. Da der Sprung von der Tief- zur Hochlage bei den verschiedenen Oelen, wie bemerkt nach stark unterschiedlichen baufzeiten eintritt, ist die Einhaltung gleicher Temperaturen bei Versuchen, welche ausschliesslich der Untersuchung der Hitzebeständigkeit dienen sollen, bei verschiedenen Oelen und gleichen Belastungs und Drehzahlverhaltnissen über lange Laufzeiten nicht ohne weiteres möglich.

#### V. Zusammenfassung.

- 1) Bei Versuchen mit gleicher Belastung und gleicher Drehzahl ergeben die untersuchten Hochdrucköle (GÖW 8 E/50) nach unterschiedlicher Laufzeit einen Sprung in der Beharrungstemperatur von etwa 30°C (Abb. 2, 3 und 4).
- 2) Beim Hypoidöl steigt im Rahmen der hier untersuchten Laufzeiten die Temperatur mit der Laufzeit (Abb.5).
- 3) Der Temperatursprung tritt gleichzeitig mit einem Sprung im Verschleiss von einer Tieflage in eine Hochlage auf (Abb.6).
- 4) Bei den hier erreichten Oelsumpftemperaturen von 130 160°C verhalten sich im Hinblick auf den Flankenverschleiss die beiden Oele GÖW 8 E/50 der Rhenenia-Ossag, gefettet und ungefettet, etwa gleichwertig. Erst nach einer gewiesen Laufzeit springen Verschleiss und Temperatur in die Hochlage. Beim Oel GÖW 8 E/50, ungefettet, der Deutschen Vacuum und dem Hypoidöl 8 E/50 der Rhenania-Ossag tritt die Verschleisshochlage gleich mit Beginn des Versuchs bzw. nach kurzer Laufzeit von wenigen Stunden ein (Zahlentafel V).

- 5.) Bei Beurteilung der Schmierfahigkeit durch die Schweissbelastung im Vierkugelapparat tritt nach den durchgeführten Versuchslaufen eine Verringerung der Schmierfahigkeit nur beim Hypoidöl ein, wahrend bei den GOW-Celen die Schweissbelastungen vor und nach dem Versuch etwa gleich bleiben (Zahlentafel IV).
- 6.) Versuche ohne Heizung und Kühlung des Getriebes bei gleichen Belastungs- und Drehzahlverhaltnissen sowie Oelsumpftemperaturen sind wegen des durch die verschiedenen Oele bedingten stark unterschiedlichen Verschleig und damit Temperaturverhaltens über langere Laufzeiten nicht möglich.
- 7.) Bei Laufzeiten bis zu rd 60 h traten bei keinem der Oele derartig stark Eindickungen auf, dass eine Weiterverwendung der Oele aus diesem Grunde in Frage gestellt sein könnte. Den Grad der Zahigkeitserhöhung werden die bei der Chemisch-Technischen Reichsanstalt derzeit laufenden Untersuchungen ergeben.

### VI. Geplante Fortsetzung der Versuche.

Auf Grund dieser Versuchsergebnisse ist zur weiteren Erforschung der Hitzebestandigkeit der Getriebeöle vorgesehen, zunachst noch folgende Einflüsse zu untersuchen:

- 1) Langere Laufzeiten (bis zu 200 h) bei dauernd konstanter Oelsumpftemperatur von 150°C. Zu diesem Zweck wird in das Getriebegehause eine Heizvorrichtung eingebaut und gleichzeitig die Belastung soweit gesenkt, dass mit einem Raderpaar diese Laufzeiten ohne Bruch gefahren werden können. Es steht zu erwarten, dass die Belastung dann trotzdem noch so hoch ist, dass wesentliche Verschleissteilchen in das Oel gelangen.
- 2) Bessere Belüftung des Gehauseinnern durch Ambringung einer nur gegen Spritzer von innen her abgedeckten Gehauseöffnung.

3) Versuche mit ungefetteten Oelen GOW 8 E/50 jetziger Lieferung auf Raffinatbasis.

Der mit der Untersuchung betraute Ingenieur: gez.Glaubitz.

Abteilung für den allgemeinen Maschinenbau

gez. Wellinger.



Der Direktor

gez. Graf.

Verteiler: OKH - Wa Prüf 6 (IV b) mit Chemisch-Technische Reichsanstalt, 3-fach, Reichsverkehrsministerium, Abt.K, Berlin,

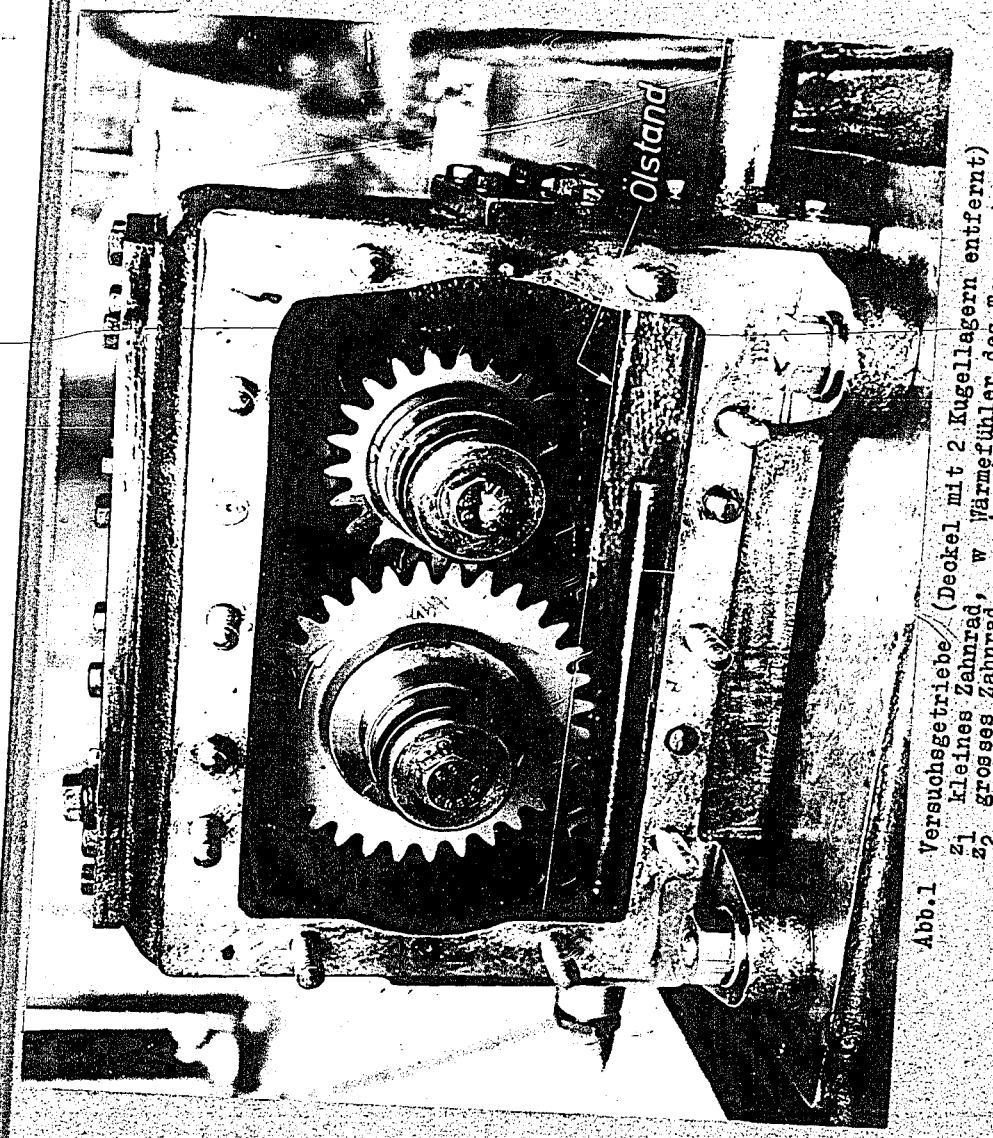
Reichsminister für Rüstung und Kriegsproduktion – Kraftfahrzeugkommission, Forschungskreis 5 – z.Hd.v. Herrn Dipl.-Ing. B o k e m ü l l e r ,

Herrn Dipl.-Ing. B o k e m ü l l e r i.Fa.Daimler-Benz A. Gaggenau, 8-fach, zur Verteilung an: Mineralol-Industrie,
Herrn Dr. Ing. S c h a u b i.Fa. Ruhr-Chemie,
(Abt. Prüfstand) Oberhausen-Holten,
Herrn Dr. Ing.habil. F. K a r a s , Techn. Hochschule
Dresden.

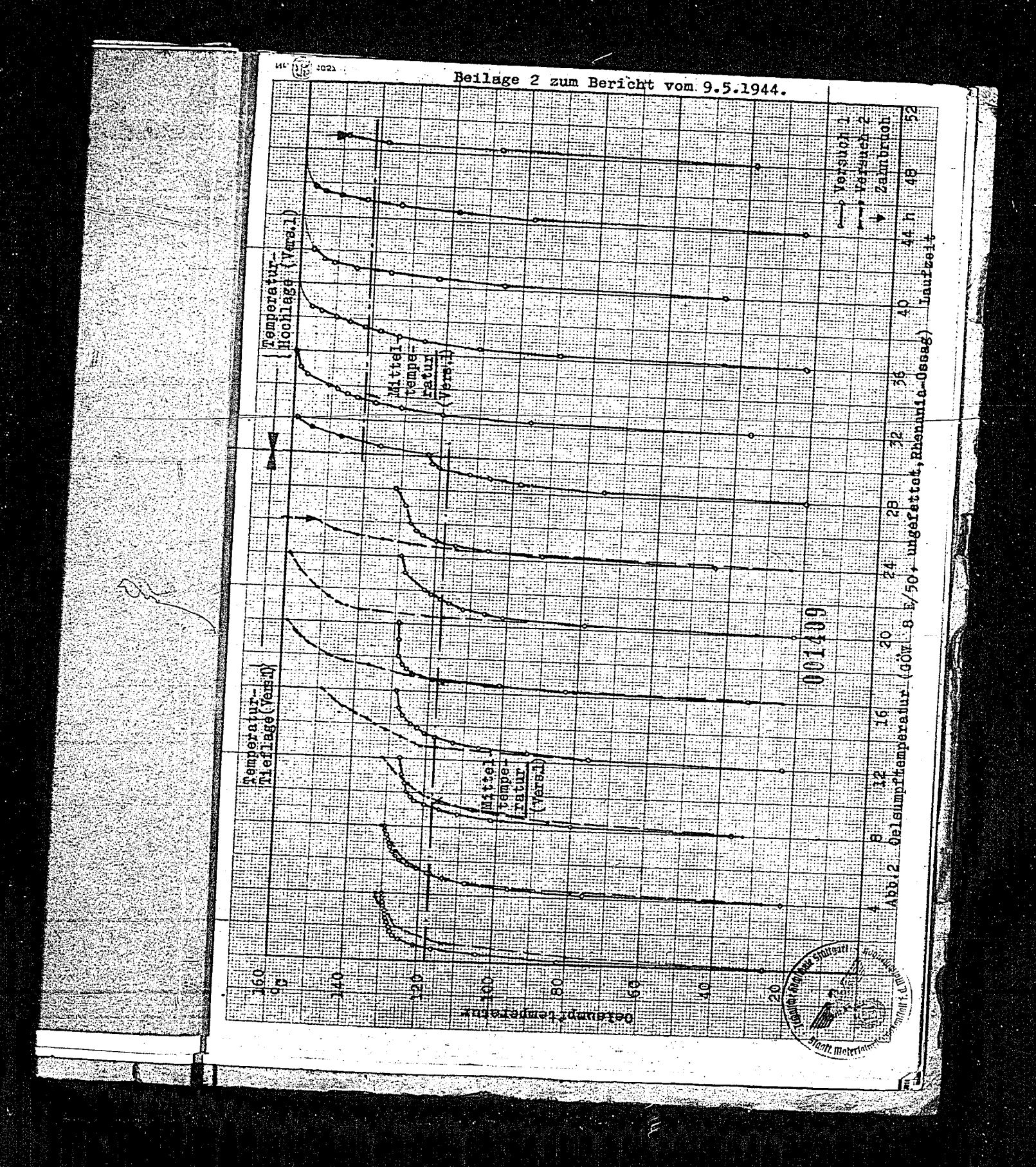
Staatliche Materialprüfungsanstalt an der Technischen Hochschule Stuttgart Institut für die Materialprüfungen des Maschinenbaues

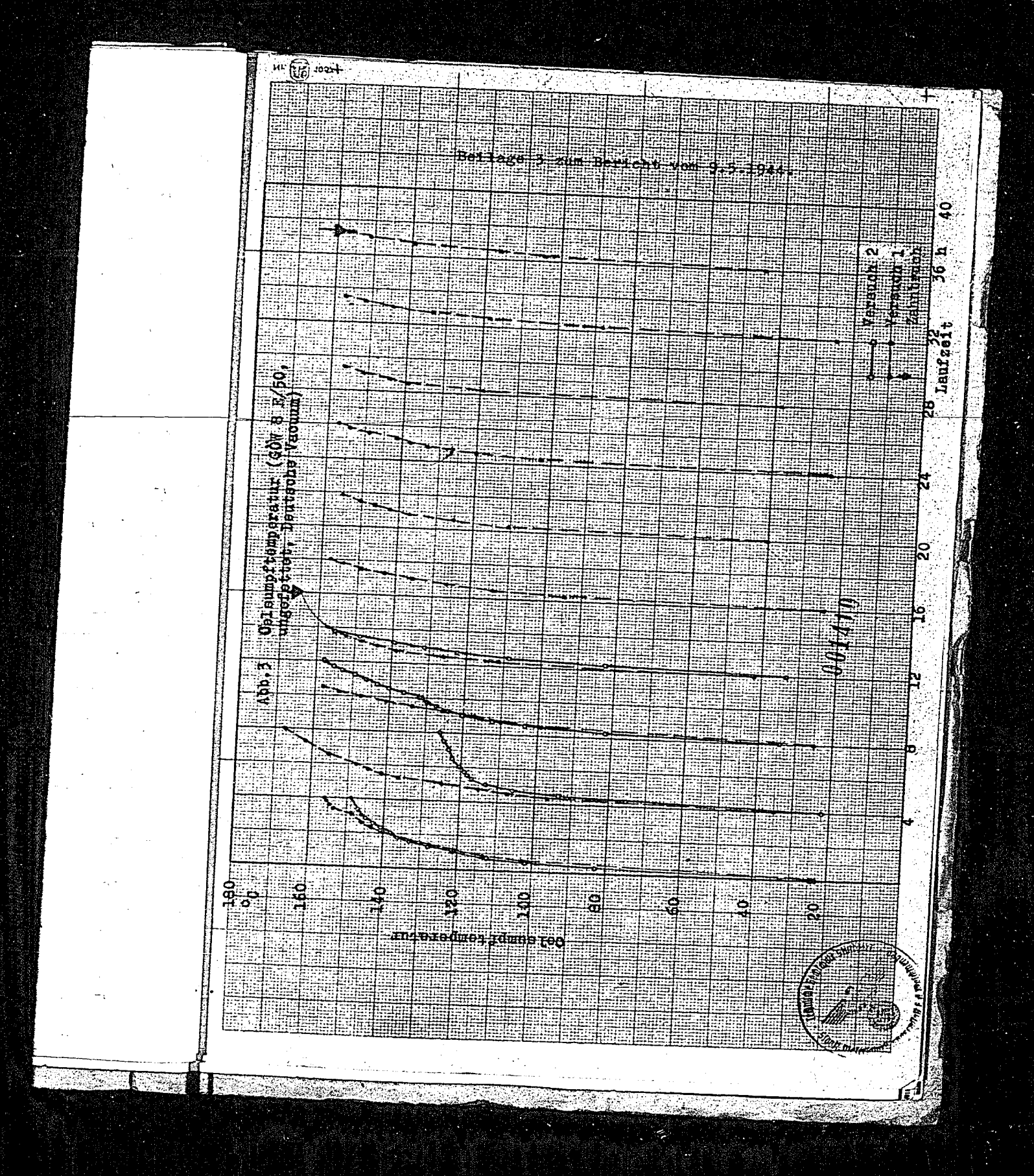
Beilage 1 zum Bericht vom 9.5.1944.

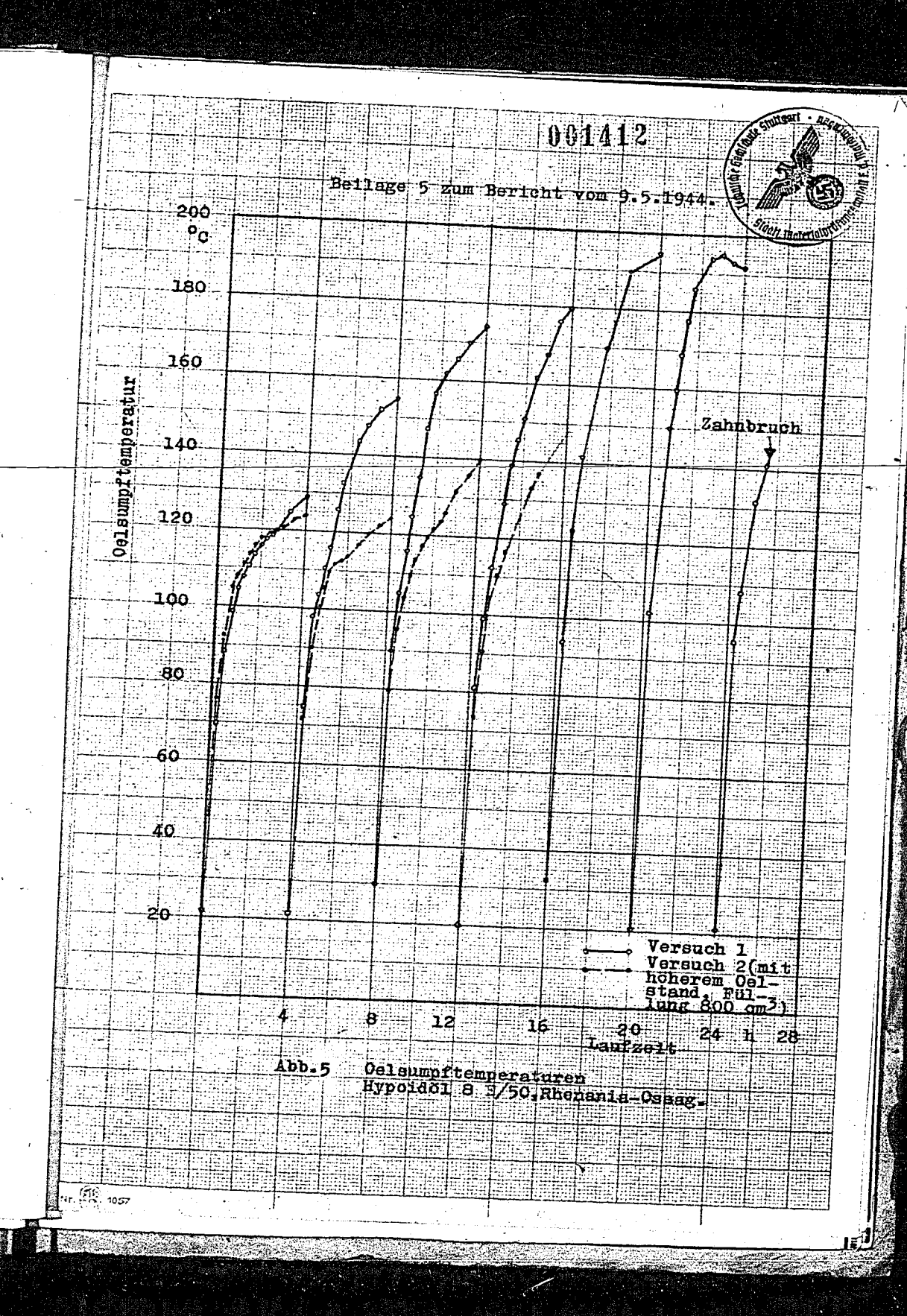
001408

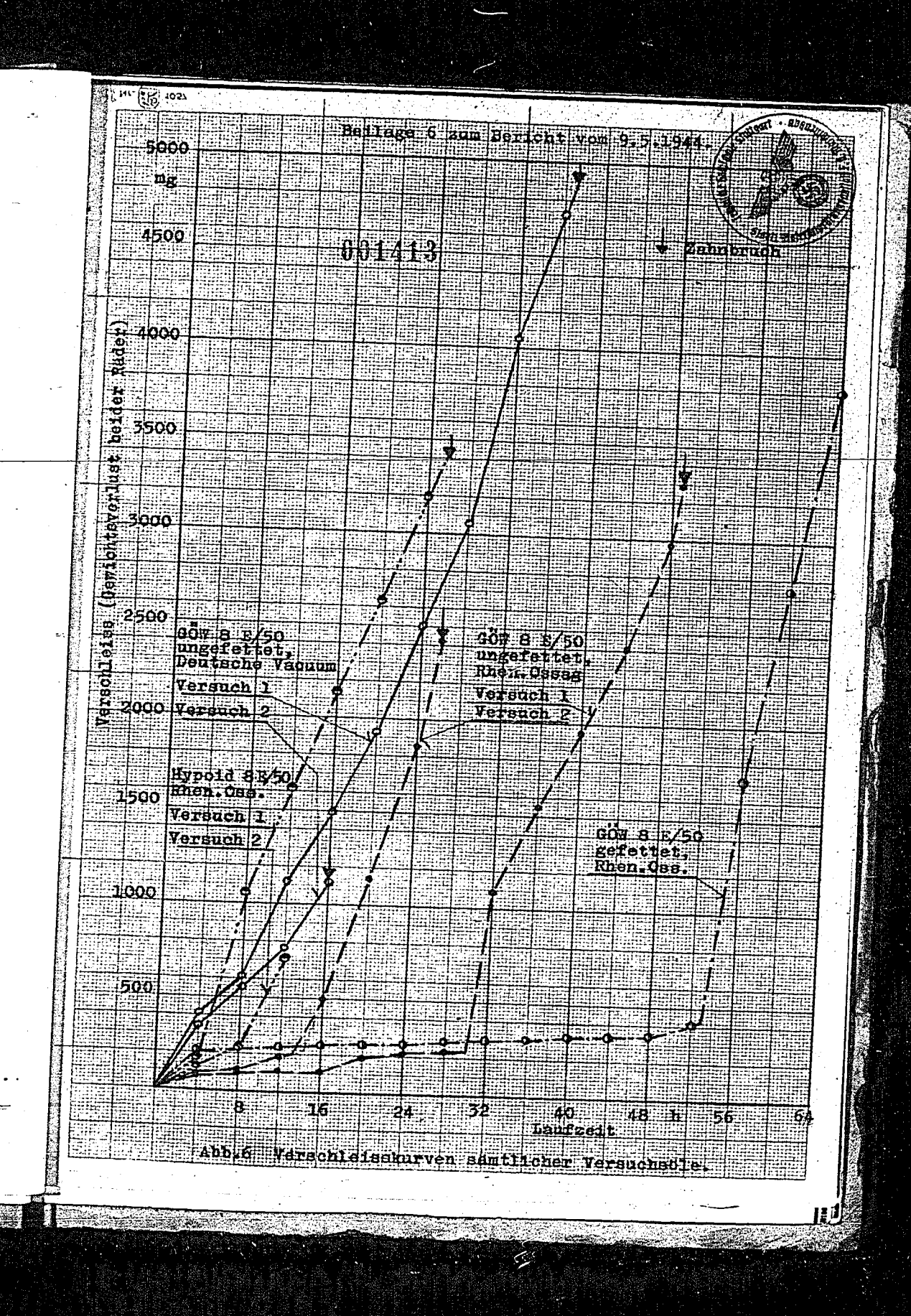


M 10580









Staatliche Materialprüfungsanstalt an der Technischen Hochschule Stuttgart Institut für die Materialprüfungen des Maschinenbaues

Beilage 7 zum Bericht vom 9.5.1944.

001414



Abb.7 Zahnflanke nach 4-stündiger Laufzeit mit GÖW 8 E/50, ungefettet, Deutsche Vacuum.



Nach 4 h Laufzeit Verschleisstieflage



Nach 56 h Laufzeit Verschleisshochlage

Abb.8 u.9 Zahnflanke nach Lauf mit GÖW 8 E/50, gefettet, Rhenania-Ossag.

0/102

<u>M 10580</u>

Staatliche Materialprüfungsanstalt an der Technischen Hochschule Stuttgart Institut für die Materialprüfungen des Maschinenbaues

Beilage 8 zum Bericht vom 9.5.1944.

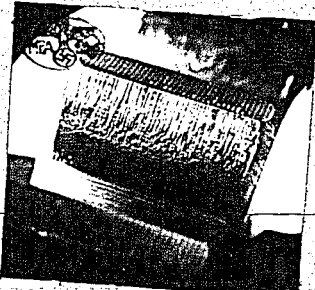


Abb.10 Nach 4 h

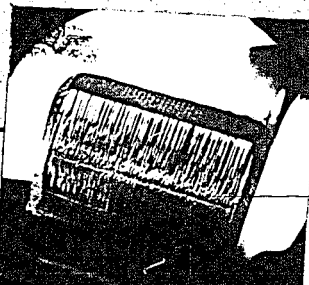


Abb.11 Nach 8 h

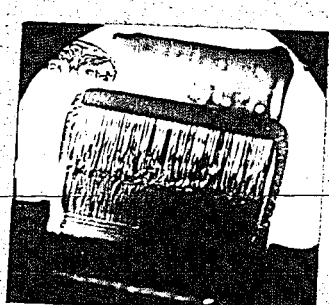


Abb.12 Nach 12 h



Abb.13 Nach 16 h



Abb.14 Nach 20 h



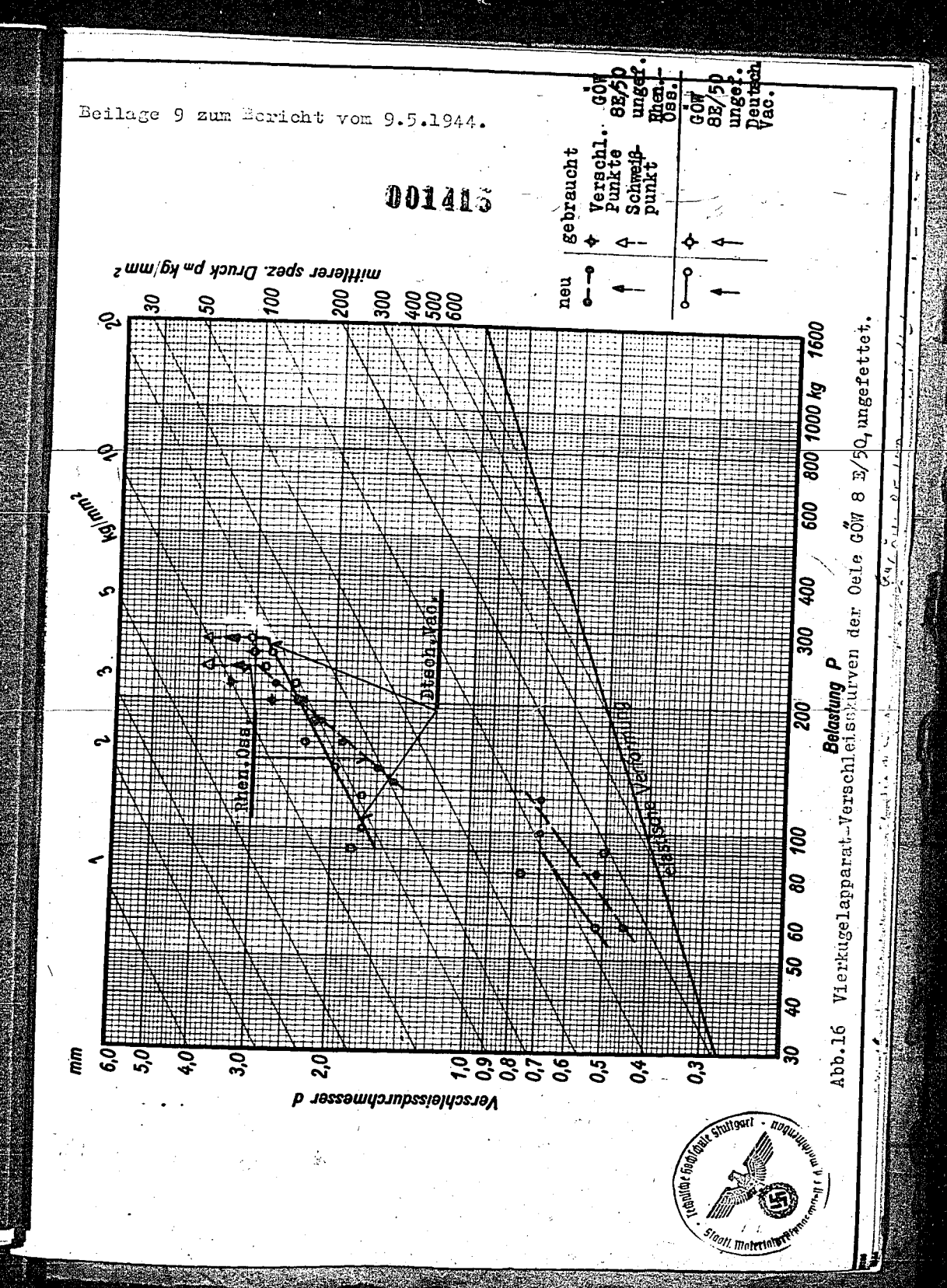
Abb.15 Nach 24 h

Abb.10 - 15 Zahnflanke nach verschiedenen Laufzeiten mit Hypoidol 8 E/50, Rhenania-Ossag.

0/102

M 1.0580

molector



Beilage 10 zum Bericht vom 3.5.1944. 001416 Vierkugelapparat-Verschleisskurven des Oches GÖN 8 B/50 gefettet und des Hypoidöles 8 2/50. mittlerer spez. Druck pa kg/mm² 600 800 1000 kg 1600 90 3 Verschleissdurchmesser d

•

### END OF

REEL NO.

30/OPPORTUNITY

DOCUMENTS EMANTED

FROM THE RESIDENCE OF

DR. SCHAUE OF RUHRCHEME,

CONTINUED ON REEL \* 10

SERIES G

LIST OF ITEMS

ON THIS

REEL

2. V L E L

0

# LIST OF ITEMS

# ON THIS

## REEL

	30.7			
. #			•	•
_	3, ~	BRUILCHE KRAFFFCHRTSORS	0 អ ប្រវិត	
	75	En the attack of Anti-Breeze materials on Metal and Aubber (Stantlichen stanteineren	Schikorr	
		Dehler)	& Alex	
. <b>7</b> 3	<b>3</b> 5≥	in I.C. and Diesel Engines. (T.E. Dresden)	74	
74	96/1941	Test on the Use of Power Cas in the Pure Diese Process (T.H. RESDEN)		
75	94/1941	•	Treyhaup	t
76		Bomb Tests on mixture Fortation and Combustion with Casoline Injection (T.H.Craz)	Bisnchi	
.76	58	Nuock Processes in Multi-cylinder Angines (T.H. Munich)	Johnidt & Regel	
. <b>7</b> 7	99/1941	Tests with a Carcurettor Angine with Self Ignition (T.M. Stuttgert)	Trnst &	•
78	74	Tosts on the Engine Benaviour of Synthetic 1.C. Fuels (T.M. Stuttgert)	Dorr	
79	54	Engine Nethod of Westing Diesel Fuelo (T.M.Stuttgart)	Kenon Ernst	
80	86	The Position of o	& Gross	
81	91	The Position of 2-Stroke Research	(Various)	6. 6.40
	. <del></del>	Mixture Formation and Combustion (Diesel)	( " )	
82	103/1941	2. Eceting of the working Group for 2-stroke questions	, ,	1.10.40.
33	111/1942	2. Meeting of the Working Group for Questions of Engine Combustion	( " )	20. 5.41.
34	Vol.3.	Power and Economy of Gas Operated Automobile	· (* * )	10.10.41.
5	Vol.4.	How C43 Turns	Rixmenn	1938
	•	New Cil Lubrication of a Connecting Rod Bearing.  Ei  Investigation of a Automotive Diesel Engine	Huber & berger.	1938
		& & &	Rickert Ernst.	e e

14 (144) 1440 - E		PAGE 5.	•	•
		DEUTSCHE KRAFTFAHRT FOR		
	CIOS REP		SCHUN-G	<u>N</u>
	No. NO	TITLE	ATITITION	<u>I</u> I .
		Investigation of the Exhausting of the Combustion Chember of High Decod Diesel and I.C. Engines	AUTHOR (S	DAT:
	86 Vot	· · · · · · · · · · · · · · · · · · ·	B <b>i</b> mng	•
	86 Vol.	5. Contribution to the Exploration of the Combastion Process in High Speed Diesel Engines		
	87 Vol.	9. Cylinder and Piston Ring Werr	Encule	1938
	88 Vol.3	l. Medsurement of Inock Resistance in I.C. Incine	Eock	1939
ε	Vol.3	O. investigation in the		1939
9	0 Vol.3	3. Investigation of Knock Clatter of I.C. Englines with an Electro-Acoustic Mensuring Apparetus	Schmidt & Generlich	1939
		Lechenical Losson of the Bigh Speed Diesel Engine and their Determination with the Torin Test (Schleppversuch)	ıc:	
91	Vol.55		Ullman	1939
92	Vol.53	Comparative Investigation of Pearing Shell	Beidebroek	1941
,	.02.55	Delay Measurement by meens of Photo Cells in	on Bluce	1941
93	Vol.54		Stallachner	•
/	, , , ,	Detaction of Lubricating Film breakfown by Measuring the Electrical Registence between Piston Sing and Cylinder		
94	Vol.55	Fuel and Engine to A	Poppinge	1941
	· · · · · · · · · · · · · · · · · · ·	Fuel and Engine in the Starting of Automotive Diesel Engines	Mixmenn, Schaub &	1941
95	Vol.57	Fuel Preparation is the Injection Rozzla	Conrad	
96	Vol.59	The Lubricent in the Spur Geer with special Regard for Liwiv Frietion	Cschetz	1941
97	Vol.60	The Greration mish to	Pietsch	1941
98	Vol.61		Schmidt	1941
		The Scavenging Process on the Dasis of a new Scavengion of Expension Streaming	chultz-Grunow	
99	Vol.62	Increased Losding of 4-Stroke Diesel Engines. The Scavenging Process		1941
100			Riedel 1	.941
	• • • • • • • • • • • • • • • • • • • •	Ignition Delay and the Evaluation of Fuels & Expition Lelay Recourement of Diesel and I.C.	2	941
101		influence of Air Smen	Widealor	
	(D)		Sauberlich	
102	2363 M	STROM THE EMPROBUNGSSTELLE, RECHLIN ethod for Cetane Number Determination of Biosel fuels	· •	\$ . }
	•		ange 18.1	
103	2337 Si	CHET. Behaviour of Aviation Fuels at High	~~~£a 1g*1	1.41.
.04		udge Formation in Aero Engine Care		4.42.
0=			aior t al. 20. 7	
05	2525 C1 Lo	roulation of Lubricating Oil in an Engine with Mark Temperature Resistant Aero Engine Oil	t al. 20. 7	•42.
ni di		& 1	Baier 12. 2	.43.
	- 100 No. 150- 1 to 1255 150 150 150			

### PAGE 6.

	PAGE 6.		
	(T)		
CIOS PED	(1). HEPORTS FROM THE ERPLOPUNCSSTELLE, RECHL	IK ·	
NO. NO.	<u> </u>	Authen (s	l narr
106 236	Determination of Gotene Number of Diesel Fuels (with the Inertic Indicator according to Dr.Nourenu)	•	•
. Transfer	E JHERORIO MA TES EMPERALISON-TECHNICON NETCHEN	Starke	1. 4.44.
107 ~	Development and Testing / Tong	ISTALI	
	Viscometer DVL REPORT	Fillenter	E 1944
108 - "	Proposels for (Clarification of) Terminology	Phillipovio	h 13. 5.42.
	Discussion on Avietica Fuel Problems	~	17. 6.41.
110 -	Evaluation of Fuels in relation to Vapour lock Troubles (Dreaden)	Hapar &	30. 3.44.
· ·	Mixture Formation in Otto Lagines of Starting Fuel Vepour Tension and Starting Process at Low Temperatures (Presden)	Tem inchoir  V.Schieszl  Minake	1.12.43.
112 -	Tests to Determine the Prossure Statility of Lubricating Gils (Boster Thesis, Berlin)	de Jong	-
	Investigation of the Lubricating Stility of Silo (Lunich)	Endner	Nay 1944
114 -	Gear Tests at 150°C. 641 Cum Temporature (Stuttgart)		- · <b>J 4 V</b> - · · ·
115 392	Investigations on the second	Collinger	5. 8.44.
	Ignition Sporetion in a mixture Comoraseing Sugine (Stutegart)	ನಿಗಾದ‡ ಹಿಟ್ಟಾಕ್	ະກ. 3.41.
116 -	Tests on the Heat Stability of Gear Lubricanta in respect of the new Uncompounded Gear Wils	.ellinger	9. 5.44.